

②

Del M-2.14 al M-4.14

MODELOS CORPÓREOS



UNIVERSIDAD DE SEVILLA



601280227

UNIVERSIDAD DE SEVILLA  
Facultad de Matemáticas  
Biblioteca

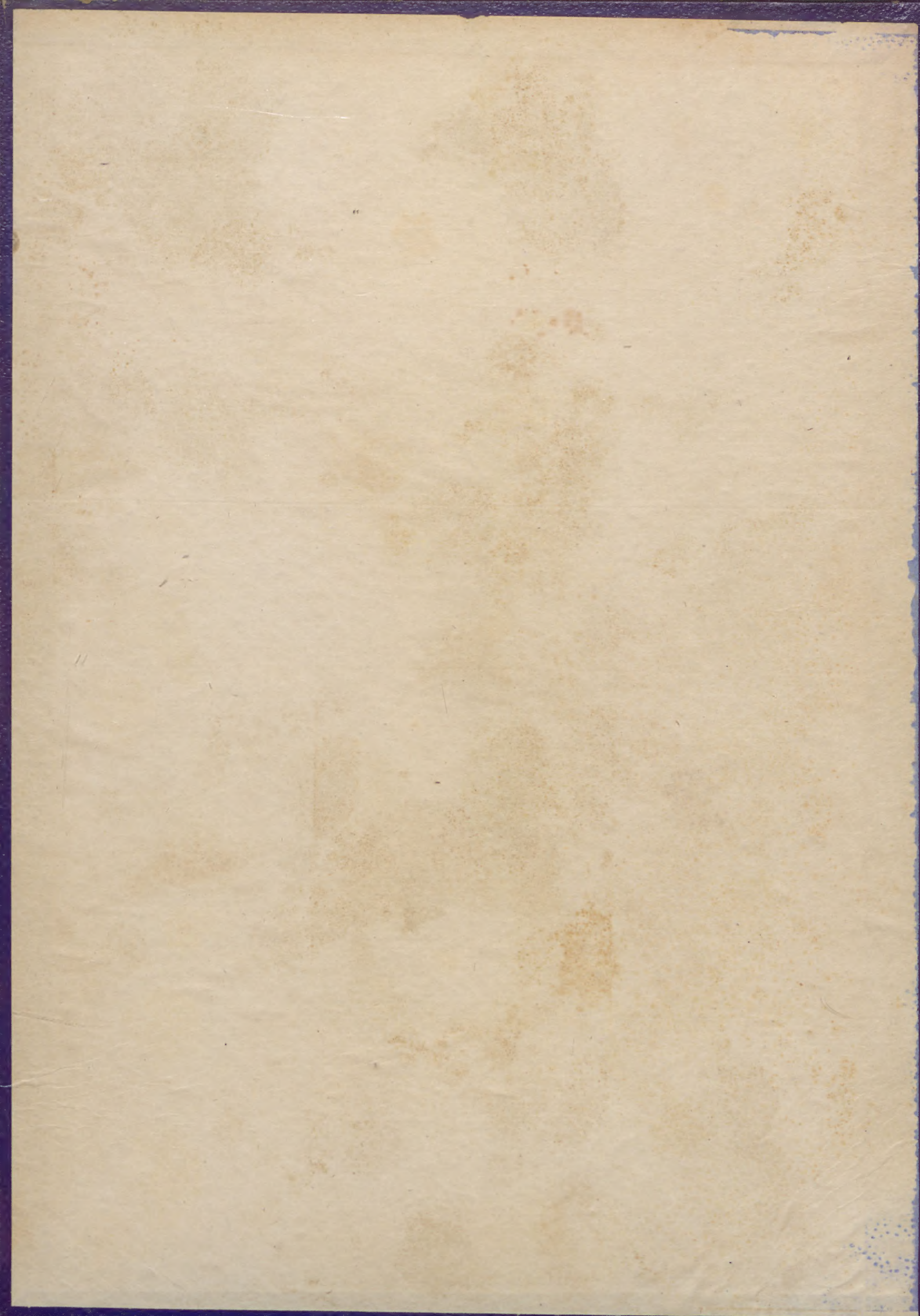
o. PEO-127382

i. 71210894

- bib. -

C  
TAP/004







EJECUTADO

POLIEDRO REGULAR CONVEXO DE CARAS  
TRIANGULARES IGUALES, DERIVADO DE LA  
RED ESFÉRICA EXAÉDRICA DEL MODELO M-  
-2.6, EN EL CUAL ESTÁN INSCRITOS UN  
EXAEDRO REGULAR Y UN OCTAEDRO RE-  
GULAR, AMBOS CONVEXOS Y CONJUGADOS  
POR SUS ARISTAS.

Radio de la esfera circunscrita

$$r' = 110 \text{ mm}$$

COUABRO



ENUNCIADO: Construir el modelo corpóreo del poliedro convexo de caras triangulares iguales, estudiado en el modelo M-2.7, dentro del cual están inscritos un escaedro y un octaedro, ambos regulares, convexos, y conjugados por sus aristas, estando todos sus vértices en la misma esfera que circunscribe al mencionado poliedro de caras triangulares iguales.

En el estudio del modelo M-2.7 obtuvimos un poliedro convexo de veinticuatro caras triangulares iguales, obtenido al unir los nudos de la red esférica tipo b) del modelo M-2.4, al transformarse los lados de los triángulos esféricos de dicha red, en triángulos rectilíneos cuyos lados eran las cuerdas de los arcos de círculo máximos que formaban los lados de la red.

Los nudos de la red esférica generadora los clasificamos en tres clases distintas: Ocho, de clase a), vértices de un cubo; Seis de clase b), vértices de un octaedro regular convexo, inscrito en la esfera; y Doce de clase c), vértices de un Arquimedeano III, también inscrito en la misma esfera.

El modelo M-2.14 que estudiamos ahora, está formado por un escaedro y un octaedro regulares convexos, conjugados por sus aristas, con caras macizas situados ambos en el interior del poliedro modelo M-2.8 de caras vaciadas



<p>1917</p>	<p>Journal of the ...</p>	<p>...</p>
<p>...</p>	<p>...</p>	<p>...</p>



Los tres poliedros descritos anteriormente (el de 24 caras triangulares y vaciadas, y el escaedro regular convexo y octaedro regular convexo, conjugados por sus aristas, ambos de caras macizas) tienen común su esfera circunscrita. Los vértices del escaedro regular son coincidentes con los nudos de la red esférica generadora, de clase a) del modelo M-2.6. Los vértices del octaedro regular convexo son coincidentes con los nudos de la red esférica, clase b) del mencionado modelo M-2.6.

Las aristas del escaedro y octaedro regulares, se cruzan perpendicularmente dos a dos.

Para la construcción de estos poliedros, se necesitan las siguientes piezas:

A) POLIEDRO EXTERIOR CONVEXO, DE CARAS REGULARES VACIADAS E IGUALES, INSCRITO EN UNA ELFERA DE RADIO  $r' = 110 \text{ mm}$

Este poliedro es igual al estudiado en el modelo M-2.8, y se compone de las siguientes piezas:

PIEZA N° 1      CARAS SUPERFICIALES      24 unidades

PIEZA N° 2      UNIONES ARISTAS EN LOS LADOS IGUALES DEL TRIÁNGULO ISÓSCELES DE LA CARAS SUPERFICIALES  
24 unidades







PIEZA N° 3      UNIONES ARISTAS EN LADO DESIGUAL DEL TRIÁNGULO  
ISÓSCELES DE LAS CARAS SUPERFICIALES

12 unidades

B)      POLIEDRO INTERIOR DE CARAS MACIZAS, FORMADO POR UN TE-  
TRAEDRO Y UN OCTAEDRO REGULARES Y CONVEXOS, CONJUGA-  
DOS POR SUS ARISTAS, E INSCRITOS EN LA MISMA ESFERA  
CIRCUNSCRITA AL POLIEDRO A) EXTERIOR.

Este poliedro es el mismo interior del modelo M-2.13, 2  
 se compone de las siguientes piezas:

PIEZA N° 1      CARAS SUPERFICIALES      6 unidades

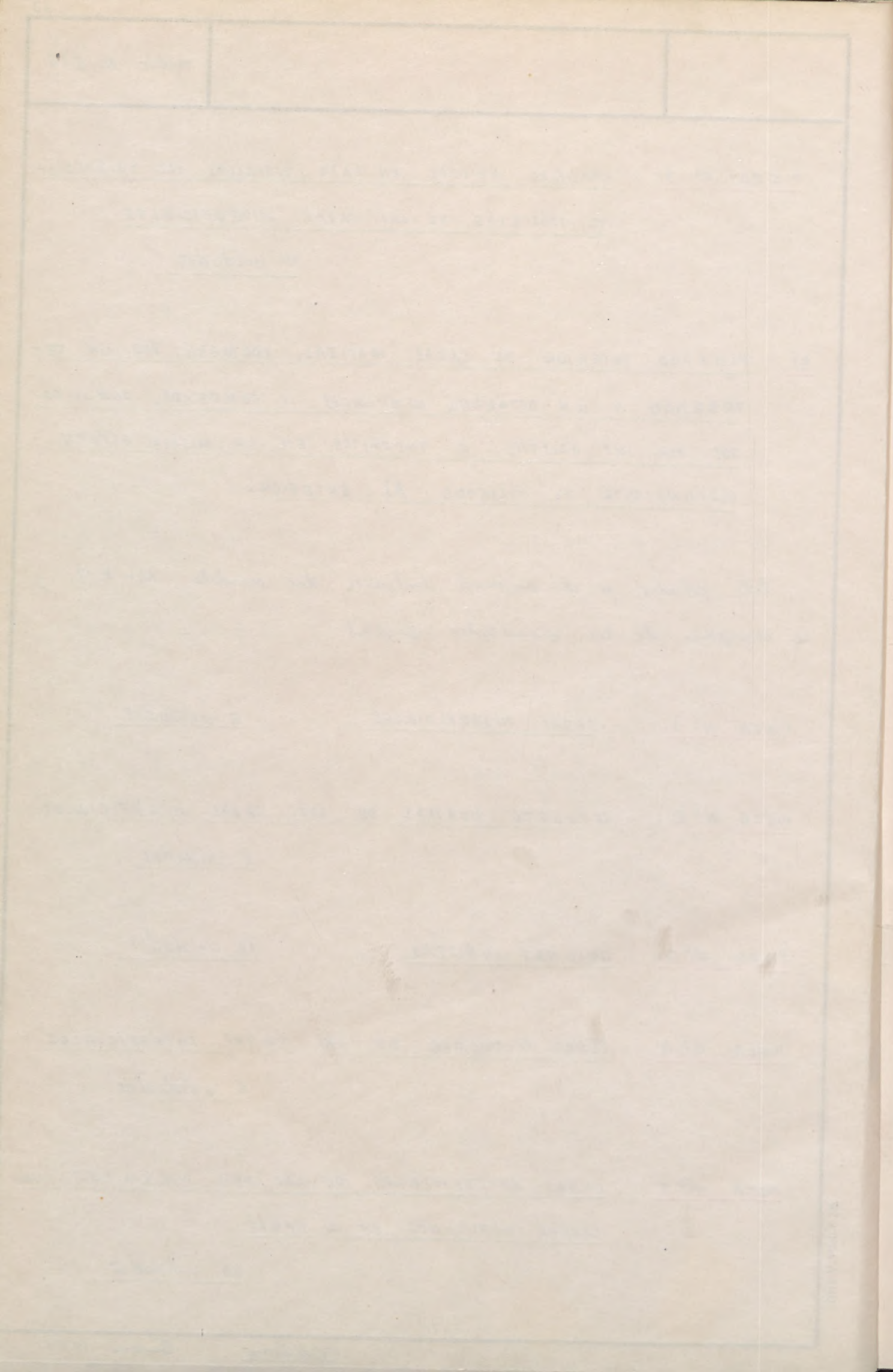
PIEZA N° 2      REFUERZO NORMAL DE LAS CARAS SUPERFICIALES  
6 unidades

PIEZA N° 3      UNIONES ARISTAS      12 unidades

PIEZA N° 4      FORRO COLOREADO DE LAS CARAS SUPERFICIALES  
6 unidades

PIEZA N° 5      CARAS SUPERFICIALES DE LAS SEIS PIRÁMIDES CUA-  
DRADAS REGULARES DE 4 CARAS  
24 unidades







Modelo M-2.14

PIEZA N° 6 FORRO COLOREADO DE LAS CARAS LATERALES DE LAS PI-  
RÁMIDES ANTERIORES 24 unidades

PIEZA N° 7 UNIONES ARISTAS DE LAS PIRÁMIDES CUADRANGULARES  
48 unidades

PIEZA N° 8 REFUERZO NORMAL DE LAS CARAS LATERALES DE LAS  
PIRÁMIDES CUADRANGULARES 24 unidades



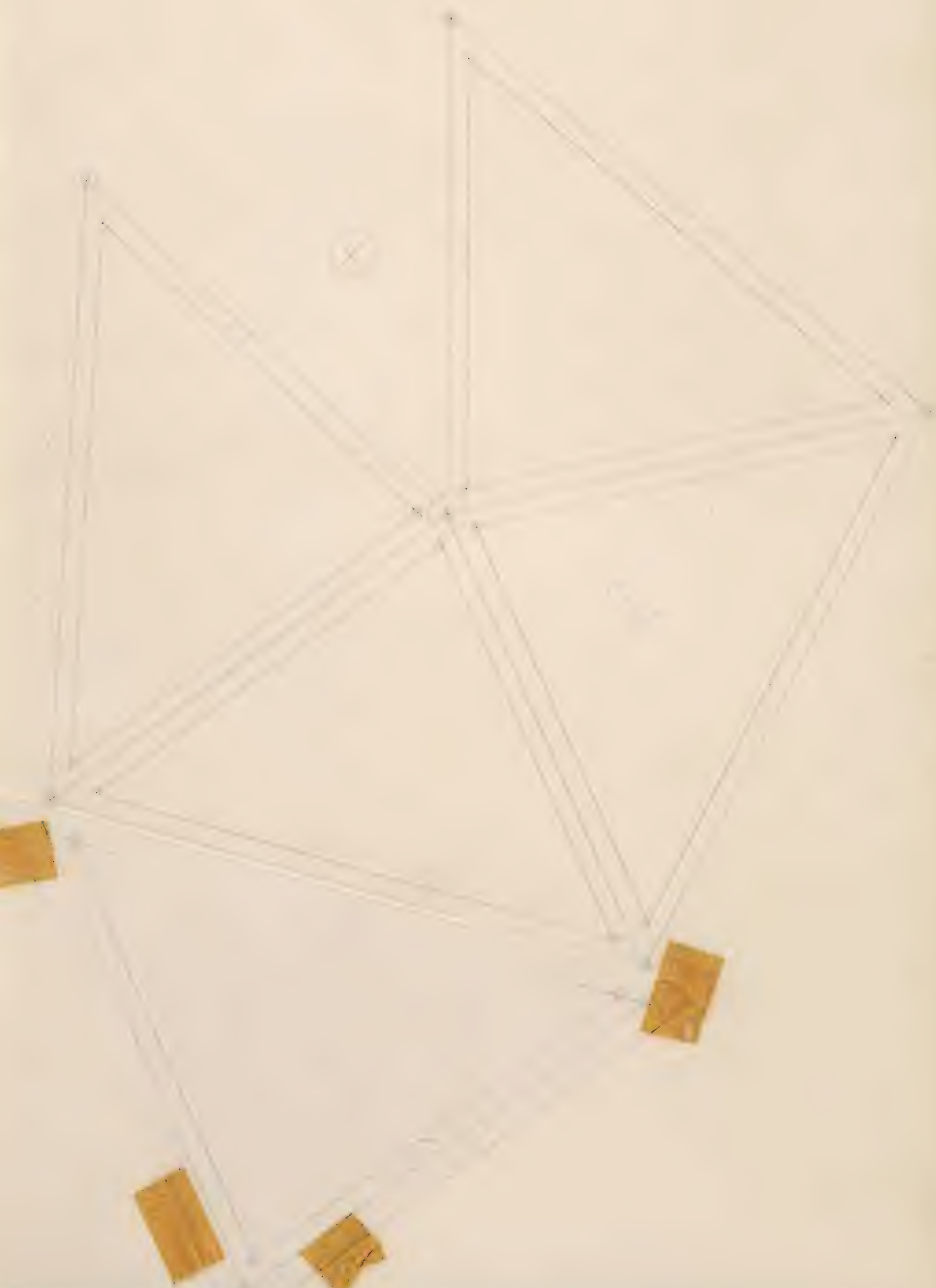




10. 10. 10

10. 10. 10

10. 10. 10

















EN VISTA

POLIEDRO CONVEXO DE CARAS  
TRIANGULARES IGUALES, DERI-  
VADO DE LA RED ESFÉRICA EXAÉ-  
DRICA DEL MODELO M-2,4, Y EXAÉ-  
DRO REGULAR CONVEXO INSCRITO EN  
EL MISMO

Radio de la esfera circunscrita:

$$r' = 110 \text{ m m.}$$





ENUNCIADO: Construir el modelo compuesto del poliedro convexo de caras triangulares, estudiado en el modelo M-2.7, e incluir en el mismo un escaedo regular convexo inscrito en la misma esfera que circunscribe al mencionado poliedro convexo de caras triangulares iguales.

En el estudio del modelo M-2.7, obtuvimos un poliedro convexo de veinticuatro caras triangulares iguales obtenido al ~~unir~~ los nudos de la red esférica tipo b) del modelo M-2.4, al transformarse los lados de los triángulos esféricos de dicha red, en triángulos rectilíneos cuyos lados eran las cuerdas de los arcos de círculo máximos que formaban los lados de la red.

Los nudos de la red esférica generadora los clasificábamos en dos clases distintas: Ocho de clase a), vértices de un cubo inscrito en la esfera; y seis de clase b), vértices de un octaedro regular inscrito en la misma esfera.

En este modelo que estudiamos ahora, se incluye el escaedo regular convexo M-2.101 de caras macizas, dentro del poliedro M-2.8 de caras vaciadas. Los vértices comunes de ambos poliedros son los de la clase b) mencionada anteriormente.

Para la construcción de estos poliedros, se necesitan las siguientes piezas:





- A) POLIEDRO EXTERIOR CONVEXO DE 24 CARAS TRIANGULARES IGUALES, INSCRITO EN UNA ESFERA DE RADIO " $r$ "  
( $r' = 110 \text{ mm}$ ).

Este poliedro (de caras vaciadas) es el mismo que el estudiado en el modelo M- 2,8, por lo que tendremos:

PIEZA N° 1                      CARAS SUPERFICIALES                      24 unidades

PIEZA N° 2                      UNIONES ARISTAS EN LADOS IGUALES DEL TRIÁNGULO DE LAS CARAS SUPERFICIALES                      24 unidades

PIEZA N° 3                      UNIONES ARISTAS EN LADO DESIGUAL DEL TRIÁNGULO DE LAS CARAS SUPERFICIALES                      12 unidades.

- B) EXAEDRO REGULAR CONVEXO INTERIOR, INSCRITO EN LA MISMA ESFERA DE RADIO " $r$ "                      ( $r' = 110 \text{ mm}$ )

Este poliedro (de caras macizas) es el mismo que el estudiado en el modelo M- 2,101, por lo que tendremos:

PIEZA N° 1                      CARAS SUPERFICIALES                      6 unidades

PIEZA N° 2                      REFUERZO NORMAL INTERIOR                      6 unidades





PIEZA N° 3      REFUEZO TRANSVERSAL INTERIOR      12 unidades

PIEZA N° 4      UNIONES ARISTAS      12 unidades

PIEZA N° 5      FORRO COLOREADO      6 unidades





POLIEDRO CONVEXO DE CARAS  
TRIANGULARES IGUALES DERI-  
VADO DE LA RED ESFÉRICA EXAÉ-  
DRICA DEL MODELO M-2.6, Y EXAE-  
DRO REGULAR INSCRITO EN EL MIS-  
MO.

Radio de la esfera circunscrita:

$$r' = 110 \text{ mm.}$$





ENUNCIADO:

Construir el modelo corpóreo del poliedro convexo de caras triangulares, estudiado en el modelo M-2.9 e inscribir en el interior del mismo un escaudo regular convexo inscrito en la misma esfera que circunscribe al mencionado poliedro convexo de caras triangulares iguales.

En el estudio del modelo M-2.9, obtuvimos un poliedro convexo de cuarenta y ocho caras triangulares iguales, obtenido al unir los nudos de la red esférica tipo c) del modelo M-2.6, al transformarse los lados de los triángulos esféricos de dicha red, en triángulos rectilíneos, cuyos lados eran las cuerdas de los arcos de círculo máximo que formaban los lados de la red.

Los nudos de la red esférica generadora los clasificamos en tres clases distintas: Ocho de clase a), vértices de un cubo inscrito en la esfera; Seis de clase b), vértices de un octaedro regular; y Doce de clase c), vértices de un Arquimedeano III, también inscrito en la misma esfera.

En este modelo que estudiamos ahora, se incluye el escaudo regular convexo de caras rectas dentro del poliedro M-2.10 de caras variadas. Los vértices comunes de ambos poliedros son los de la clase a) mencionada anteriormente.

Para la construcción de estos poliedros se necesitan las





siguientes piezas:

A) POLIEDRO EXTERIOR CONVEXO DE CARAS TRIANGULARES IGUALES, INSCRITO EN UNA ESFERA DE RADIO "r"  
( $r' = 110 \text{ mm}$ ).

Este poliedro (de caras vaciadas) es el mismo que el estudiado en el modelo M-2.10, por lo que tendremos:

PIEZA N° 1 CARAS SUPERFICIALES 48 unidades

PIEZA N° 2 UNIONES ARISTAS EN LOS LADOS "a" DEL TRIÁNGULO DE UNA CARA SUPERFICIAL  
24 unidades

PIEZA N° 3 UNIONES ARISTAS EN LOS LADOS "b" DEL TRIÁNGULO DE UNA CARA SUPERFICIAL  
24 unidades

PIEZA N° 4 UNIONES ARISTAS EN LOS LADOS "c" DEL TRIÁNGULO DE UNA CARA SUPERFICIAL  
24 unidades

B) EXAEDRO REGULAR CONVEXO, INSCRITO EN LA MISMA ESFERA DE RADIO "r"  
( $r' = 110 \text{ mm}$ )





Este planteo de caras macizas, es el mismo que el estudiado en el modelo M-2, 101, por lo que tendremos:

<u>PIEZA N°1</u>	<u>CARAS SUPERFICIALES</u>	<u>6 unidades</u>
<u>PIEZA N°2</u>	<u>REFUERZO NORMAL INTERIOR</u>	<u>6 unidades</u>
<u>PIEZA N°3</u>	<u>REFUERZO TRANSVERSAL INTERIOR</u>	<u>24 unidades</u>
<u>PIEZA N°4</u>	<u>UNIONES ARISTAS</u>	<u>12 unidades</u>
<u>PIEZA N°5</u>	<u>FORRO COLOREADO CARAS SUPERFICIALES</u>	<u>6 unidades</u>



POLIEDRO CONVEXO DE CARAS  
TRIANGULARES IGUALES, DERI-  
VADO DE LA RED ESFÉRICA EXAÉ-  
DRICA DEL MODELO M-2.4, y OC-  
TAEDRO REGULAR CONVEXO, INS-  
CRITO EN EL MISMO.

Radio de la esfera circunscrita:

$$r' = 110 \text{ m m.}$$





ENUNCIADO:

Construir el modelo corpóreo del poliedro convexo de caras triangulares iguales, estudiado en el modelo M-2.7 e incluir en el mismo el octaedro regular convexo inscrito en la misma esfera que circunscribe al mencionado poliedro convexo de caras triangulares.

En el estudio del modelo M-2.7, obtuvimos un poliedro convexo de veinticuatro caras triangulares iguales obtenido al unir los nudos de la red esférica tipo b) del modelo M-2.4, al transformarse los lados de los triángulos esféricos de dicha red, en triángulos rectilíneos cuyos lados eran las cuerdas de los arcos de círculo máximo que formaban los lados de la red.

Los nudos de la red esférica generadora los clasificábamos en dos clases distintas: Ocho de clase a), vértices de un cubo inscrito en la esfera; y Seis de clase b), vértices de un octaedro regular, también inscrito en la misma esfera.

En este modelo que estudiamos ahora, se incluye el octaedro regular convexo M-3.101 de caras macizas, dentro del poliedro M-2.8 de caras vaciadas. Los vértices comunes de ambos poliedros son los de la clase b), mencionada anteriormente.

Para la construcción de estos poliedros, se necesitan las siguientes piezas:





A) POLIEDRO EXTERIOR CONVEXO DE 24 CARAS TRIANGULARES IGUALES, INSCRITO EN UNA ESFERA DE RADIO "r'"  
(r' = 110 mm).

Este poliedro (de caras vaciadas) es el mismo que el estudiado en el modelo M-2,8, por lo que tendremos:

PIEZA N° 1      CARAS SUPERFICIALES      24 unidades

PIEZA N° 2      UNIONES ARISTAS EN LADOS IGUALES DEL TRIÁNGULO DE LAS CARAS SUPERFICIALES  
24 unidades

PIEZA N° 3      UNIONES ARISTAS EN LADO DESIGUAL DEL TRIÁNGULO DE LAS CARAS SUPERFICIALES  
12 unidades

B) OCTAEDRO REGULAR CONVEXO INTERIOR, INSCRITO EN LA ESFERA DE RADIO "r' = 110 mm"

Este poliedro (de caras macizas) es el mismo que el estudiado en el modelo M-3,101, por lo que tendremos:

PIEZA N° 1      CARAS SUPERFICIALES      8 unidades



PIEZA N° 2      REFUERZO NORMAL INTERIOR      8 unidades

PIEZA N° 3      REFUERZO TRANSVERSAL INTERIOR  
24 unidades

PIEZA N° 4      UNIONES ADISTAS      12 unidades

PIEZA N° 5      FORRO COLOREADO DE LAS CARAS SUPERFICIALES  
8 unidades





POLIEDRO CONVEXO DE CARAS  
 TRIANGULARES IGUALES, DERI-  
 VADO DE LA RED ESFÉRICA EXAÉ-  
 DRICA DEL MODELO M-2.6 Y OCTAÉ-  
 DRO REGULAR CONVEXO, INSCRITO  
 EN EL MISMO

Radio de la esfera circunscrita:

$$r' = 110 \text{ mm.}$$





ENUNCIADO:

Construir el modelo corpóreo del poliedro convexo de caras triangulares, estudiado en el modelo M-2,9, e incluir en el interior del mismo un octaedro regular convexo inscrito en la misma esfera que circunscribe al mencionado poliedro convexo de caras triangulares iguales.

En el estudio del modelo M-2,9, obtuvimos un poliedro convexo de cuarenta y ocho caras triangulares iguales, obtenido al unir los nudos de la red esférica tipo c) del modelo M-2,6, al transformarse los lados de los triángulos esféricos de dicha red, en triángulos rectilíneos, cuyos lados eran cuerdas de los arcos de círculo máximo que formaban los lados de la red.

Los nudos de la red esférica generadora los clasificamos en tres clases distintas: Ocho de la clase a), vértices de un cubo inscrito en la esfera; Seis de clase b), vértices de un octaedro regular; y Doce de clase c), vértices de un Arquimedeano III, también inscrito en la misma esfera.

En este modelo que estudiamos ahora, se incluye el octaedro regular convexo de caras macizas dentro del poliedro M-2,10 de caras vaciadas. Los vértices comunes



de ambos poliedros son los de la clase b) mencionada anteriormente.

Para la construcción de estos poliedros se necesitan las siguientes piezas:

4) POLIEDRO EXTERIOR CONVEXO DE CARAS TRIANGULARES IGUALES, INSCRITO EN UNA ESFERA DE RADIO "r'"  
( $r' = 110 \text{ mm}$ ).

Este poliedro (de caras vaciadas) es el mismo que el estudiado en el modelo M-2, 10, por lo que tendremos:

PIEZA N°1      CARAS SUPERFICIALES      48 unidades

PIEZA N°2      UNIONES ARISTAS EN LOS LADOS "a" DEL TRIÁNGULO DE UNA CARA SUPERFICIAL  
24 unidades

PIEZA N°3      UNIONES ARISTAS EN LOS LADOS "b" DEL TRIÁNGULO DE UNA CARA SUPERFICIAL  
24 unidades

PIEZA N°4      UNIONES ARISTAS EN LOS LADOS "c" DEL TRIÁNGULO DE UNA CARA SUPERFICIAL  
24 unidades





B) OTORONO REGULAR CONVEXO, INSCRITO EN LA MISMA  
MA ESFERA DE RADIO "r'" (r' = 110 m m)

Este poliedro (de caras macizas) es el mismo que el estudiado en el modelo M-3,101, por lo que tendremos:

PIEZA N° 1      CARAS SUPERFICIALES      8 unidades

PIEZA N° 2      REFUERZO NORMAL INTERIOR      8 unidades

PIEZA N° 3      REFUERZO TRANSVERSAL INTERIOR  
24 unidades

PIEZA N° 4      UNIONES ARISTAS      12 unidades

PIEZA N° 5      FORRO COLOREADO DE LAS CARAS SUPERFICIALES  
8 unidades





MODELO CORPÓREO COMPUESTO DE

LOS SIGUIENTES POLIEDROS: 1)

EXAEDRO REGULAR CONVEXO, CIR-

CUNSCRITO AL: 2) TETRAEDRO

REGULAR CONVEXO. \_\_\_\_\_

Radio de la esfera circunscrita común:

$$r' = 110 \text{ mm}$$



ENUNCIADO: Construir el modelo corpóreo, compuesto de los siguientes poliedros: 1) Exaedro regular convexo, circunscrito al; 2) Tetraedro regular convexo.

En este modelo se pone de manifiesto la propiedad de ser: "El exaedro regular convexo circunscribible al tetraedro regular convexo cuando ambos poliedros tienen sus centros coincidentes y de igual radio sus respectivas esferas circunscritas"

Siendo esta propiedad equivalente a la enunciada en el estudio del modelo M-1.5, se llega a la conclusión de que los modelos M-1.5 y M-2.19 son iguales por lo que reanotamos la construcción de éste a la del mencionado modelo M-1.5





Variante del modelo M-2.19

EXPOSICIÓN

MODELO CORPÓREO COMPUESTO DE

LOS SIGUIENTES POLIEDROS: 1)

EXAEDRO REGULAR CONVEXO, CIR-

CUNSCRITO AL : 2) TETRAEDRO

REGULAR CONVEXO. \_\_\_\_\_

Radio de la esfera circunscrita común

$$r' = 76,1 \text{ m m.}$$





variante del modelo M-2.19

ENUNCIADO: Construir el modelo corpóreo, compuesto de los siguientes poliedros: 1) Hexaedro regular convexo, circunscrito al, 2) Tetraedro regular convexo.

Este modelo es análogo al estudiado en el M-2.19, pero con la variante de ser de menor tamaño ( $r_{e_c}^6 = 76.1 \text{ mm}$ ).

De acuerdo con la propiedad expresada en el modelo M-2.19, equivalente a la enunciada en el estudio del modelo M-1.5, se llega igualmente a la conclusión de que los modelos M-1.6 y M-2.20 son iguales; por lo que reemplazamos la construcción de este a la del mencionado modelo M-1.6



MODELO CORPÓREO COMPUESTO DE

LOS SIGUIENTES POLIEDROS: A)

POLIEDRO CONVEXO DE 24 CARAS VA-

ciadas, INSCRITO EN A. B) OC-

TAEDRO REGULAR CONVEXO DE CARAS

VACIADAS INSCRITO EN A. C) CON-

JUNTO COMPUESTO DEL MODELO M-19.2,

INSCRITO TAMBIÉN EN A. \_\_\_\_\_

Radio de la esfera circunscrita común

$$r' = 110 \text{ mm.}$$





Ejercicio de construcción de poliedros  
 MODELOS CORPÓREOS

Modelo M-2.21

ENUNCIADO: Construir el modelo corpóreo compuesto de los siguientes poliedros: A) Poliedro convexo de 24 caras igual al modelo M-2.8; B) Octaedro regular convexo de caras vaciadas, inscrito en A; C) Conjunto compuesto del modelo M-19.2, inscrito también en A.

DATO  $r_{ec}$  = Radio de la esfera circunscrita al poliedro  
 modelo M-2.8

$$r_{ec} = 110 \text{ mm}$$

Los poliedros componentes de este modelo tienen las siguientes características constructivas:

- A) Poliedro convexo de 24 caras vaciadas igual al del modelo M-2.8
- B) Octaedro regular convexo de caras vaciadas, inscrito en A.
- C) Componentes del modelo M-19.2:
  - c1) Octaedro regular convexo de caras macizas
  - c2) Dos tetraedros regulares convexos, de caras vaciadas

Los poliedros B) y c2), están inscritos en A), siendo el radio de sus esferas circunscritas, iguales ( $r_{ec}^4 = r_{ec}^8 = r_{ec}^{M-19.2}$ )

Para la construcción de este modelo, se precisan las siguientes



piezas:

A) POLIEDRO CONVEXO DE 24 CARAS VACIADAS

De igual forma y dimensiones que las del modelo M-2.8

PIEZA N° 1      CARAS SUPERFICIALES      24 unidades

Igual a la pieza n° 1 (fig. 1) del modelo M-2.8

PIEZA N° 2      UNIONES ARISTAS EN LADOS IGUALES DEL TRIÁNGULO  
DE LAS CARAS SUPERFICIALES      24 unidades

Igual a la pieza n° 2 (fig. 2) del modelo M-2.8

PIEZA N° 3      UNIONES ARISTAS EN LADO IGUAL DEL TRIÁNGULO DE  
LAS CARAS SUPERFICIALES      12 unidades

Igual a la pieza n° 3 (fig. 3) del modelo M-2.8

B) OCTAEDRO REGULAR CONVEXO DE CARAS VACIADAS INSCRITO  
EN EL POLIEDRO M-2.8

De igual forma y dimensiones que las del modelo M-3.102

PIEZA N° 4      CARAS SUPERFICIALES      8 unidades

Igual a la pieza n° 1 (fig. 1) del modelo M-3.102





PIEZA N° 5UNIONES ARISTAS12 unidades

Igual a la pieza n° 2 (fig. 2) del modelo M-3.102

c) COMPONENTES DEL MODELO M-19.2

c1) OCTAEDRO REGULAR CONVEXO DE CARAS MACIZAS, SÓLIDO  
COMÚN DE LOS DOS TETRAEDROS REGULARES CONVEXOS, CON-  
JUGADOS POR SUS ARISTAS.

De igual forma y dimensiones que las del modelo M-19.2

PIEZA N° 6CARAS SUPERFICIALES8 unidades

Igual a la pieza n° 1 del modelo M-19.2

PIEZA N° 7REFUERZO NORMAL INTERIOR DE LAS CARAS  
SUPERFICIALES8 unidades

Igual a la pieza n° 2 del modelo M-19.2

PIEZA N° 8REFUERZO TRANSVERSAL DE LAS CARAS SUPER-  
FICIALES16 unidades

Igual a la pieza n° 3 del modelo M-19.2

PIEZA N° 9UNIONES ARISTAS12 unidades

Igual a la pieza n° 4 del modelo M-19.2



PIEZA N° 10FORRO COLOREADO8 unidades

Igual a la pieza n° 5 del modelo M-19.2

C2) TETRAEDRO REGULAR CONVEXO DE CARAS VACIADAS, EN  
EL CUAL ESTÁ UBICADO EL OCTAEDRO C1

De igual forma y dimensiones que las del modelo M-1.102

PIEZA N° 11CARAS SUPERFICIALES4 unidades

Igual a la pieza n° 1 del modelo M-1.102

PIEZA N° 12UNIONES ARISTAS6 unidades

Igual a la pieza n° 2 del modelo M-1.102

C3) TETRAEDRO REGULAR CONVEXO DE CARAS VACIADAS, CONJUN-  
GADO POR SUS ARISTAS CON EL TETRAEDRO C2, Y FORMA-  
DO POR CUATRO TETRAEDROS REGULARES DE CARAS VACIA-  
DAS, Y ARISTA  $\alpha_4 = \alpha_6$

PIEZA N° 13

DESARROLLO DE LAS TRES CARAS LATERALES EN  
CADA VÉRTICE

4 unidades

Iguales a la pieza n° 5 (fig.3) del modelo M-19.1





PIEZA N° 44

UNIONES ARISTAS

12 unidades

Según a la pieza n° 6 (fig. 4) del modelo M-19.1





PATRON

Modelo M-2.21







# EXAEDRO

MODELO CORPÓREO DEL POLIEDRO CÓNCAVO

DE CARAS MACIZAS, OBTENIDO AL CONSTRUIR

SOBRE CADA CARA DE UN EXAEDRO REGU-

LAR CONVEXO, Y HACIA SU EXTERIOR, UN

PRISMA RECTO REGULAR, CUYA BASE ES DI-

CHA CARA Y SUS CARAS LATERALES SON CUA-

DRA DOS.

Radio de la esfera circunscrita:

$$r' = 110 \text{ m m.}$$



ENUNCIADO: Construir el modelo corpóreo del poliedro cóncavo de caras macizas. Obtenido al construir sobre cada cara de un escaedo regular convexo, y hacia su exterior, un prisma recto regular, cuya base es dicha cara, y sus caras laterales son cuadrados.

Se tiene como dato único el del radio " $r_{ec}$ " de la esfera circunscrita, que contiene todos los vértices exteriores (vértices de los cuadrados de las bases del prisma opuestos a las caras del escaedo generador.

$$r_{ec} = 110 \text{ mm}$$

#### 1) PROPIEDADES

De la definición de este poliedro, se deducen las siguientes propiedades que enunciaremos a continuación, siendo algunas de ellas básicas para el cálculo de sus dimensiones.

P1) Los prismas rectos construidos sobre cada cara del escaedo generador, son de bases cuadradas, siendo





a su vez, cuadradas sus cuatro caras laterales; por consiguiente, dichos prismas serán exaedros regulares convexos de igual arista que la del exaedro generador.

P 2) El poliedro pedido, se compone de 6 exaedros regulares convexos, iguales al generador y de arista  $a_0$ . Estos exaedros tienen las aristas de sus bases inferiores, comunes dos a dos.

P 3) El número de sus caras cuadradas, será pues:

$$C_4 = 6 \times 5 = \underline{30 \text{ caras}}$$

El número de sus vértices, será:

$$\text{En las bases superiores:} = 4 \times 6 = 24$$

$$\text{En las bases inferiores} = \underline{8}$$

$$\text{Total} \quad \underline{32 \text{ vértices}}$$

El número de aristas, será:

$$\text{En las bases superiores} = 6 \times 4 = 24$$

$$\text{En las bases inferiores} = \underline{12}$$

$$\text{En las caras laterales} = 6 \times 4 = \underline{24}$$

$$\text{Total} \quad \underline{60 \text{ aristas}}$$

En resumen, este poliedro, tiene:

$$C = 30 \text{ caras}$$

$$V = 32 \text{ vértices}$$

$$A = 60 \text{ aristas}$$



y verifica también el Teorema de Euler para poliedros convexos

$$C + V = 30 + 32 = 62 = A + 2 = 60 + 2$$

P4) La altura  $h_4$  del prisma recto (o escaedro regular convexo), construido sobre cada cara del escaedro generador de arista  $a_6$ , es:

$$h_4 = a_6$$

P5) Si unimos un vértice "V" de la base superior del prisma recto anterior, con el centro "C" del cuadrado de dicha base; a continuación este con el centro "O" del escaedro generador, y finalmente "V" con "O", se nos formará el triángulo rectángulo "VCO" en el que la hipotenusa  $\overline{VO}$  será el radio " $r_{ec}$ " de la esfera circunscrita al poliedro estudiado; el cateto "VC", será el radio " $r_{c-4}$ " de la circunferencia circunscrita a la cara cuadrada posterior; el otro cateto "CO" es la suma del radio " $r_{ei}^6$ " de la esfera inscrita en el escaedro generador y la altura "h<sub>4</sub>" del prisma,

Por consiguiente tendremos:

$$\overline{VO} = r_{ec}$$

$$\overline{VC} = r_{c-4}$$

$$\text{y } \overline{CO} = r_{ei}^6 + h_4$$

verificándose que:

$$(2) \quad \overline{VO}^2 = \overline{VC}^2 + \overline{CO}^2, \text{ donde sustituyendo}$$





valores, será:

$$\Gamma_{ec} = \sqrt{(\Gamma_{c-4})^2 + (\Gamma_{ei}^6 + h_4)^2} \quad (3)$$

Para desarrollar la fórmula (3) sustituiremos en ella los siguientes valores en función de " $a_6$ "

1º " $\Gamma_{c-4}$ " = Radio de la circunferencia circunscrita a la cara cuadrada exterior de lado  $a_6$  (arista del escaudo generador)

(Ver ejercicio G.P. 1.400-43)

$$\Gamma_{c-4} = \frac{\sqrt{2}}{2} a_6 \quad (4)$$

$$2^\circ \quad h_4 = a_6 \quad \Gamma_{ei}^6 = \frac{1}{2} a_6 \quad (5)$$

Valores que sustituidos en (3) nos dará:

$$\begin{aligned} \Gamma_{ec} &= \sqrt{\left(\frac{\sqrt{2}}{2} a_6\right)^2 + \left(\frac{1}{2} a_6 + a_6\right)^2} = \sqrt{\frac{1}{2} + \left(\frac{1}{2} + 1\right)^2} a_6 = \sqrt{\frac{1}{2} + \left(\frac{3}{2}\right)^2} a_6 = \\ &= \sqrt{\frac{1}{2} + \frac{9}{4}} a_6 = \sqrt{\frac{11}{4}} a_6 = \frac{\sqrt{11}}{2} a_6 \quad (6) \end{aligned}$$

El valor de  $a_6$  en función de  $\Gamma_{ec}$ , se obtendrá de (6)

$$a_6 = \Gamma_{ec} : \frac{\sqrt{11}}{2} = \Gamma_{ec} \times \frac{2}{\sqrt{11}} = \Gamma_{ec} \times \frac{2\sqrt{11}}{11} = 0,603022689 \times \Gamma_{ec}$$

En el modelo estudiado, será:

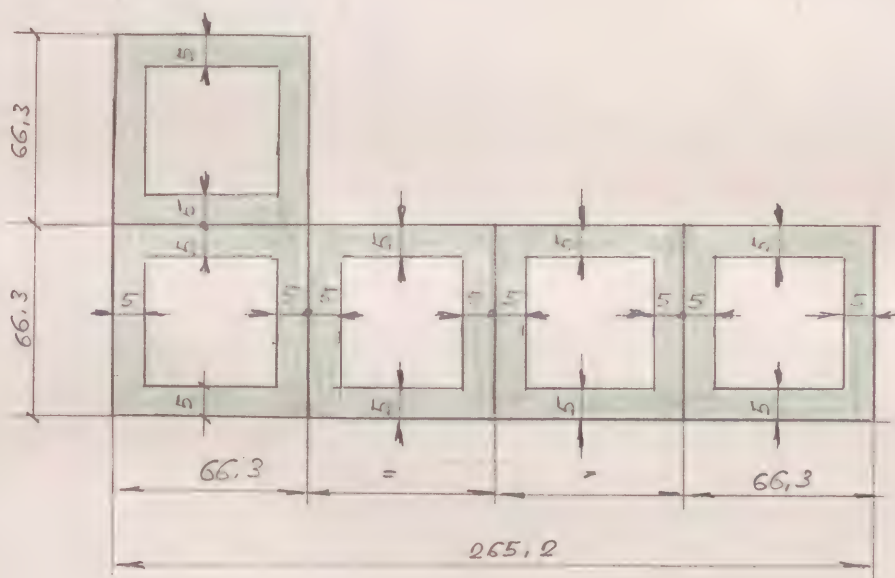
$$a_6 \approx 0,603022689 \times 110 = 66,3 \text{ mm}$$



El modelo estudiado, de alas macizas, se compondrá de las siguientes piezas:

PIEZA N° 1.- DESARROLLO LATERAL Y BASE SUPERIOR DEL PRISMA RECTO CUADRANGULAR (CUBO) 6 unidades

La forma y dimensiones se detallan en la figura 1



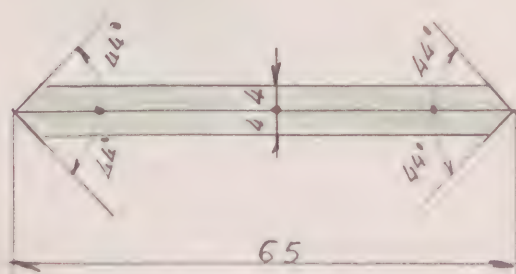
PIEZA N° 1

6 (u)

Figura 1

PIEZA N° 2 UNIONES ADISTAS 60 unidades

La forma y dimensiones se detallan en la figura 2



PIEZA N° 2 60 (u)

Figura 2

Figura 2





PIEZA N°3      FORRO MACIZO DE LAS CARAS DEL PRISMA RECTO  
CUADRANGULAR (EXAEDRO REGULAR CONVEXO)  
30 unidades

Los cuadrados. Su forma y dimensiones se detallan en la  
figura 2

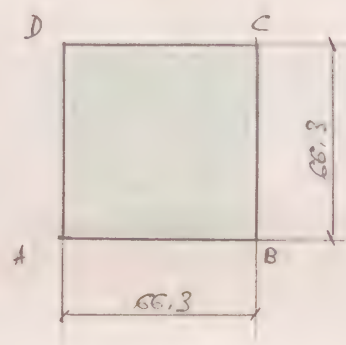


Figura 3

PIEZA N°3      30 (u)

Figura 3

PIEZA N°4      REFUERZO NORMAL INTERIOR DE LAS CARAS  
DEL PRISMA RECTO (EXAEDRO REGULAR CONVEXO)  
30 unidades

La forma y dimensiones se deducen de los del cuadrado  
ABCD de la figura 3, y se detallan en la figura 4

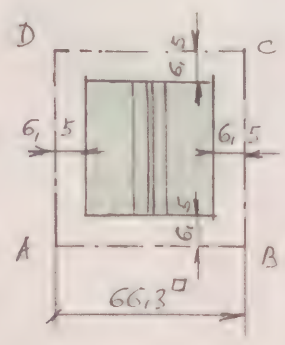


Figura 4

PIEZA N°4      30 (u)

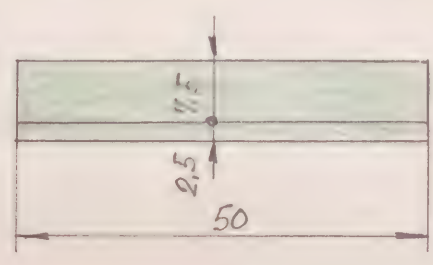
Figura 4



PIEZA N° 5      REFUERZO TRANSVERSAL INTERIOR DE LAS CARAS  
DEL PRISMA RECTO (EXAEDRO REGULAR CONVEXO)

60 unidades

La forma y dimensiones se detallan en la figura 5; su colocación, en la figura 4.



PIEZA N° 5      60 (u)

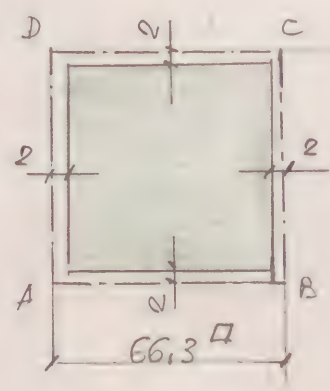
Figura 5

Figura 5

PIEZA N° 6      FORRO COLOREADO EN LAS CARAS LATERALES Y  
BASE DEL PRISMA RECTO (EXAEDRO REGULAR CONVEXO)

30 unidades

La forma y dimensiones se deducen del cuadrado ABCDA de la figura 3 y se detallan en la figura 6



PIEZA N° 6      30 (u)

Figura 5

Figura 5









ESTUDIO COMPLEMENTARIO

El estudio de este modelo corpóreo, cuya ley de generación se detalla en su enunciado, nos ha conducido a la obtención de un poliedro cóncavo, compuesto de seis exaedros regulares convexos acoplados por las aristas inferiores de sus bases que son comunes dos a dos.

Las aristas de este poliedro, todas de igual longitud, e iguales a su vez a la arista " $a_6$ " del exaedro generador, son de dos clases. En la primera incluiremos las correspondientes a las dos bases de cada exaedro regular convexo, y en la segunda las de las caras laterales de dichos exaedros.

Si unimos ahora convenientemente dos a dos los vértices de los cuadrados de las bases superiores de los exaedros regulares convexos, obtendremos 8 caras triangulares asociadas a cada vértice del exaedro generador, y otras 12 caras rectangulares asociadas a cada arista del mencionado exaedro generador.

Las nuevas caras, juntamente con las de las bases superiores de los exaedros regulares convexos, forman un poliedro cóncavo de las siguientes características:

a) Caras cuadradas de arista " $a_6$ " = 6

b) Caras triangulares equiláteras de arista  $l_3$  = 8

c) Caras rectangulares de aristas  $a_6$   
y  $l_3$

Total =  $\frac{12}{26}$  caras





$$d) \text{ Aristas de las caras } a) = \frac{6 \times 4}{2} = 12$$

$$e) \text{ Aristas de las caras } b) = \frac{8 \times 3}{2} = 12$$

$$f) \text{ Aristas de las caras } c) = \frac{12 \times 4}{2} = 24$$

$$\text{Total } \underline{\underline{48 \text{ aristas}}}$$

$$g) \text{ Vértices } = 6 \times 4 = \underline{\underline{24 \text{ vértices}}}$$

Verificándose el teorema de Euler para los poliedros convexos

$$C + V = A + 2 \quad \cdot \quad 26 + 24 = 48 + 2 = 50$$

Las caras triangulares son triángulos equiláteros, de lado  $l_3$  mayor que la arista " $a_6$ " del escaedo regular convexo generador.

$$l_3 = a_3 > a_6 \quad 1)$$

Las caras rectangulares tienen dos lados iguales a las aristas " $a_6$ ", y los otros dos iguales a " $l_3$ ".

La longitud de la arista " $l_3$ " es la de la diagonal del cuadrado de una cara del escaedo regular convexo generador, por lo que tendremos:

$$l_3 = \sqrt{2} \times a_6 = 1,414213562... \times 66,3 = \underline{\underline{93,8 \text{ mm}}}$$

El modelo corpóreo del poliedro convexo que se obtendría



como consecuencia de este estudio complementario, es similar al desarrollado en el estudio del Arquimediano V, (lámina 37), compuesto de:

- |     |                      |   |
|-----|----------------------|---|
| (1) | 8 caras triangulares | } Todas regulares y<br>aristas iguales. |
| (2) | 18 caras cuadradas   |   |
| (3) | 48 aristas           |   |
| (4) | 24 vértices          |   |

y concurren en cada vértice:  $1C_3 + 3C_4$

Las condiciones (1), (3) y (4) se cumplen en el poliedro estudiado.

La condición (2) varía, por pasar a ser las 18 caras cuadradas, a 6 cuadradas de arista " $a_6$ " y 12 rectangulares de aristas  $a_6 \times l_3$ .

Para obtener el modelo corpóreo de este estudio complementario, puede utilizarse el mismo modelo M-2.22, completándolo con las aristas " $l_3$ " de las caras triangulares y rectangulares, que es lo que hemos realizado en dicho modelo corpóreo.





PIEZA N° 6

30 (u)

PIEZA N° 1  
6 (u) +

PIEZA N° 4

36 (u)



VARIANTE DEL POLIEDRO CÓNCAVO

M-2.22, DE IGUAL FORMA Y DIMEN-

SIONES Y CONSTRUIDO: A) EL EXAE-

DRO REGULAR CONVEXO GENERADOR,

CON SUS CARAS MACIZAS; Y B) EL

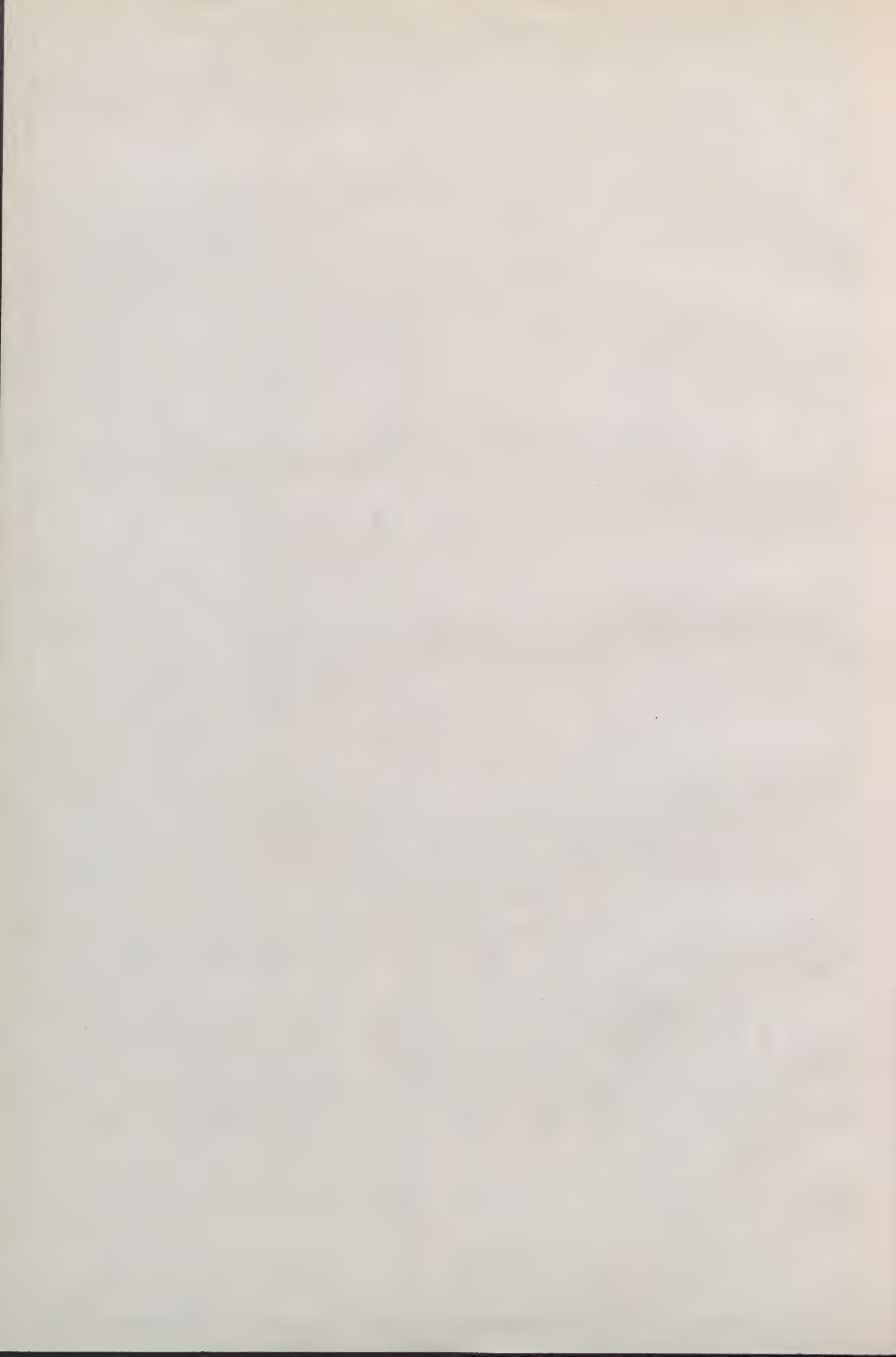
PRISMA RECTO CUADRANGULAR DE CARAS

LATERALES CUADRADAS, CON SUS CARAS

VACIADAS

Radio de la esfera circunscrita:

$$r' = 110 \text{ m m.}$$





ENUNCIADO:

Construir el modelo corpóreo de la variante del poliedro cóncavo M.-2.22, de igual forma y dimensiones, y construido: A) El exaedro regular convexo generador, con sus caras macizas; y B) El prisma recto cuadrangular de caras laterales cuadradas, con sus caras vaciadas.

Las propiedades de este poliedro, así como sus dimensiones, son las enunciadas y calculadas en el mencionado modelo M-2.22.

Para la construcción de este modelo son necesarias las siguientes piezas:

A) EXAEDRO REGULAR CONVEYO, DE CARAS MACIZAS  
Y ARISTA  $a_6 = 66,3 \text{ mm}$

PIEZA N° 1: CARAS SUPERFICIALES 6 unidades

Las cuadradas; su forma y dimensiones se detallan en la figura 1



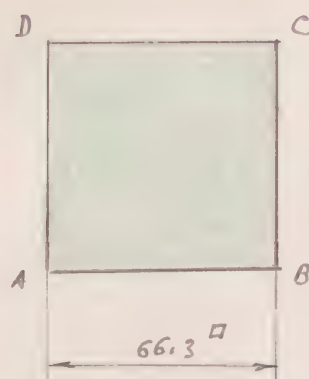


Figura 1

PIEZA Nº 16 (u)Figura 1PIEZA Nº 2REFUERZO NORMAL INTERIOR DE LAS CARAS  
SUPERFICIALES6 unidades

La forma y dimensiones se deducen de las del cuadrado ABCDA de la figura 1, y se detallan en la figura 2

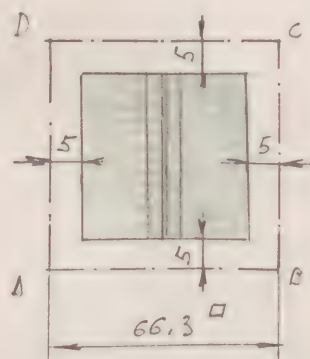


Figura 2

PIEZA Nº 26 (u)Figura 2PIEZA Nº 3UNIONES ARISTAS12 unidades

La forma y dimensiones se detallan en la figura 3

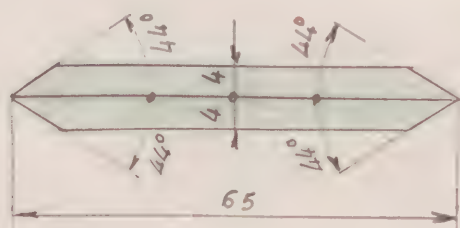


Figura 3

PIEZA Nº 312 (u)Figura 3





PIEZA N° 4      REFUERZO TRANSVERSAL INTERIOR DE LAS CARAS  
SUPERFICIALES      12 unidades

La colocación se detalla en la figura 2; su forma y dimensiones en la figura 4.

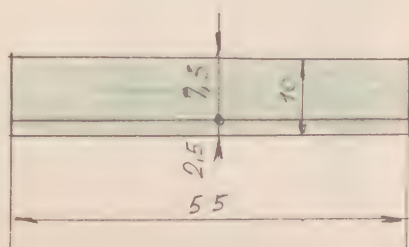


Figura 4

PIEZA N° 4      12 (u)

Figura 4

PIEZA N° 5      FORRO COLOREADO      6 unidades

La forma y dimensiones se deducen de las del cuadrado ABCDA de la figura 1, y se detallan en la figura 5

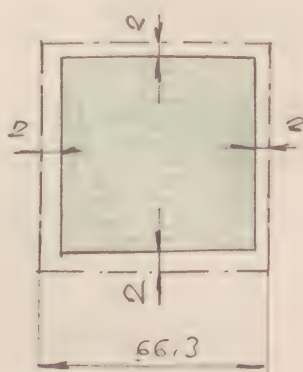


Figura 5

PIEZA N° 5      6 (u)

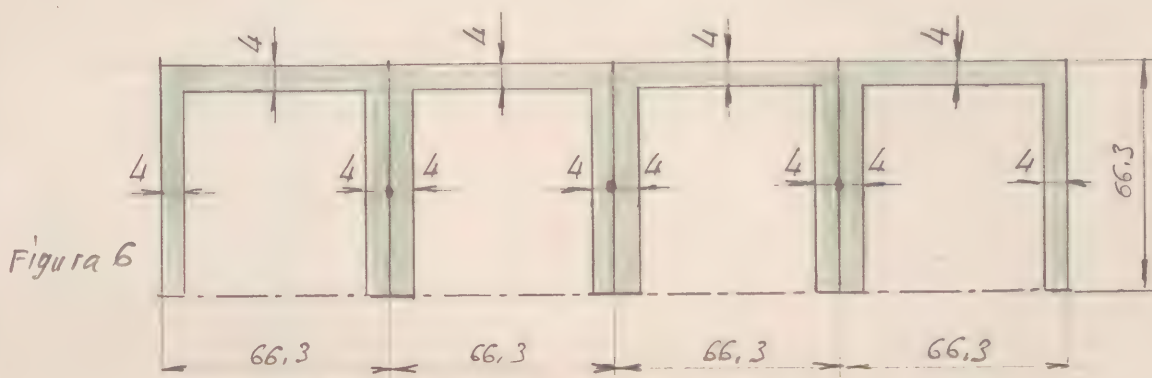
Figura 5

B)      PRISMA CUADRANGULAR RECTO, DE CARAS LATERALES  
CUADRADAS, CON SUS CARAS VACIADAS DE ARISTA  
 $d_6 = 66,3$  m m.



PIEZA N° 6      DESARROLLO LATERAL DEL PRISMA RECTO CUA-  
DRANGULAR.      6 unidades

La forma y dimensiones se detallan en la figura 6



PIEZA N° 6      6 unidades

PIEZA N° 7      BASE CUADRA DA DEL PRISMA RECTO CUA-  
DRANGULAR      6 unidades

La forma y dimensiones se detallan en la figura 7

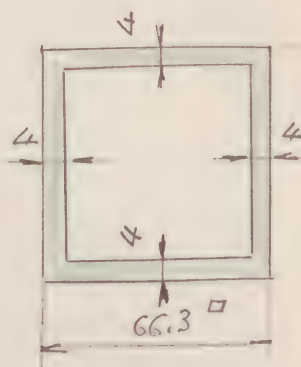


Figura 7

PIEZA N° 7      6(u)

Figura 7

PIEZA N° 8      UNIONES A RISTAS      48 unidades

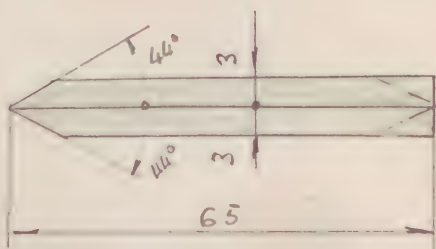


Figura 8

PIEZA N° 8      48 (u)

Figura 8





MODELO M. 2.23

PATRONES

1/2

3/4



# OBJETIVO

MODELO CORPÓREO DEL EXAEDRO REGULAR CONVEXO,  
OBTENIDO POR TRUNCADURA DE VÉRTICES DE UN OCTAEDRO REGULAR CONVEXO GENERADOR, DE ARISTA " $a_8$ ", A LA DISTANCIA " $x = \frac{2}{3} a_8$ ", SIENDO LA LONGITUD DE LA ARISTA DEL EXAEDRO GENERADO " $a'_6 = \frac{\sqrt{2}}{3} a_8$ ". - EL EXAEDRO GENERADO, SE CONSTRUIRÁ CON LAS CARAS MA-  
CIZAS, Y EL OCTAEDRO GENERADOR, CON LAS CARAS VACIADAS.

Radio de la esfera circunscrita al octaedro  
Generador:

$$r_{e_8}^8 = 110 \text{ m m.}$$





ENUNCIADO:

Construir el modelo corpóreo del escaedro regular convexo, obtenido por truncadura de vértices de un octaedro regular convexo generador, de arista " $a_8$ ", a la distancia " $x = \frac{2}{3} a_8$ ", siendo la longitud de la arista del escaedro generado, " $a'_6 = \frac{\sqrt{2}}{3} a_8$ ".  
- El escaedro generado, se construirá con las caras macizas, y el octaedro generador, con las caras vaciadas.

DATO ÚNICO DE ESTE EJERCICIO

$$\Gamma_{ec}^8 = 110 \text{ mm}$$

NOTA: Este modelo es igual al M-8.2, por lo que no se ha repetido su ejecución








## OCTAEDRO REGULAR CONVEXO

Radio de la esfera circunscrita:

$$r' = 76.1 \text{ mm}$$



ENUNCIADO: Construir el modelo corpóreo del octaedro regular convexo, representado en la lám. 3 del ejercicio G.E. (?)

DATOS

Radio " $r_{ec}$ " o radio de la esfera circunscrita al octaedro regular pedido.

$$r_{ec}^8 = 76.1 \text{ m m}$$

Las características del octaedro regular convexo, son las siguientes:

Número de caras triangulares	$C_3 = 8$
Número de vértices	$V = 6$
Número de aristas	$A = 12$
Número de caras en cada vértice	$4 P_3$

El modelo corpóreo que se estudia es de caras macizas

Para la construcción de este modelo, se precisan las siguientes piezas:

PIEZA N° 1 ~ CARA TRIANGULAR = 8 unidades

En un triángulo equilátero, cuyo lado  $l_3$  es igual a la





arista  $a_8$  del octaedro pedido.

El valor se obtiene despejando  $a_8$  de la fórmula n° del ejercicio G.E.

$$r_{ec}^8 = \frac{\sqrt{2}}{2} a_8 \quad \text{de donde} \quad \boxed{a_8} = r_{ec}^8 : \frac{\sqrt{2}}{2} = r_{ec}^8 \times \sqrt{2} =$$

$$= 76.1 \times \sqrt{2} \cong 107.6916521 \approx \boxed{107.6 \text{ mm}}$$

Fig. 1

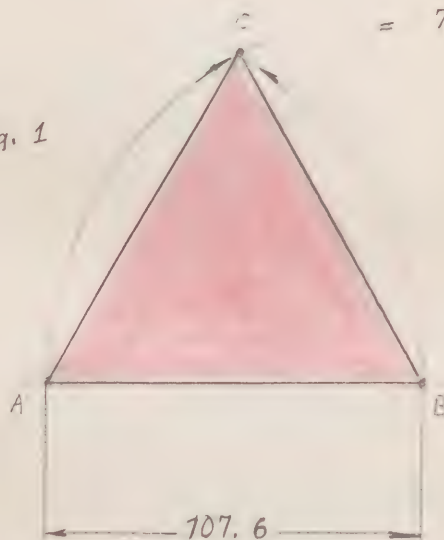


Figura 1

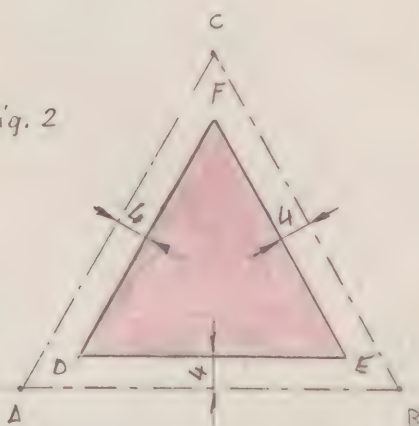
PIEZA N° 1      8 (U)

Fig. 1

PIEZA N° 2      =      REFUERZO NORMAL INTERIOR      =      8 (unidades)

Es un triángulo equilátero cuyo lado  $l_3$  se deduce del triángulo ABC de la figura 1 (triángulo DEF, de la fig. 2)

Fig. 2



PIEZA N° 2      8 (U)

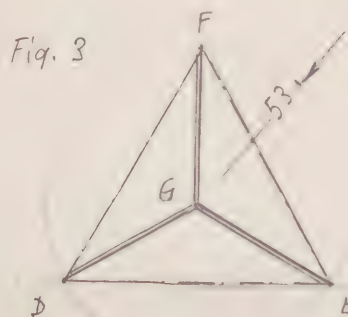
Fig. 2



PIEZA N° 3 - REFUERZO TRANSVERSAL INTERIOR

24 unidades

La longitud se deduce del triángulo DEF de la fig. 2  
(radio de la circunferencia circunscrita)

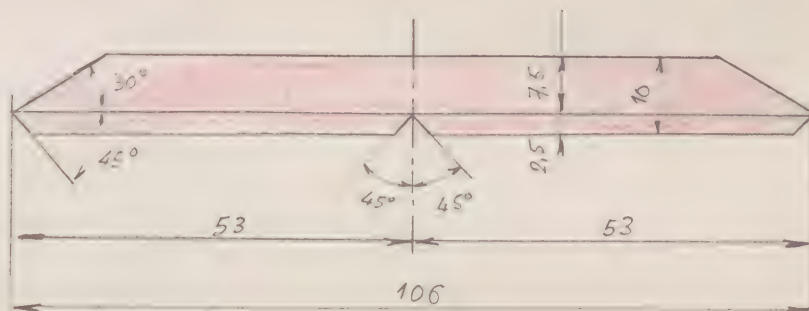


PIEZA N° 3

24 (u)

(simétricas 2 a 2)

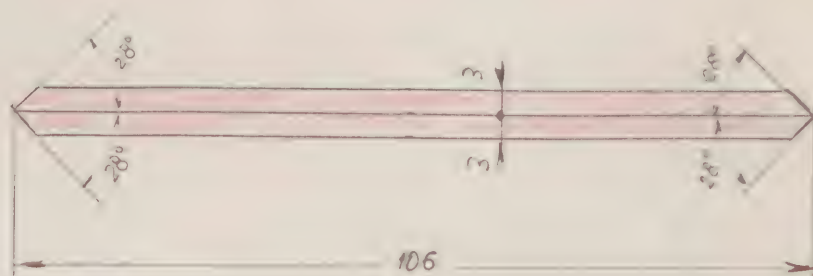
Fig. 3



PIEZA N° 4 - UNIONES ARISTAS

12 unidades

La longitud es ligeramente inferior a la de la arista  $a_8$   
(ver fig. 1;  $a_8 = 107.6 \text{ mm}$ ). - la tomamos igual a  $106 \text{ mm}$ .



PIEZA N° 4

12 unidades

Fig. 4





PIEZA N° 5 = FORRO COLOREADO

8 unidades

Es un triángulo equilátero cuyo lado  $l_3$  se deduce del triángulo ABC de la fig. 1. (triángulo GHI, de la fig. 5)

PIEZA N° 5

8 (u)

Fig. 5

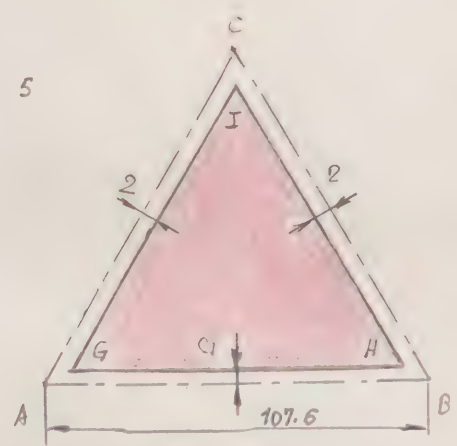


Fig. 5

Figura 5



PIEZA N° 1  
Fig. 1  
8 (U)

PIEZA N° 2  
Figs. 2 y 3  
8 (U)

PIEZA N° 3 Fig. 3  
16 (U) simétrico 2 a 2

PIEZA N° 4 Fig. 4  
12 (U)

PIEZA N° 5  
Fig. 5  
8 (U)









ENTRADA

OCTAEDRO REGULAR CONVEXO

Radio de la esfera circunscrita:

$$r' = 110 \text{ mm}$$



ENUNCIADO: Construir el modelo corpóreo del octaedro regular convexo, representado en la lámina 3 del ejercicio G.E.

DATO: Radio " $r_{ec}^8$ " de la esfera circunscrita al octaedro regular pedido:

$$r_{ec}^8 = 110 \text{ mm}$$

Las características del octaedro regular convexo, son las siguientes:

Número de caras triangulares	$C_3 = 8$
Número de vértices	$V = 6$
Número de aristas	$A = 12$
Número de caras en cada vértice	$4 P_3$

El modelo que se estudia es de caras macizas

Para la construcción de este modelo, se precisan las siguientes piezas:

PIEZA N° 1

CARAS SUPERFICIALES

8 unidades

Son triángulos equiláteros, cuyo lado " $l_3$ " es igual a la arista





$a_8$  del octaedro pedido.

su valor se obtiene despejando " $a_8$ " de la fórmula n° del ejercicio 6. E. , o sea

$$r_{ec}^8 = \frac{\sqrt{2}}{2} a_8 \quad \text{de donde} \quad \boxed{a_8} = r_{ec}^8 : \frac{\sqrt{2}}{2} = r_{ec}^8 \times \frac{2}{\sqrt{2}} =$$

$$= r_{ec}^8 \times \frac{2\sqrt{2}}{2} = r_{ec}^8 \times \sqrt{2} \approx 1,414213562... \times 110 \approx \boxed{155,6 \text{ mm}}$$

su forma y dimensiones se representan en la figura 1

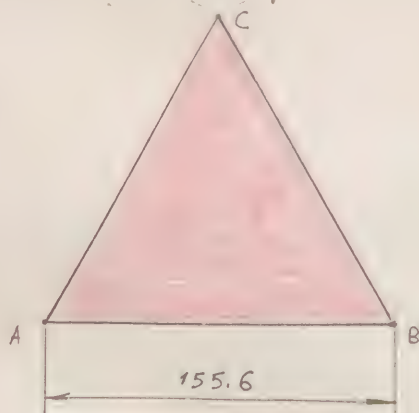


Figura 1

PIEZA N° 1      8 (u)

Figura 1

PIEZA N° 2

REFUERZO NORMAL INTERIOR

8 unidades

su forma y dimensiones se representan en la figura 2, 2 se deducen de las del triángulo ABC de la figura 1

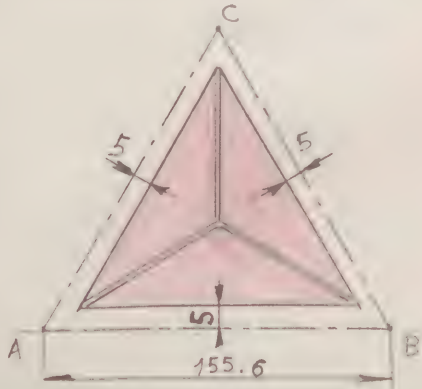


Figura 2

PIEZA N° 2

8 (u)

Figura 2



PIEZA N° 3      REFUERZO TRANSVERSAL INTERIOR      24 unidades

Se colocan en la dirección de las bisectrices del triángulo ABC de las caras superficiales (fig. 2), y su forma y dimensiones se detallan en la figura 3.

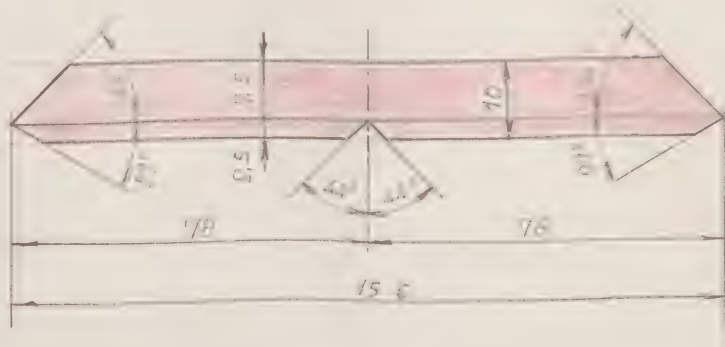


Figura 3

PIEZA N° 3      24 (U)  
simétricas  
2 a 2

Figura 3

PIEZA N° 4      UNIONES ARISTAS      12 unidades

La longitud es ligeramente inferior a la de la arista  $\alpha_8$  (ver fig. 1);  $\alpha_8 = 155.6 \text{ mm}$  .- la tomamos igual a  $154 \text{ mm}$ .

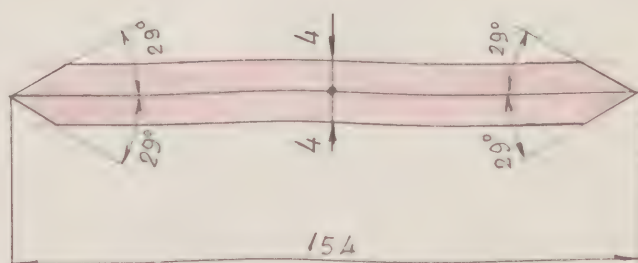


Figura 4

PIEZA N° 4      12 (U)

Figura 4

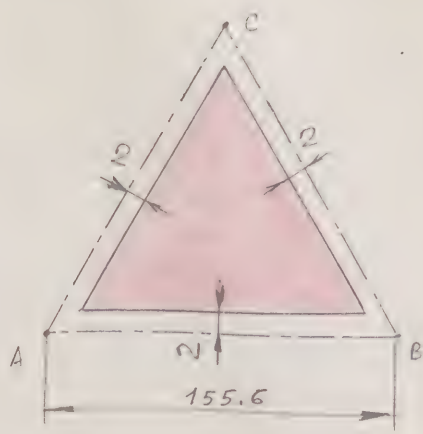
PIEZA N° 5      FORRO COLOREADO DE LAS CARAS SUPERFICIALES      8 unidades

La forma y dimensiones se representan en la figura 5, y se





Reducen de  $\alpha$  del triángulo ABC de la figura 4.



PIEZA N° 5 8 (u)

Figura 5

Figura 5



OCTAEDRO REGULAR CONVEXO

Radio de la esfera circunscrita:

$$r' = 110 \text{ m m.}$$



ENUNCIADO: Construir el modelo corpóreo del octaedro regular convexo, representado en la lámina 3 del ejercicio G.E.

DATO: Radio " $r_{ec}^8$ " de la esfera circunscrita al octaedro regular pedida

$$r_{ec}^8 = 110 \text{ m m.}$$

El modelo corpóreo que se estudia es de caras vaciadas, variante del modelo M-3.101, con sus mismas dimensiones y características siguientes:

Número de caras triangulares	$C_3 = 8$
Número de vértices	$V = 6$
Número de aristas	$A = 12$
Número de caras en cada vértice	$u_3$

Para la construcción de este modelo, se precisan las siguientes piezas:

PIEZA N° 1      CARAS SUPERFICIALES      8 unidades

Son triángulos equiláteros, cuyo lado  $l_3$  es igual al de la arista  $a_8$  del octaedro pedido.



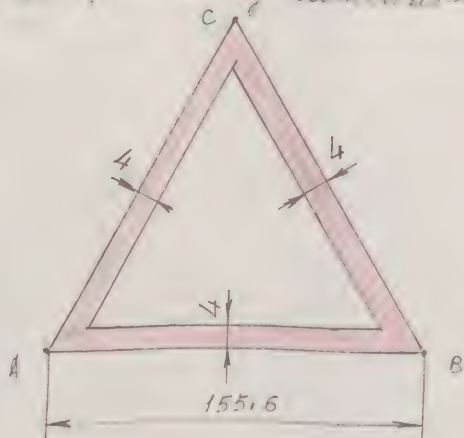


La altura es la distancia  $d_0$  de la vértice  $C$  del triángulo G.E. a la base  $AB$ .

$$r_{ec} = \frac{\sqrt{2}}{2} d_0 \quad \text{de donde} \quad d_0 = r_{ec} : \frac{\sqrt{2}}{2} = r_{ec} \times \frac{2}{\sqrt{2}} =$$

$$= r_{ec} \times \frac{2\sqrt{2}}{2} = r_{ec} \times \sqrt{2} \approx 1.4142 \times 110 \approx 155.6 \text{ mm}$$

La forma y dimensiones se representa en la figura 1.



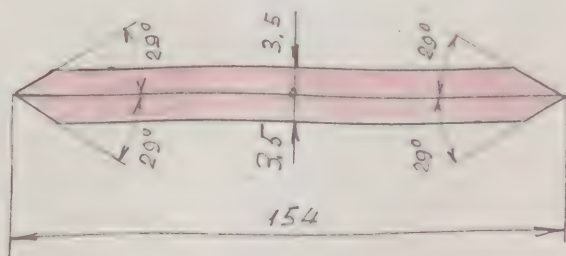
PIEZA N° 1 8 (v)

Figura 1

PIEZA N° 2

UNIONES ARISTAS 12 unidades

La longitud es ligeramente inferior a la de la arista  $d_0$  (ver fig. 1)  $d_0 = 155.6 \text{ mm}$ . La tomamos igual a  $154 \text{ mm}$ .



PIEZA N° 2 12 (u)

Figura 2

Figura 2



OCTAEDRO REGULAR CONVEXO

Radio de la esfera circunscrita:

$$r' = 76,1 \text{ mm}$$





ENUNCIADO: Construir el modelo corpóreo del octaedro regular convexo, representado en la lámina 3 del ejercicio G. E.

DATOS: Radio " $r_{ec}^8$ " de la esfera circunscrita al octaedro regular pedido.

$$r_{ec}^8 = 76.1 \text{ m m}$$

El modelo corpóreo que se estudia es de caras vaciadas, variante del modelo M-3.1, con sus mismas dimensiones y características siguientes:

Número de caras triangulares	$C_3 = 8$
Número de vértices	$V = 6$
Número de aristas	$A = 12$
Número de caras de cada vértice	4 $P_3$

Para la construcción de este modelo, se precisan las siguientes piezas:

PIEZA N° 1 - CARA TRIANGULAR = 8 unidades

Es un triángulo equilátero, cuyo lado  $l_3$  es igual a la aris-



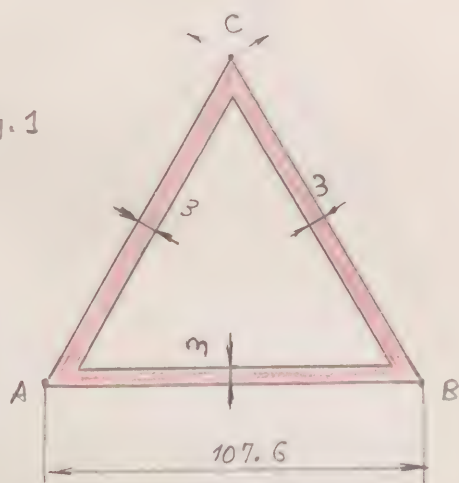
la  $a_8$  del octaedro pedido.

El valor se obtiene despejando " $a_8$ " de la fórmula n° del ejercicio G.E , o sea :

$$r_{ec}^8 = \frac{\sqrt{2}}{2} a_8 \text{ de donde } \boxed{a_8} = r_{ec}^8 : \frac{\sqrt{2}}{2} = r_{ec}^8 \times \sqrt{2} =$$

$$= 76,1 \times \sqrt{2} \cong 107,6216521... \cong \boxed{107,6 \text{ mm}}$$

Fig. 1



PIEZA N° 1 8 (U)

Figura 1

PIEZA N° 2 - UNIONES ARISTAS 12 unidades

La longitud es ligeramente inferior a la de la arista  $a_8$  (ver fig. 1;  $a_8 = 107,6 \text{ mm}$ ). - La tomamos igual a 106 mm.

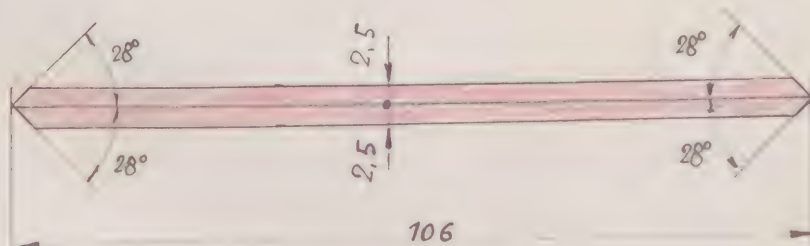


Fig. 2

PIEZA N° 2

Fig. 2

12 unidades



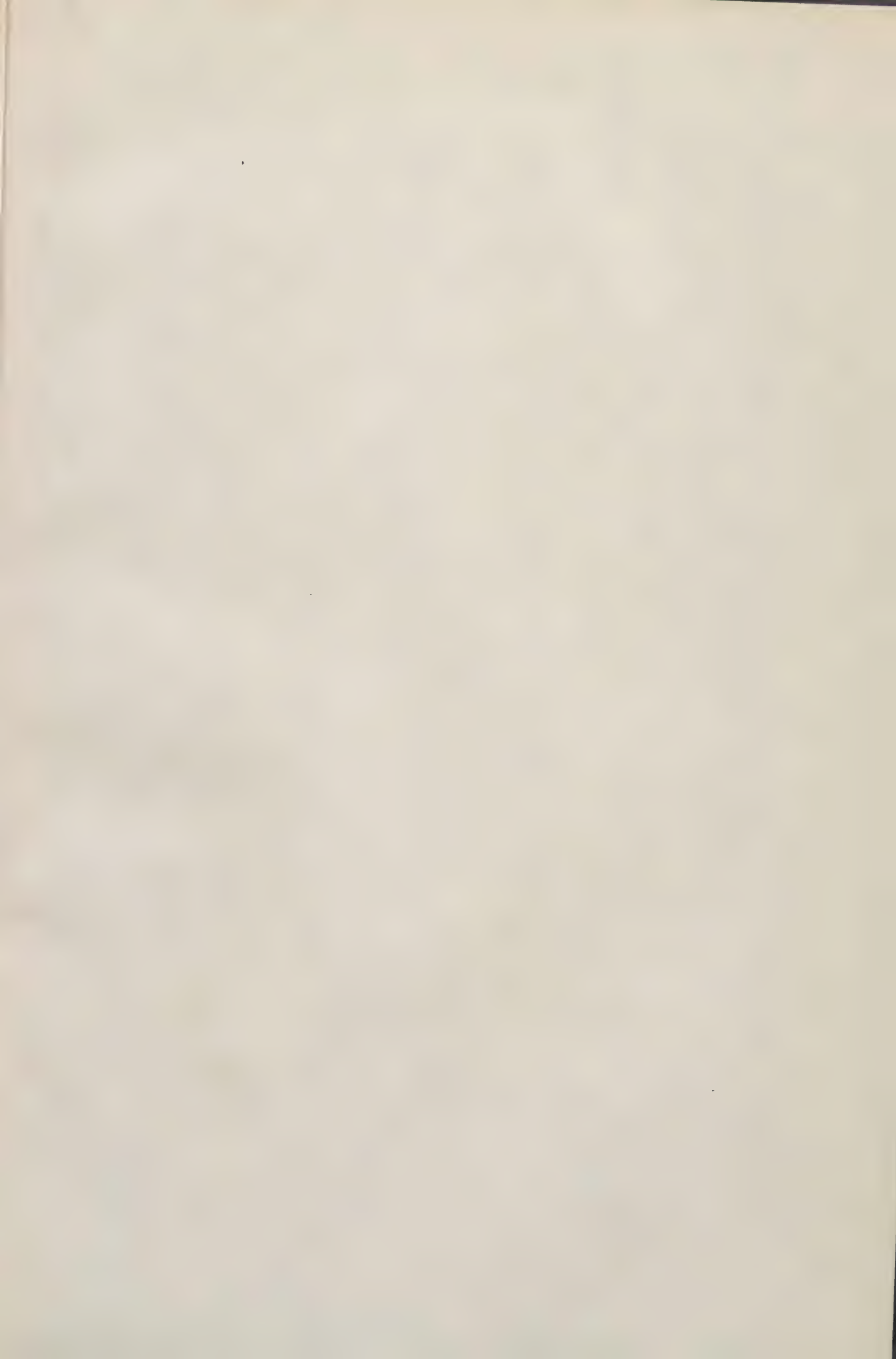


PIEZA 203 B Fig. 2











MODELO CORPÓREO DEL POLIEDRO CÓN-  
CAVO DE CARAS MACIZAS, OBTENIDO AL  
CONSTRUIR, SOBRE CADA CARA DE UN  
OCTAEDRO REGULAR CONVEXO, Y HA-  
CIA SU EXTERIOR, UN TETRAEDRO RE-  
GULAR CONVEXO, CUYAS ARISTAS SON  
IGUALES A LAS DEL OCTAEDRO GENE-  
RADOR.

Radio de la esfera circunscrita, que pasa por  
los vértices de los tetraedros regulares:

$$r' = 110 \text{ mm.}$$





ENUNCIADO: Construir el modelo corpóreo del poliedro cóncavo de caras macizas, obtenido al construir sobre cada cara de un octaedro regular convexo y hacia su exterior, un tetraedro regular convexo, cuyas aristas son iguales a las del octaedro generador.

Se tiene como dato único el del radio " $r_{ec}^8$ " de la esfera que contiene a los vértices de los tetraedros regulares constituido sobre cada cara del octaedro generador.

DATO: Radio máximo " $r_{ec}^8$ " de la esfera circunscrita al poliedro pedido:

$$r_{ec}^8 = 110 \text{ m m}$$

### 1) PROPIEDADES

De la definición de la generación del poliedro estudiado, enumeraremos las propiedades más importantes del mismo, algunas de las cuales son básicas para el cálculo de sus dimensiones.

D1) El poliedro se compone de ocho tetraedros regulares convexos, cuyas bases son triángulos equiláteros, (ca-



cas del octaedro generador, y sus caras laterales son también triángulos equiláteros. Estos tetraedros tienen las aristas de sus bases, comunes dos a dos.

P2) El número "C" de sus caras es:

$$C = 3 \times 8 = \underline{24} \quad (u)$$

El número "V" de sus vértices, es:

$$\begin{array}{rcl} \text{a) vértices de los tetraedros} & = & 8 \\ \text{vértices del octaedro} & = & 6 \\ \hline \text{Total} & = & \underline{14} \quad (u) \end{array}$$

El número "A" de sus aristas, es:

$$A = \frac{C \times 3}{2} = \frac{24 \times 3}{2} = \underline{36} \quad (u)$$

Observemos que aun siendo cóncavo este poliedro, verifica también el teorema de Euler para los cóncavos:

$$C + V = A + 2 \quad " \quad 24 + 14 = 36 + 2$$

P3) El radio " $r_{ec}^{\theta}$ " de la esfera circunscrita, es igual a la suma del radio " $r_{ei}^{\theta}$ " de la esfera inscrita al octaedro generador de arista " $a_8$ ", y de la altura " $h_4$ " del tetraedro correspondiente de igual arista " $a_8$ "; por consiguiente será:

$$r_{ec}^{\theta} = r_{ei}^{\theta} + h_4 \quad (1)$$



P4) Todas las caras de este poliedro son iguales, en forma de triángulos equiláteros de arista " $a_8$ " del octaedro generador.

Teniendo en cuenta las propiedades anteriores, vamos a hacer uso de ellas para aplicarlas al cálculo analítico de las magnitudes lineales, necesarias para la construcción del poliedro estudiado.

Como fórmulas previas, deducidas de otros ejercicios, recordemos las siguientes:

1º " $h_4$ " = Altura de los tetraedros regulares convexos, constituidos sobre cada cara del octaedro generador, de arista " $a_8$ "

$$h_4 = \frac{\sqrt{6}}{3} a_8 \quad (2)$$

(Ver ejercicio G.E. - Lámina 1)

2º " $r_{ei}^8$ " = Radio de la esfera inscrita en el octaedro regular convexo generador:

$$r_{ei}^8 = \frac{\sqrt{6}}{6} a_8 \quad (3)$$

(Ver ejercicio G.E. ... Lámina 3)





Substituyendo los valores (2) y (3) en (1), tendremos:

$$\boxed{r_{ec}^8} = r_{ei}^8 + h_u = \frac{\sqrt{6}}{6} a_8 + \frac{\sqrt{6}}{3} a_8 = \left( \frac{\sqrt{6}}{6} + \frac{\sqrt{6}}{3} \right) a_8 =$$

$$= \frac{\sqrt{6} + 2\sqrt{6}}{6} a_8 = \frac{3\sqrt{6}}{6} a_8 = \boxed{\frac{\sqrt{6}}{2} a_8}$$

De donde se obtiene finalmente,

$$\boxed{r_{ec}^8 = \frac{\sqrt{6}}{2} a_8} \quad (4)$$

Como el dato del ejercicio es " $r_{ec}^8$ ", para obtener " $a_8$ " en función de  $r_{ec}^8$ , despejaremos en (4) el valor de  $a_8$ , por lo que tendremos

$$\boxed{a_8} : r_{ec}^8 : \frac{\sqrt{6}}{2} = r_{ec}^8 \times \frac{2}{\sqrt{6}} = \frac{2\sqrt{6}}{6} r_{ec}^8 = \boxed{\frac{\sqrt{6}}{3} r_{ec}^8}$$

De donde se obtiene finalmente:

$$\boxed{a_8} = \frac{\sqrt{6}}{3} r_{ec}^8 \cong \boxed{0.816496581... r_{ec}^8} \quad (5)$$

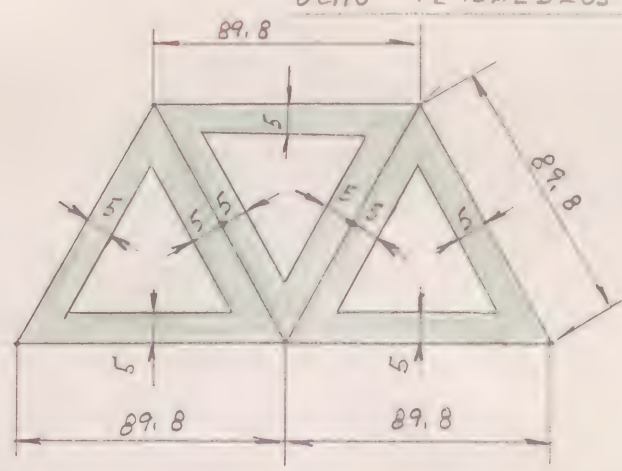
Aplicando la fórmula (5) al caso estudiado, para  $r_{ec}^8 = 110 \text{ mm}$ , tendremos:

$$\boxed{a_8} \cong 0.816496581... \times 110 \cong \boxed{89.8 \text{ mm}}$$

Para la construcción de este modelo, se precisan las siguientes piezas:



PIEZA N° 1 · DESARROLLO LATERAL DE CADA UNO DE LOS  
OCHO TETRAEDROS REGULARES CONVEXOS



8 unidades

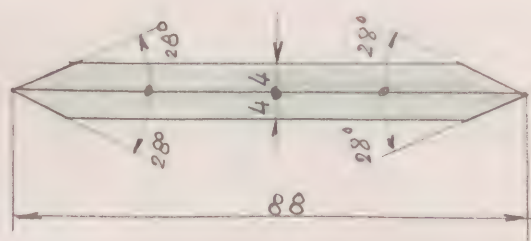
La forma y dimensiones se detallan en la figura 1

PIEZA N° 1      8 (u)

Figura 1

PIEZA N° 2      UNIONES ARISTAS      36 unidades

La forma y dimensiones se detallan en la figura 2



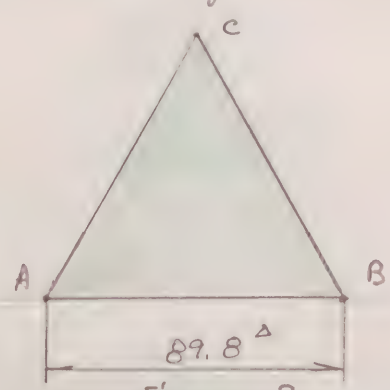
PIEZA N° 2      36 (u)

Figura 2

PIEZA N° 3      FORRO MACIZO DE LAS CARAS LATERALES

24 unidades

La forma y dimensiones se detallan en la figura 3



PIEZA N° 3      24 (u)

Figura 3





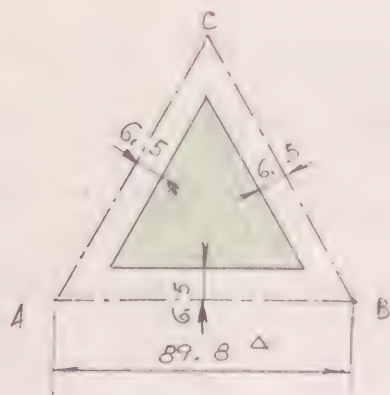
PIEZA N° 4REFUERZO TRASVERSAL CARAS LATERALES24 unidades

Figura 4

La forma y dimensiones se representan en la figura 4, y se deducen de las del triángulo ABC de la figura 3

PIEZA N° 4      24 (u)

Figura 4

PIEZA N° 5REFUERZO NORMAL DE LAS CARAS LATERALES48 unidades (simétricas 2 a 2)

La forma y dimensiones se detallan en la figura 5

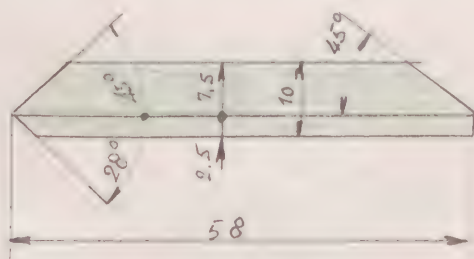


Figura 5

PIEZA N° 548 (u)

simétricas 2 a 2

Figura 5

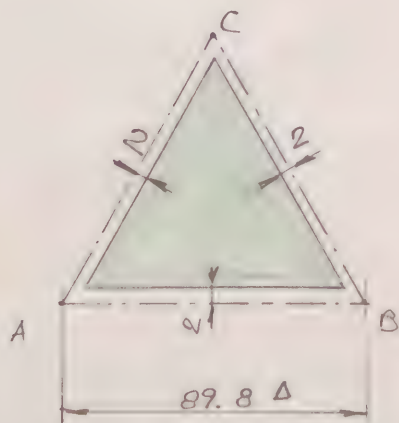
PIEZA N° 6FURRO COLOREADO EN CARAS LATERALES24 unidades

Figura 6

La forma y dimensiones se representan en la figura 6, y se deducen de las del triángulo ABC de la figura 3.

PIEZA N° 624 (u)

Figura 6



ESTUDIO COMPLEMENTARIO

El estudio de este modelo, cuya ley de generación se detalla en el enunciado, nos ha conducido a la obtención de un poliedro cóncavo, compuesto de ocho tetraedros regulares convexos, acoplados por las aristas inferiores de sus bases, que son comunes dos a dos.

Las aristas de este poliedro son todas de igual longitud, e iguales a su vez a las del octaedro regular generador " $a_g$ ".

Los vértices exteriores son puntos que equidistan del centro " $O$ " del octaedro generador (por ser la altura de los tetraedros regulares, perpendiculares a las respectivas caras del mencionado octaedro generador, y pasar por el centro de dichas caras).

Por consiguiente, dichos vértices están sobre una esfera común circunscrita al poliedro estudiado y son a su vez vértices de un exaedro regular convexo circunscrito a aquél. (El octaedro y exaedro regulares convexos, son conjugados entre sí).

En el estudio del exaedro regular convexo (Ver G.E. Lámina 2, obtenimos la fórmula

$$r_{ec}^6 = \frac{\sqrt{3}}{2} a_g \quad (1)$$

que nos da el valor de la longitud del radio " $r_{ec}^6$ " de la esfera circunscrita al exaedro regular convexo, en función de





la su arista " $a_6$ ", de la cual, despejando " $a_6$ ", podremos obtener la arista en función de " $r_{ec}^6$ ".

Así pues, tendremos:

$$\boxed{a_6} = r_{ec}^6 : \frac{\sqrt{3}}{2} = \frac{2}{\sqrt{3}} r_{ec}^6 = \boxed{\frac{2\sqrt{3}}{3} r_{ec}^6} \quad \text{de donde se obtiene finalmente}$$

$$\boxed{a_6} = \frac{2\sqrt{3}}{3} r_{ec}^6 \approx \boxed{1,15 \ 47 \ 00 \ 53 \ 9... \times r_{ec}^6}$$

que en el poliedro estudiado, será:

$$\boxed{a_6} \approx 1,15 \ 47 \ 00 \ 53 \ 9... \times 110 \approx \boxed{127 \text{ mm}}$$

Para obtener el poliedro resultante de este estudio complementario, puede utilizarse este mismo modelo M-3.3, completándolo con las aristas " $a_6$ " de las caras del octaedro regular convexo inscrito.

#### NOTA IMPORTANTE

Este modelo es exactamente igual al M-12.7 obtenido como intersección de dos tetraedros regulares convexos iguales, cuyas aristas se cortan perpendicularmente en sus puntos medios. Las longitudes de las aristas de los dos tetraedros regulares generadores son el doble de las del octaedro generador de este ( $a_4 = 2 a_8$ ) y su esfera circunscrita es la misma.





# PATRONES

Modelo M-3.3

PIEZA N° 6

24 (u)

M-3.3

PIEZA N° 1

8 (u)

M-3.3

PIEZA N° 4

24 (u)

M-3.3



EJEMPLO

VARIANTE DEL POLIEDRO CÓNCAVO

M-3.3, DE IGUAL FORMA Y DIMENSIONES, Y CONSTRUIDO: A) EL OCTAEDRO REGULAR CONVEXO, CON SUS CARAS MACIZAS; Y B) EL TETRAEDRO REGULAR CONVEXO, CON SUS CARAS VACIADAS.

Radio de la esfera circunscrita:

$$r' = 110 \text{ m m.}$$





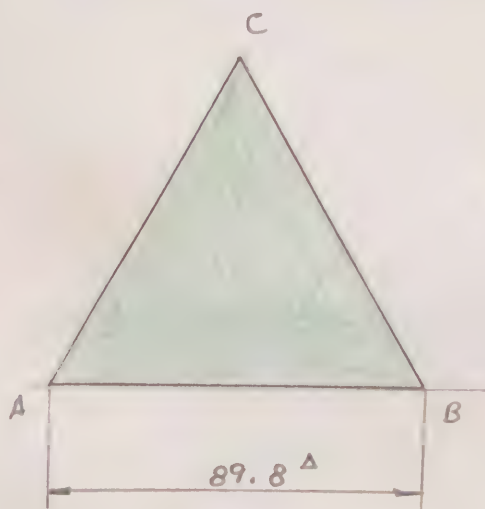
ENUNCIADO: Construir el modelo corpóreo de la variante del modelo M-3.3, de igual forma y dimensiones, y construido: A) El octaedro regular convexo, con sus caras macizas; y B) El tetraedro regular convexo, con sus caras vaciadas.

Las propiedades de este poliedro, así como sus dimensiones, son las enunciadas y calculadas en el mencionado modelo M-3.3.

Para la construcción de este modelo, son necesarias las siguientes piezas:

A) OCTAEDRO REGULAR CONVEXO, CON SUS CARAS MACIZAS Y ARISTA  $\alpha_8 = 89,8 \text{ mm}$

PIEZA N° 1 CARAS SUPERFICIALES 8 unidades



Son triángulos equiláteros. Su forma y dimensiones se detallan en la figura 1

PIEZA N° 1 8 (u)

Figura 1

Figura 1



PIEZA N° 2      REFUERZO NORMAL INTERIOR DE LAS CARAS LA-  
TERALES      8 unidades

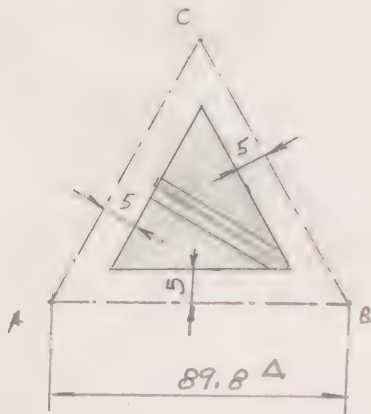


Figura 2

La forma y dimensiones se deducen de las del triángulo ABC de la figura 1, y se detallan en la figura 2

PIEZA N° 2      8 (u)

Figura 2

PIEZA N° 3      REFUERZO TRANSVERSAL INTERIOR DE LAS  
CARAS LATERALES      16 unidades (simétricas 2x2)

La forma y dimensiones se detallan en la figura 3

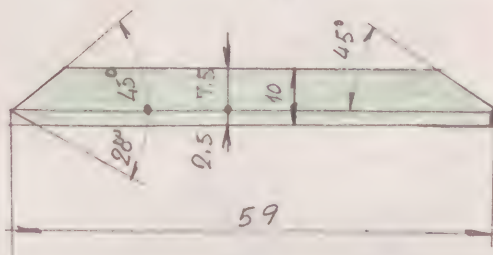


Figura 3

PIEZA N° 3      16 (u)

Figura 3

PIEZA N° 4      UNIONES ARISTAS      12 unidades

La forma y dimensiones se detallan en la figura 4

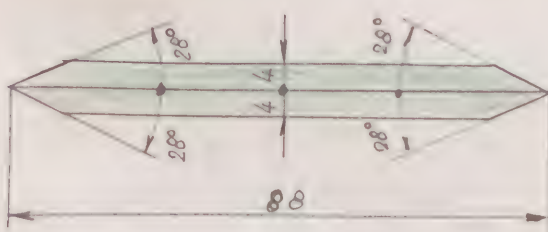


Figura 4

PIEZA. N° 4      12 (u)

Figura 4





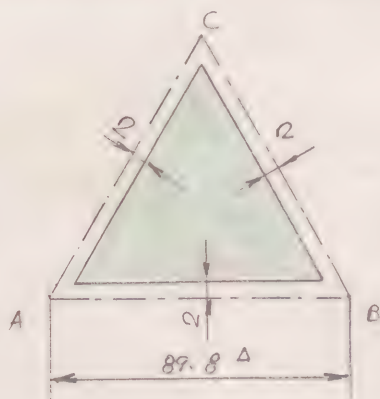
PIEZA N° 5FORDO COLOREADO8 unidades

Figura 5

La forma y dimensiones se deducen de las del triángulo ABC de la figura 1, y se detallan en la figura 5

PIEZA N° 58 (11)

Figura 5

B) TETRAEDRO REGULAR CONVEXO, CON SUS CARAS VACIADAS.DE A DISTA

$$\alpha_8 = 89,8 \text{ m m}$$

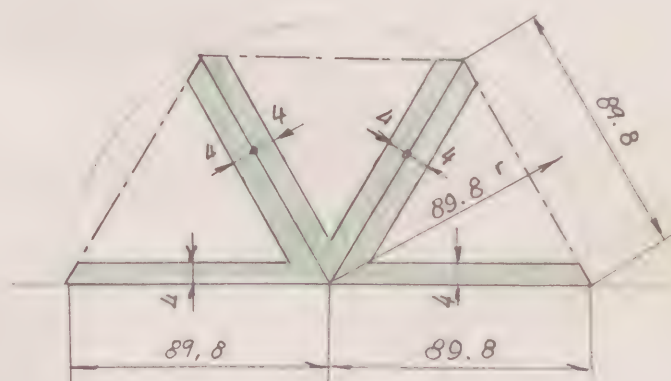
PIEZA N° 6DESARROLLO LATERAL DEL TETRAEDRO REGULARCONVEXO8 unidades

Figura 6

La forma y dimensiones se detallan en la figura 6

PIEZA N° 68 (4)

Figura 6

PIEZA N° 7UNIONES ARISTAS24 unidades

La forma y dimensiones se detallan en la figura 7

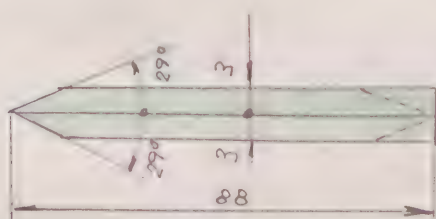


Figura 7

PIEZA N° 724 (11)

Figura 7





NOTA IMPORTANTE

Este modelo es exactamente igual al Modelo M-19.1, que se obtuvo como demostración de que el sólido común de la intersección de dos tetraedros regulares convexos, iguales entre sí y conjugados por sus aristas, es un octaedro regular convexo. La arista del octaedro regular de dicho sólido común o núcleo, es la mitad de las de los tetraedros generadores.

El radio " $r_{ec}$ " de la esfera circunscrita a los modelos corpóreos M-19.1 y M-3.4, son de igual longitud

$$(r_{ec}^4 = r_{ec}^6 = 110 \text{ mm}).$$



PATRONES

MODELO

M - 3.4



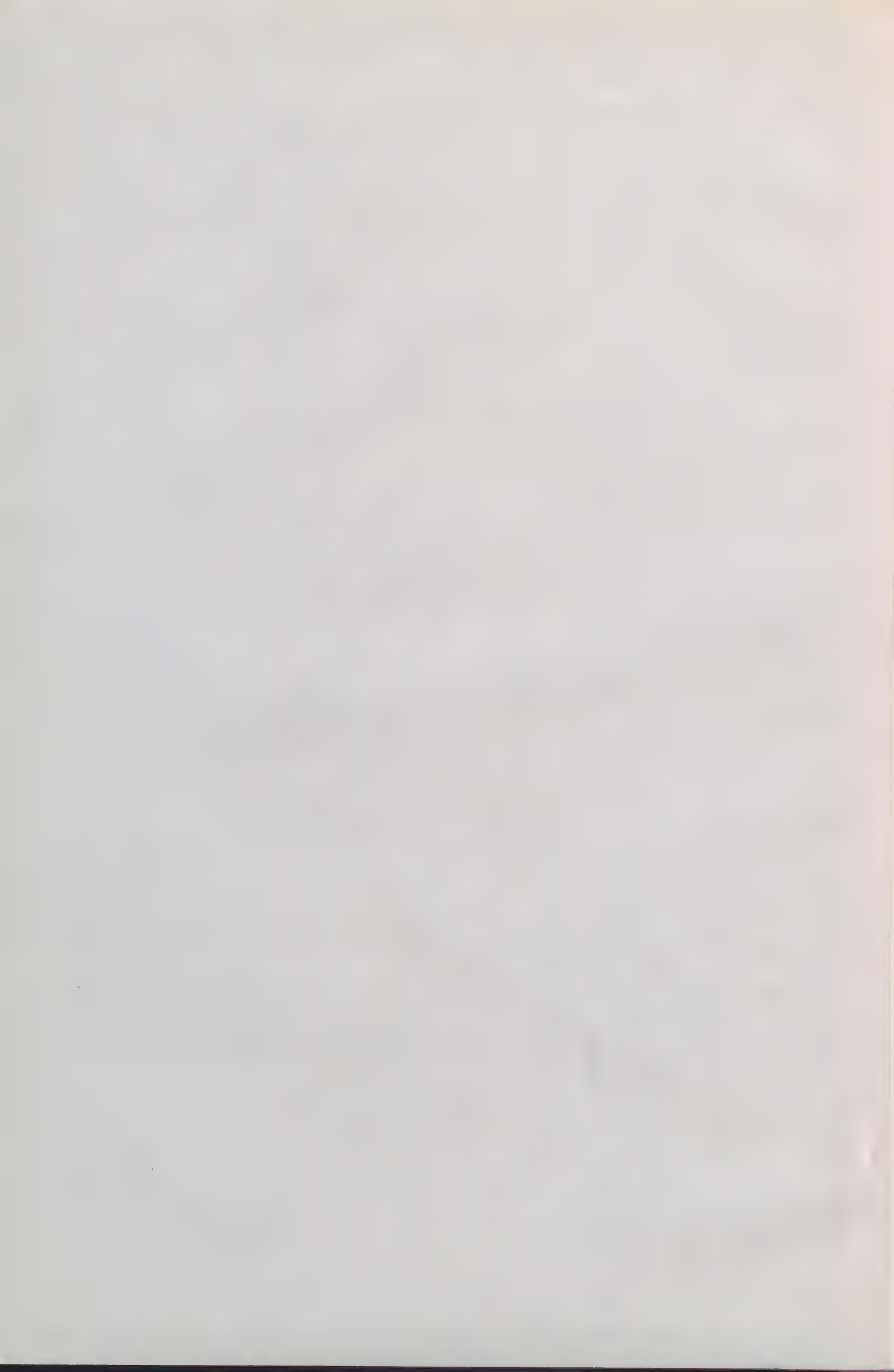




MODELO CORPÓREO DEL POLIEDRO CÓN-  
CAVO DE CARAS MACIZAS, OBTENIDO AL  
CONSTRUIR SOBRE CADA CARA DE UN  
OCTAEDRO REGULAR CONVEXO, Y HACIA  
SU EXTERIOR, UN PRISMA TRIANGULAR,  
REGULAR RECTO, CUYA BASE ES DI-  
CHA CARA, Y SUS CARAS LATERALES  
SON CUADRADOS.

Radio de la esfera circunscrita:

$$r' = 110 \text{ m m.}$$



ENUNCIADO: Construir el modelo corpóreo del poliedro con-  
sisto de caras macizas, obtenido al construir sobre  
cada cara de un octaedro regular convexo, y  
hacia su exterior, un prisma regular trian-  
gular recto, cuya base es dicha cara, y sus ca-  
ras laterales son cuadrados.

Se tiene, como dato inicial el del radio " $r_{ec}^8$ " de la es-  
fera circunscrita, que contiene todos los vértices exteriores (vértices  
de los triángulos equiláteros de las bases del prisma opuestas  
a las caras del octaedro generador).

$$r_{ec}^8 = 110 \text{ m m}$$

#### 1) PROPIEDADES

De la definición de este poliedro, se deducen las siguien-  
tes propiedades, que enunciaremos a continuación, siendo  
algunas de ellas, básicas para el cálculo de sus dimensiones.

P 1.) Los prismas rectos construidos sobre cada cara del oc-  
taedro generador, son de bases triangulares, equilá-  
teros, siendo a su vez cuadrados las caras laterales; por  
consecuente, dichos prismas serán rectos, triangulares, re-  
gulares y convexos, siendo sus aristas iguales a la

*(Firma)*

Febrero 1980



" $a_8$ " del octaedro generador.

P. 2.) El poliedro pedido, se compone de ocho prismas rectos triangulares, regulares y convexos, que tienen las aristas " $a_8$ " de sus bases inferiores, comunes dos a dos.

P. 3.) El número de sus caras, será:

$$C_3 = 1 \times 8 = 8 \text{ caras triangulares}$$

$$C_4 = 3 \times 8 = 24 \text{ caras cuadradas}$$

$$\underline{\underline{\text{Total} = 32 \text{ caras}}}$$

El número de sus vértices, será:

$$\text{en las bases superiores} = 3 \times 8 = 24$$

$$\text{en las bases inferiores} = \underline{6}$$

$$\underline{\underline{\text{Total} = 30 \text{ vértices}}}$$

El número de aristas, será:

$$\text{en las bases superiores} = 3 \times 8 = 24$$

$$\text{en las bases inferiores} = \frac{1}{2} \times 3 \times 8 = 12$$

$$\text{en las caras laterales} = 3 \times 8 = 24$$

$$\underline{\underline{\text{Total} = 60 \text{ aristas}}}$$

En resumen, este poliedro tiene:

$$C = 32 \text{ caras}$$

$$V = 30 \text{ vértices}$$

$$A = 60 \text{ aristas}$$

y verifica también el teorema de Euler para poliedros convexos:





$$C + V = 32 + 30 = 62 = A + 2 = 60 + 2$$

P. 4) La altura " $h_3$ " del prisma recto, regular, triangular, construido sobre cada cara del octaedro generador, de arista " $\alpha_8$ ", es:

$$h_3 = \alpha_8$$

(1)

P. 5) Si unimos un vértice "V" de la base superior del prisma recto anterior, con el centro "C" del triángulo de dicha base; a continuación éste con el centro "O" del octaedro generador, y finalmente "V" con "O", se nos formará el triángulo rectángulo "VCO" de ángulo recto "C" en el que la hipotenusa "VO" será el radio " $r_{ec}$ " de la esfera circunscrita al poliedro estudiado; el cateto "VC" será el radio " $r_{c-3}$ " de la circunferencia circunscrita a la cara triangular exterior; el otro cateto "CO" es la suma del radio " $r_{ei}^8$ " de la esfera inscrita en el octaedro generador, y la altura " $h_3$ " del prisma. Así pues será:

$$\overline{VO} = r_{ec} \quad \overline{VC} = r_{c-3} \quad \text{y} \quad \overline{CO} = r_{ei}^8 + h_3$$

verificándose que:

$$\overline{VO}^2 = \overline{VC}^2 + \overline{CO}^2 \quad (2)$$

donde substituyendo valores, será:

Alvarez

Febrero 1980



$$r_{ec} = \sqrt{(r_{c-3})^2 + (r_{ei}^8 + h_3)^2} \quad (2)$$

Para desarrollar la fórmula (3), sustituiremos en ella los siguientes valores en función de " $a_8$ ":

1º) " $r_{c-3}$ " = Radio de la circunferencia circunscrita a la base triangular exterior del prisma recto, de lado  $l_3 = a_8$

$$r_{c-3} = \frac{\sqrt{3}}{3} a_8 \quad (4)$$

(Ver ejercicio G.P. 1.400-42)

2º) " $r_{ei}^8$ " = Radio de la esfera inscrita al octaedro generador, en función de su arista " $a_8$ "

$$r_{ei}^8 = \frac{\sqrt{6}}{6} a_8 \quad (5)$$

(Ver ejercicio G.E. Lámina 3).

$$h_3 = a_8 \quad (6)$$

(Ver fórmula (1) de este ejercicio)

Sustituyendo en (3) los valores (4), (5) y (6), tendremos:

$$\begin{aligned} r_{ec} &= \sqrt{\left(\frac{\sqrt{3}}{3} a_8\right)^2 + \left[\left(\frac{\sqrt{6}}{6} a_8 + a_8\right)^2\right]} = \sqrt{\left(\frac{\sqrt{3}}{3}\right)^2 + \left[\frac{\sqrt{6}}{6} + 1\right]^2} a_8 = \\ &= \sqrt{\frac{3}{9} + \left[\frac{6}{36} + 1 + \frac{2\sqrt{6}}{6}\right]} a_8 = \sqrt{\frac{1}{3} + \frac{1}{6} + 1 + \frac{\sqrt{6}}{3}} a_8 = \sqrt{\frac{2 + 1 + 6 + 2\sqrt{6}}{6}} a_8 = \end{aligned}$$





$$= \sqrt{\frac{9 + 2\sqrt{6}}{6}} a_8$$

de donde se obtiene finalmente:

$$r_{ec} = \sqrt{\frac{9 + 2\sqrt{6}}{6}} a_8 \quad (7)$$

Despejando en la fórmula (7) el valor de " $a_8$ ", tendremos:

$$a_8 = r_{ec} : \sqrt{\frac{9 + 2\sqrt{6}}{6}} = \frac{1}{\sqrt{\frac{9 + 2\sqrt{6}}{6}}} \times r_{ec} = \sqrt{\frac{6}{9 + 2\sqrt{6}}} r_{ec} =$$

$$= \sqrt{\frac{6 \times (9 - 2\sqrt{6})}{81 - 24}} r_{ec} = \sqrt{\frac{6 \times (9 - 2\sqrt{6})}{57}} r_{ec} = \sqrt{\frac{2 \times (9 - 2\sqrt{6})}{19}} r_{ec} = \sqrt{\frac{18 - 4\sqrt{6}}{19}} r_{ec} \approx$$

$$\approx 0,657028439... \times r_{ec} \quad (8)$$

Fórmula (8) que nos permite calcular la arista " $a_8$ " del poliedro estudiado (que es a su vez la arista del octaedro generador), en función del radio " $r_{ec}$ " de la esfera circunscrita a aquél ( $r_{ec} = 110 \text{ mm}$ ). Con ello podremos construir los polígonos que forman sus caras (triángulos equiláteros y cuadrados de igual lado;  $l_3 = l_4 = a_8$ ).

En el modelo estudiado, será:

$$a_8 = \sqrt{\frac{18 - 4\sqrt{6}}{19}} r_{ec} \approx 0,657028439... \times 110 = 72,3 \text{ mm}$$

Dicho modelo, de caras macizas, se compondrá de las siguientes piezas:

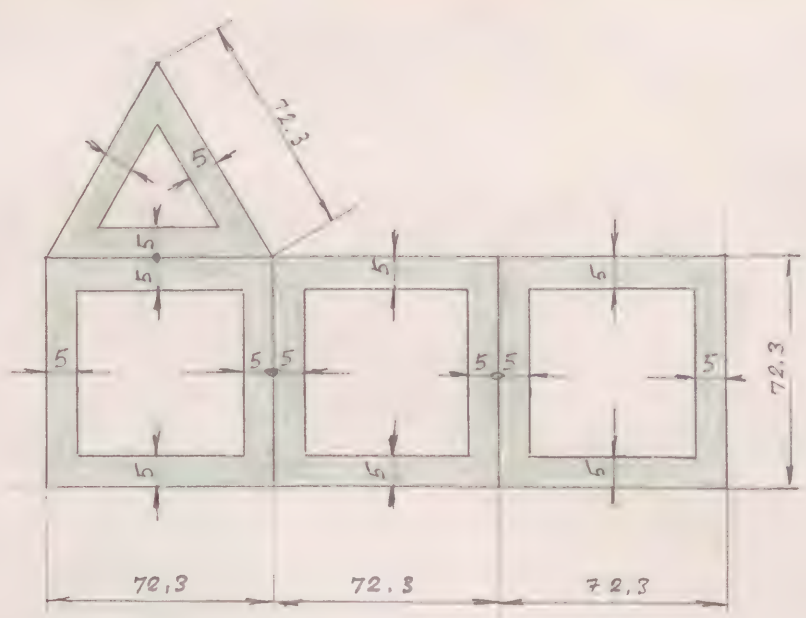
PIEZA N° 1      DESARROLLO LATERAL Y BASE SUPERIOR DEL

PRISMA RECTO TRIANGULAR

8 unidades

La forma y dimensiones se detallan en la figura 1.





PIEZA N° 1

8 (u)

Figura 1

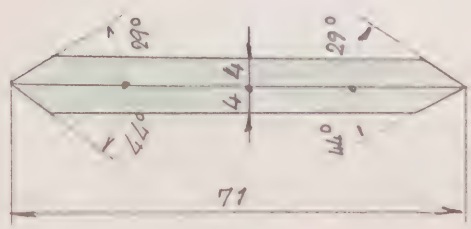
FIGURA 1

PIEZA N° 2

UNIONES ARISTAS

60 unidades

La forma y dimensiones se detallan en la figura 2



PIEZA N° 2

60 (u)

Figura 2

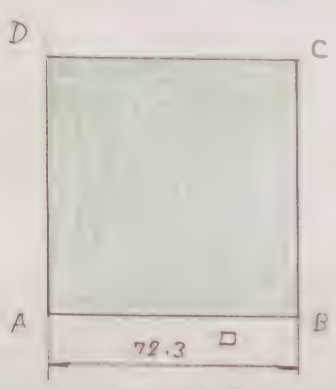
FIGURA 2

PIEZA N° 3

FORRO MACIZO DE LAS CARAS LATERALES DEL PRISMA

RECTO TRIANGULAR

24 unidades



Los cuadrados, cuya forma y dimensiones se detallan en la figura 3.

PIEZA N° 3

24 (u)

Figura 3

FIGURA 3



PIEZA N° 4 FORDO MACIZO DE LA BASE SUPERIOR DEL PRISMA RECTO TRIANGULAR 8 unidades

Es un triángulo equilátero, cuya forma y dimensiones se detalla en la figura 4

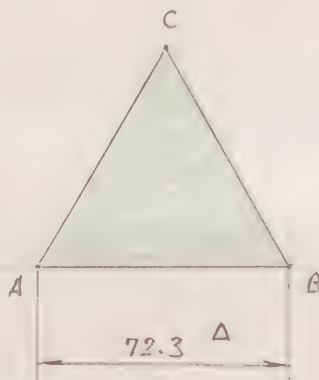


Figura 4

PIEZA N° 4 8 (u)

Figura 4

PIEZA N° 5 REFUERZO NORMAL INTERIOR DE LAS CARAS LATERALES DEL PRISMA RECTO TRIANGULAR.

24 unidades

La forma y dimensiones se deducen de las del cuadrado ABCD de la figura 3, y se detallan en la figura 5

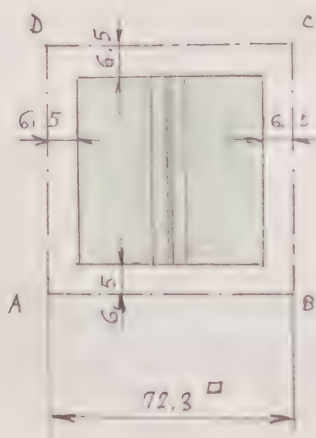


Figura 5

PIEZA N° 5 24 (u)

Figura 5





PIEZA N° 6

REFUERZO TRANSVERSAL INTERIOR DE LAS CARAS LATERALES DEL PRISMA RECTO TRIANGULAR 48 unidades

La forma y dimensiones se detallan en la figura 6; en colocación en la figura 5.

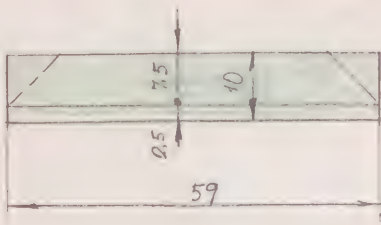


Figura 6

PIEZA N° 6 48 (u)

Figura 6

PIEZA N° 7

REFUERZO NORMAL INTERIOR DE LA BASE SUPERIOR DEL PRISMA RECTO TRIANGULAR 8 unidades

La forma y dimensiones se detallan en la figura 7

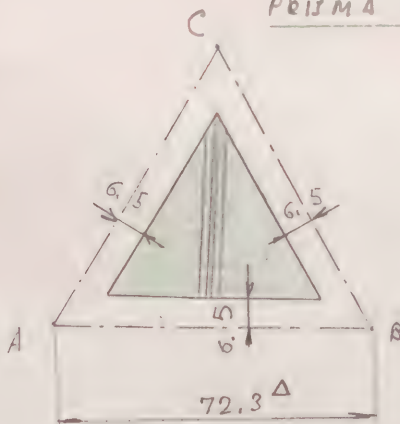


Figura 7

PIEZA N° 7 8 (u)

Figura 7

PIEZA N° 8

REFUERZO TRANSVERSAL INTERIOR DE LA BASE SUPERIOR DEL PRISMA RECTO TRIANGULAR

16 unidades

La forma y dimensiones se detallan en la figura 8, y en colocación en la fig. 7

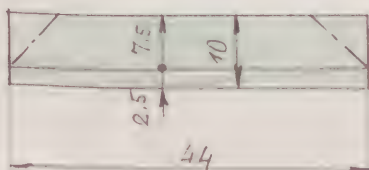


Figura 8

PIEZA N° 8 16 (u)

Figura 8



PIEZA Nº 9 FORRO COLOREADO EN LAS CARAS LATERALES DEL  
PRISMA RECTO TRIANGULAR 24 unidades

La forma y dimensiones se deducen de las del cuadrado ABCD de la figura 8, y se detallan en la figura 9

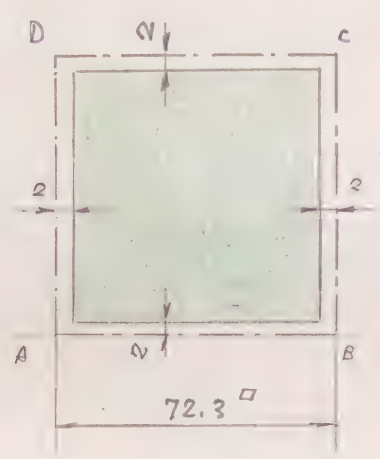


Figura 9

PIEZA Nº 9 24 (u)

Figura 9

PIEZA Nº 10 FORRO COLOREADO EN LA BASE SUPERIOR DEL  
PRISMA RECTO TRIANGULAR 8 unidades

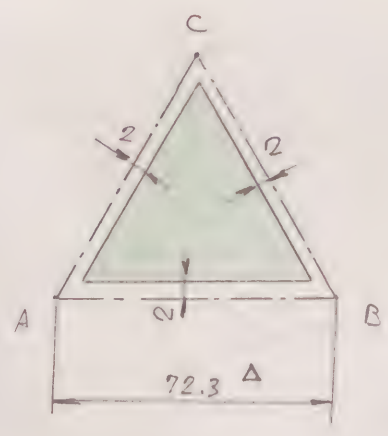


Figura 10

La forma y dimensiones se detallan en la figura 10, y se deducen de las del triángulo ABC de la figura 10

PIEZA Nº 10 8 (u)

Figura 10





ESTUDIO COMPLEMENTARIO

El estudio de este modelo, cuya ley de generación se detalla en su enunciado, nos ha conducido a la obtención de un poliedro cóncavo, compuesto de ocho prismas rectos triangulares, regulares, acoplados por las aristas inferiores de sus bases, que son comunes dos a dos.

Las aristas de este poliedro, todas de igual longitud, e iguales a las del octaedro regular convexo generador " $\alpha_0$ " son de dos clases. En la primera se incluyen las correspondientes a las dos bases de cada prisma triangular, y en la segunda, las de las caras laterales de dichos prismas.

En cada arista de las bases superiores, concurren una cara triangular (la propia base superior) y otra cuadrada (cara lateral del prisma), perpendiculares entre sí. En cada arista de las bases inferiores, concurren dos caras cuadradas, y el diedro " $2\beta$ ", formado por ellas, es suplementario al diedro " $2\varphi$ " de dos caras contiguas del octaedro generador, ya que los respectivos lados de sus rectilíneos correspondientes, son perpendiculares entre sí, en su la caras laterales de los prismas triangulares, perpendiculares a las del octaedro generador.

Si unimos ahora convenientemente dos a dos los vértices de los triángulos de las bases superiores de los prismas triangulares obtendremos seis caras cuadradas iguales, asociadas a cada vértice del octaedro generador, y otras doce caras rectangulares asociadas a cada arista del mencionado octaedro ge-

Alvarez

Febrero 1980



generador.

Estas nuevas caras, juntamente con las de las bases superiores de los prismas triangulares, forman un poliedro convexo de las siguientes características:

- a) Caras triangulares regulares = 8
- b) Caras cuadradas = 6
- c) Caras rectangulares = 12
- Total = 26 caras

- d) Aristas de las caras a) =  $\frac{8 \times 3}{2} = 12$
- e) Aristas de las caras b) =  $\frac{6 \times 4}{2} = 12$
- f) Aristas de las caras c) =  $\frac{12 \times 4}{2} = 24$
- Total = 48 aristas

g) Vértices =  $8 \times 3 = 24$  vértices

Verificándose el teorema de Euler para los poliedros convexos

$$C + V = A + 2 \quad 26 + 24 = 48 + 2 = 50$$

Las caras cuadradas tienen un lado  $l_u$  de mayor longitud que la de la arista  $a_8$  del octaedro generador

$l_u > a_8$

(1)





Las caras rectangulares tienen dos de sus lados iguales a las aristas  $a_8$  (los correspondientes a las caras contiguas a las bases superiores de los prismas triangulares); y los otros dos, iguales a  $l_4 > a_8$  (los correspondientes a las caras contiguas cuadradas).

La longitud de la arista " $l_4$ ", se deduce del cálculo siguiente, basado en las consideraciones anteriores.

En efecto: Consideremos la sección recta producida por un plano perpendicular a una arista cualquiera de las bases inferiores del prisma triangular regular, y dada en el extremo de dicha arista.

Esta sección se detalla en la figura 11, en la que aparece el ángulo rectilíneo " $2\varphi$ " del diedro formado por dos caras contiguas del octaedro generador, y las dos aristas  $\overline{OA}$  y  $\overline{OB}$ , de dos prismas triangulares regulares que forman el ángulo " $2\beta$ ", rectilíneo de dicho diedro suplementario del " $2\varphi$ ".

Si tomamos ahora las longitudes:  $\overline{OA} = \overline{OB} = a_8$ , el segmento  $\overline{AB}$ , será el lado " $l_4$ " de las caras rectangulares, y al mismo tiempo igual al lado mayor de las caras rectangulares (ver fórmula (1)).

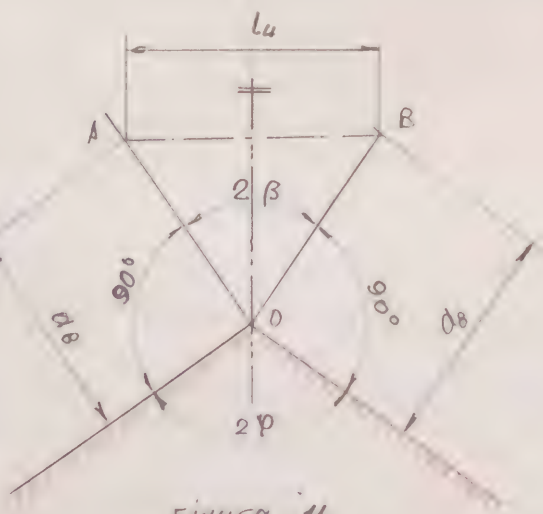


Figura 11





En el estudio del sólido angular convexo (ver Edmundo 9), obtenimos el valor del ángulo  $\varphi$  por la siguiente fórmula:

$$\text{sen } \varphi = \frac{\sqrt{6}}{3} \quad \text{y de aquí:}$$

$$\varphi = \text{arc sen } \frac{\sqrt{6}}{3} = 54^{\circ}, 73' 56'' 10 33 \quad \text{de donde}$$

$$2\varphi = 109^{\circ}, 47' 12'' 20 7 = 109^{\circ} 28' 16'', 39 45 2 \quad \text{de donde}$$

$$2\beta = 180^{\circ} - 2\varphi = 180^{\circ} - 109^{\circ}, 47' 12'' 20 7 = 70^{\circ}, 52' 87 79 30 \quad \text{y luego}$$

$$\beta = 35^{\circ}, 26' 43 89 65 = 35^{\circ} 15' 51'', 80 384$$

En la figura 11, se deduce:

$$\overline{AB} = 2 \times (\overline{AO} \text{ sen } \beta) = 2 \text{ sen } \beta \cdot a_8 = 2 \times 0,5773' 50 26 9 \times a_8 =$$

$$= \boxed{1,15 47 00 53 8 \dots \times a_8} = 1,15 47 00 53 8 \times 0,75 77 53 73 1 \dots \times 110 =$$

$$= 0,87 49 78 64 1 \dots \times 110 = \boxed{96,2 \text{ mm}} \quad \text{por lo que tendremos finalmente:}$$

$$\overline{AB} = l_4 = \boxed{1,15 47 00 53 8 \dots \cdot a_8} \quad (2)$$

De la fórmula (2) se deduce que la arista  $l_4$  es mayor que la  $a_8$  (aproximadamente un 15% de  $a_8$ )

El modelo corpóreo del poliedro convexo que se obtendría como consecuencia de este estudio complementario, podría parecer, en principio, igual al desarrollado en el estudio del Arquímico.



dicano V (Figura 37), compuesto de:

- (1) 8 caras triangulares equiláteras
- (2) 18 caras cuadradas
- (3) 24 vértices
- (4) 48 aristas

y concurren en cada vértice:  $1 C_3 + 3 C_4$

Las condiciones (1), (3) y (4) se cumplen en el poliedro estudiado, pero no la (2), en el que existen 6 caras cuadradas de lado  $l_u > a_0$  y 12 caras rectangulares de lados  $a_0$  y  $l_u$  por lo que las 6 caras cuadradas son mayores que las de (2).

Tampoco son iguales entre sí todas las aristas (unas tienen la longitud de  $a_0$  y otras la de  $l_u > a_0$ ).

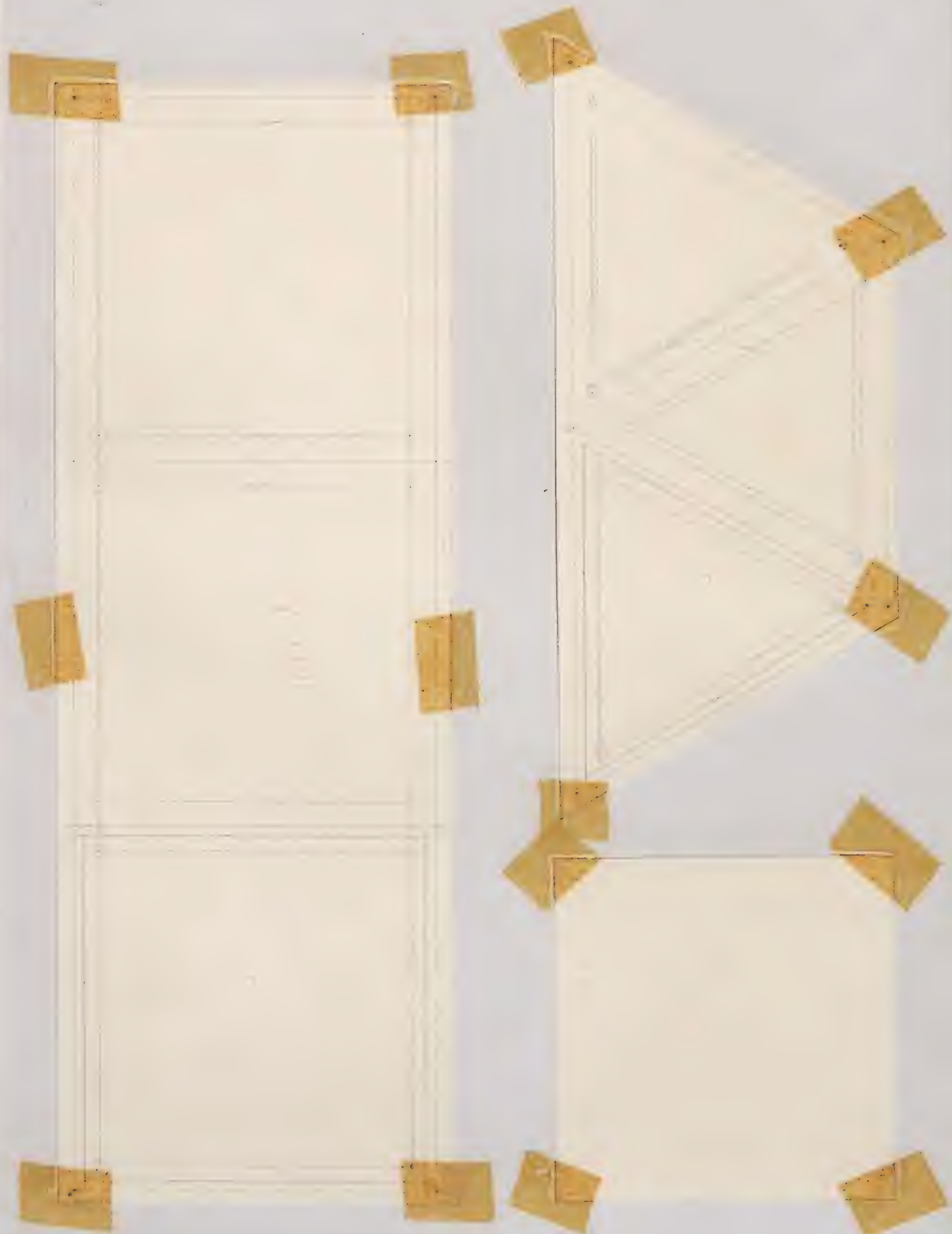
En resumen el poliedro estudiado en este estudio complementario "no es un Arquimediano V", aun cuando puede ser confundido a primera vista con éste.

Para obtener este poliedro, puede utilizarse este mismo modelo M-3.5, completándolo con las aristas  $l_u = 96.2 \text{ mm}$ , de las caras rectangulares, que es lo que hemos realizado en dicho modelo con póreo.





PATRONES





## EJECUTIVO

VARIANTE DEL POLIEDRO CÓNCAVO M-3.5,  
DE IGUAL FORMA Y DIMENSIONES, Y CONS-  
TRUIDO: A) EL OCTAEDRO REGULAR CON-  
VEXO GENERADOR, CON SUS CARAS MACI-  
ZAS, Y B) EL PRISMA RECTO TRIANGULAR  
REGULAR, CON SUS CARAS VACIADAS.

Radio de la esfera circunscrita:

$$r' = 110 \text{ m m.}$$



ENUNCIADO: Construir el modelo corpóreo de la variante del poliedro cóncavo M-3.5, de igual forma y dimensiones, y construido: A) El octaedro regular convexo generador, con sus caras macizas; y B) El prisma recto regular, con sus caras vaciadas.

Las propiedades de este poliedro, así como sus dimensiones, son las enunciadas y calculadas en el mencionado modelo M-3.5.

Para la construcción de este modelo, son necesarias las siguientes piezas:

A) OCTAEDRO REGULAR CONVEXO, DE CARAS MACIZAS Y  
ARISTA DE 72.3 mm

PIEZA N° 1      CARAS SUPERFICIALES      8 unidades

Los triángulos equiláteros, su forma y dimensiones se detallan en la figura 1.

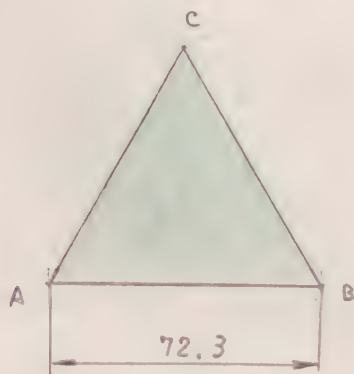


Figura 1

PIEZA N° 1      8 (cr)

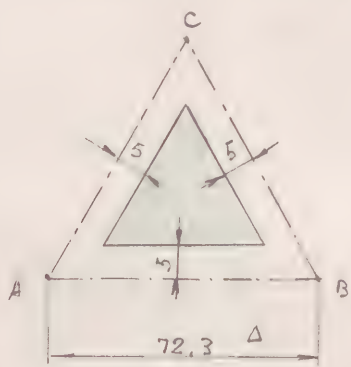
Figura 1





PIEZA N° 2    REFUERZO NORMAL INTERIOR DE LAS CARAS  
SUPERFICIALES                      8 unidades

La forma y dimensiones se deducen de las del triángulo ABC de la figura 1, y se detallan en la figura 2

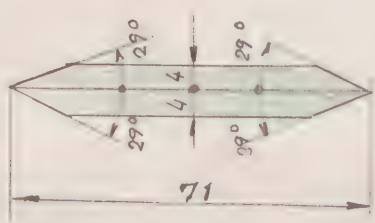


PIEZA N° 2                      8 (u)

Figura 2

PIEZA N° 3                      UNIONES ARISTAS                      12 unidades

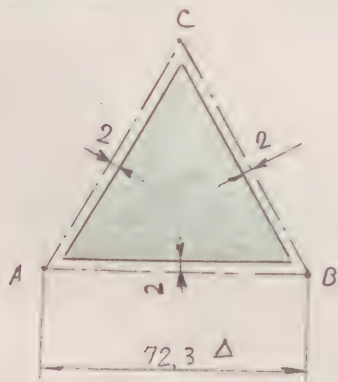
La forma y dimensiones se detallan en la figura 3



PIEZA N° 3                      12 (u)

Figura 3

PIEZA N° 4                      FORRO COLOREADO                      12 unidades



La forma y dimensiones se deducen de las del triángulo ABC de la figura 1, y se detallan en la figura 4

PIEZA N° 4                      12 (u)

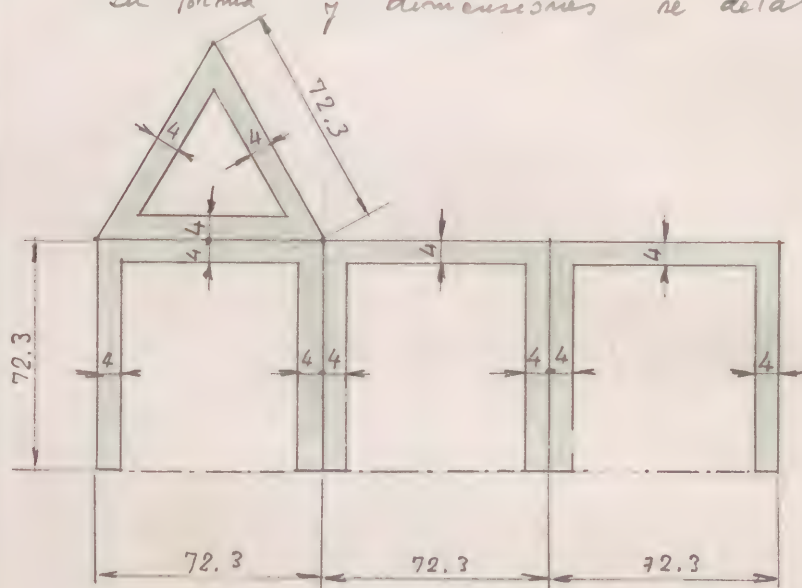
Figura 4



B) PRISMA TRIANGULAR RECTO DE CARAS LATERALES CUADRADAS, CON SUS CARAS VACIADAS, DE ARISTA  $a_2 = 83.4$  mm.

PIEZA N° 5 DESIARROLLO LATERAL Y BASE SUPERIOR DEL  
PRISMA RECTO TRIANGULAR 8 unidades

La forma y dimensiones se detallan en la figura 5



PIEZA N° 5

8 (u)

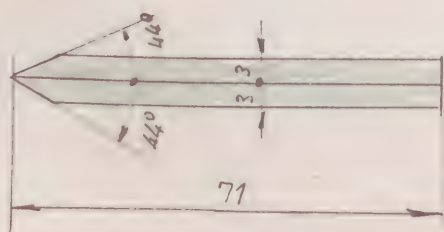
Figura 5

Figura 5

PIEZA N° 6 UNIONES ARISTAS EN CARAS LATERALES

24 unidades

La forma y dimensiones se detallan en la figura 6



PIEZA N° 6 24 (u)

Figura 6

Figura 6

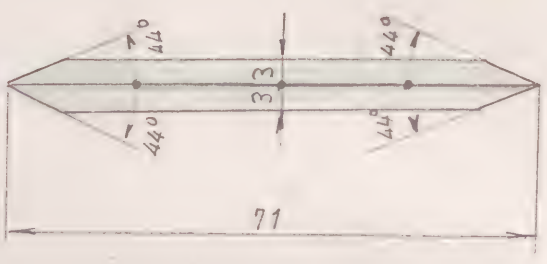




PIEZA N° 7 " UNIONES ARISTAS EN BASES SUPERIORES

24 unidades

La forma y dimensiones se detallan en la figura 7



PIEZA N° 7

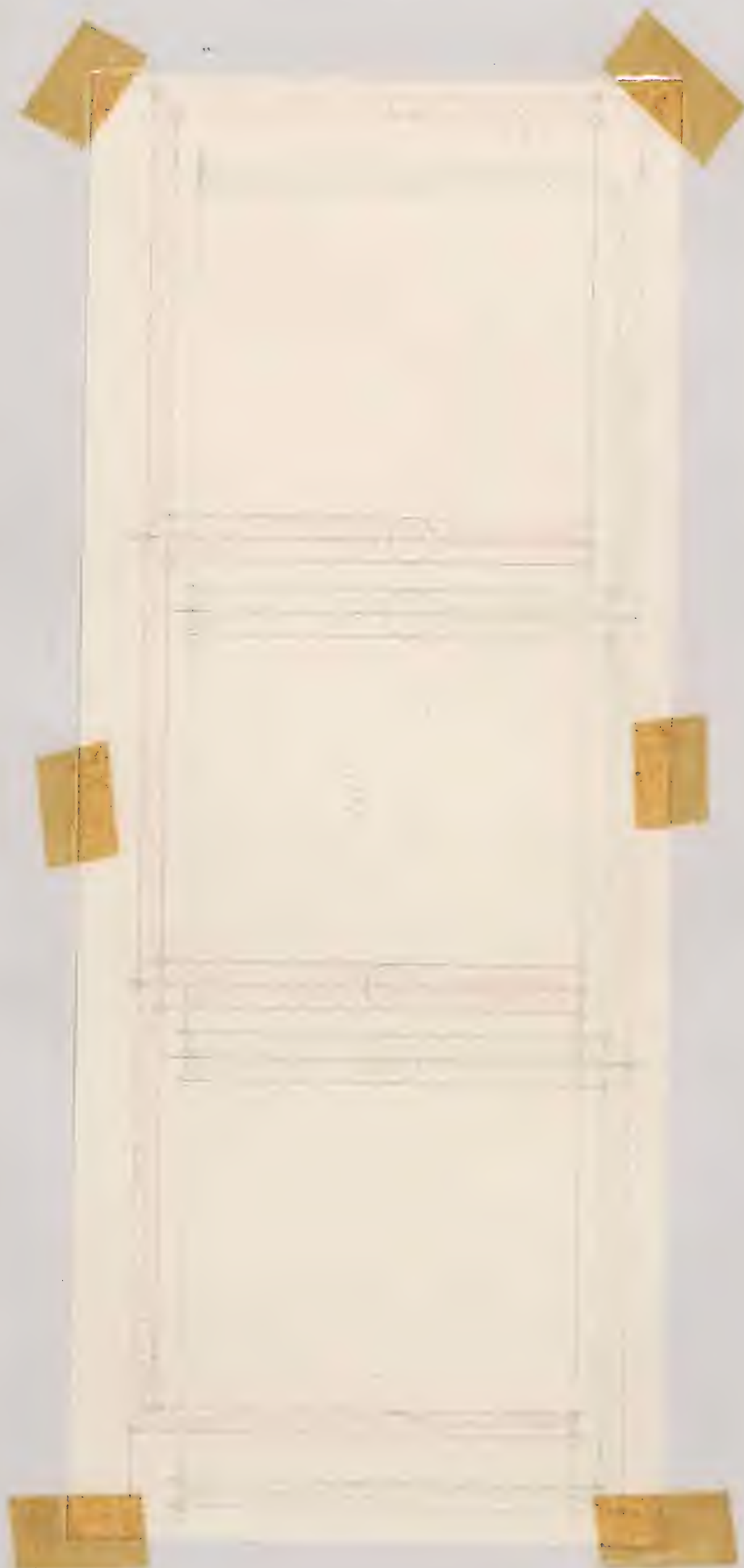
24 (u)

Figura 7

Figura 7



PATRONES





# MODELO CORPÓREO DEL OCTAEDRO REGULAR CONVEXO

MODELO CORPÓREO DEL OCTAEDRO REGULAR CONVEXO,

OBTENIDO POR TRUNCADURA DE VÉRTICES DE UN TE-

TRAEDRO REGULAR CONVEXO GENERADOR, DE ARIS-

TA " $\alpha_4$ " A LA DISTANCIA  $x = \frac{1}{2} \alpha_4$ , SIENDO

$\alpha'_8 = \frac{1}{2} \alpha_4$  LA LONGITUD DE LA ARISTA DEL OC-

TAEDRO GENERADO. - EL TETRAEDRO GENERADOR SE

CONSTRUIRÁ CON LAS CARAS VACIADAS, Y EL OCTAE-

DRO GENERADO, CON LAS CARAS MACIZAS.

Radio de la esfera circunscrita al tetrae-  
dro generador:

$$r_{ec}^4 = 170 \text{ mm}$$





ENUNCIADO:

Construir el modelo corpóreo del octaedro regular convexo, obtenido por truncadura de vértices de un tetraedro regular convexo generador, de arista " $a_4$ ", a la distancia  $x = \frac{1}{2} a_4$ , siendo  $a_2 = \frac{1}{2} a_4$  la longitud de la arista del octaedro generado. - El tetraedro generador, se construye con las caras vaciadas, y el octaedro generado, con las caras macizas.

NOTA:

Este modelo es igual al M-1.3, por lo que no se ha repetido su ejecución.

DATO ÚNICO DE ESTE EJERCICIO

$$\Gamma_{ec}^4 = 110 \text{ mm}$$








# EJEMPLO

MODELO CORPÓREO DEL OCTAEDRO REGULAR CONVEXO,

OBTENIDO POR TRUNCADURA DE VÉRTICES DE UN

EXAEDRO REGULAR CONVEXO GENERADOR, DE A-

DISTA " $a_6$ ", A LA DISTANCIA " $x = a_6$ ", SIENDO LA

LONGITUD DE LA ARISTA DEL OCTAEDRO GENERADO.

$a'_8 = \frac{\sqrt{2}}{2} a_6$  .- EL OCTAEDRO GENERADO, SE CONS-

TRUIRÁ CON LAS CARAS MACIZAS, Y EL EXAE-

DRO GENERADOR, CON LAS CARAS VACIADAS.

Radio de la esfera circunscrita al octaedro  
generador:

$$r_{ec}^6 = 110 \text{ mm.}$$



ENUNCIADO:

Construir el modelo corpóreo del octaedro regular convexo, obtenido por truncadura de vértices de un octaedro regular convexo generado, de arista " $a_6$ ", a la distancia " $x = a_6$ ", siendo la longitud de la arista del octaedro generado, " $a'_8 = \frac{\sqrt{2}}{2} a_6$ ". El octaedro generado, se construirá con las caras macizas, y el octaedro generador, con las caras vaciadas.

DATO ÚNICO DE ESTE EJERCICIO

$$r_{ec}^6 = 110 \text{ mm}$$

NOTA.- Este modelo es igual al M-7.2,

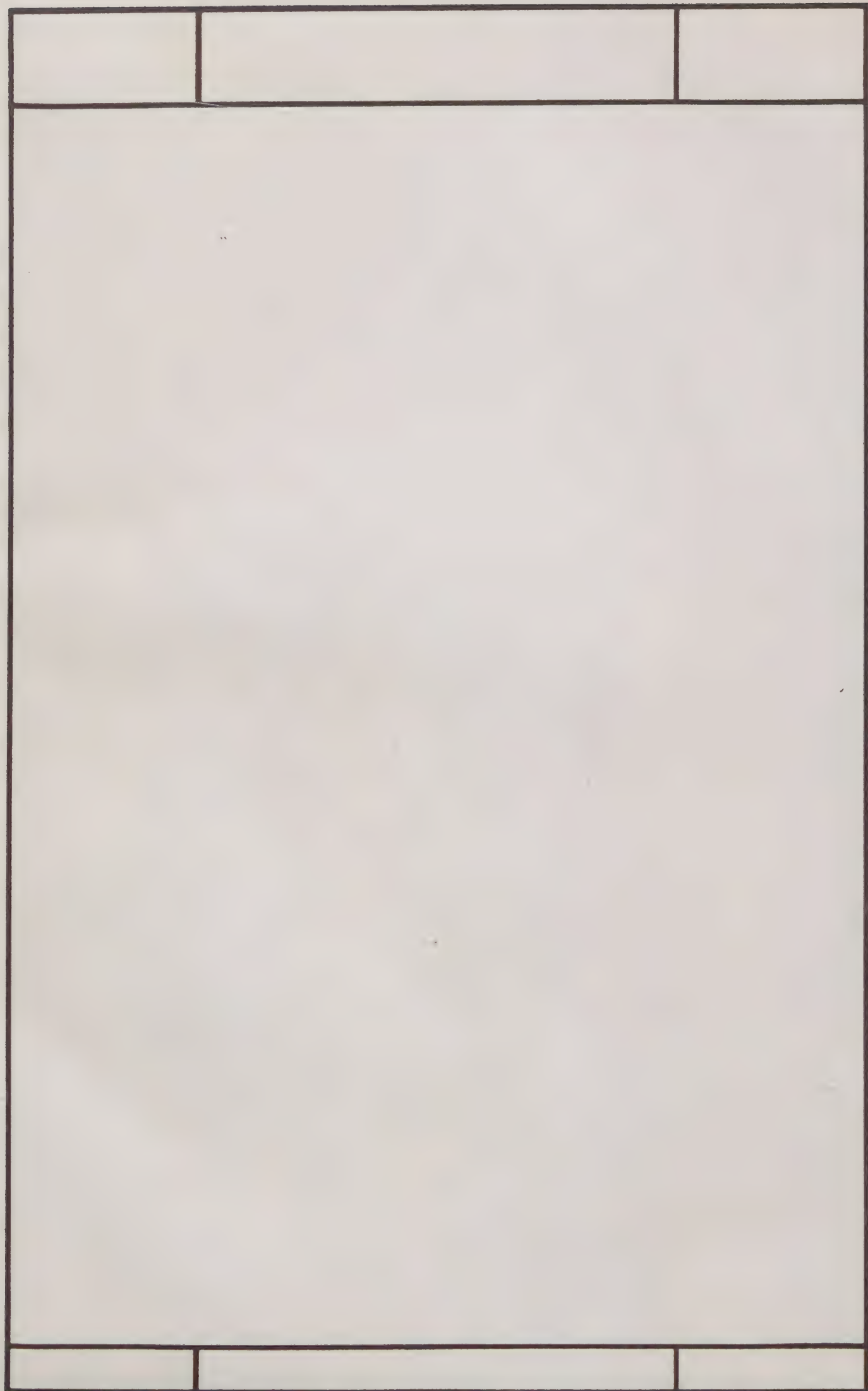
por lo que no se ha repetido su

ejecución









DODECAEDRO REGULAR CONVEXO

Radio de la esfera circunscrita :

$$r' = 76.1 \text{ mm}$$



ENUNCIADO: Construir el modelo corpóreo del dodecaedro regular convexo, representado en la lámina 4 del ejercicio G.E.

DATOS: Radio " $r_{ec}^{12}$ " de la esfera inscrita al dodecaedro regular pedido:

$$r_{ec}^{12} = 76,1 \text{ m m}$$

Las características del dodecaedro regular convexo, son las siguientes:

Número de caras pentagonales	$C_5 = 12$
Número de vértices	$V = 20$
Número de aristas	$A = 30$
Número de caras en cada vértice	3 $P_5$

El modelo corpóreo que se estudia es de caras macizas

Para la construcción de este modelo, se precisan las siguientes piezas:

PIEZA N° 1

CARA PENTAGONAL

12 unidades

Es un pentágono regular convexo, cuyo lado  $l_5$  es igual a la





arista  $a_{12}$  del dodecaedro pedido.

El valor se obtiene despejando  $a_{12}$  de la fórmula n° del ejercicio G.E., o sea

$$r_{ec}^{12} = \frac{\sqrt{15} + \sqrt{3}}{4} a_{12} \quad \text{" de donde } a_{12} = r_{ec}^{12} : \frac{\sqrt{15} + \sqrt{3}}{4} =$$

$$= r_{ec}^{12} \times \frac{\sqrt{15} - \sqrt{3}}{3} \approx 76,1 \times 0,713644179 \approx 54,30832202 \approx$$

$$\approx \boxed{54,3 \text{ mm}}$$

El radio " $r_{c-5}$ " de la circunferencia circunscrita al pentágono de una cara del dodecaedro regular pedido, cuyo lado  $l_5 = a_{12}$ , será: (ver fórm. 11 del ejercicio G.P. 1.400-44)

$$\boxed{r_{c-5}} = \sqrt{\frac{5 + \sqrt{5}}{10}} l_5 \approx 0,850650808 \times 54,3 \approx 46,19741804 \approx \boxed{46,2 \text{ mm}}$$

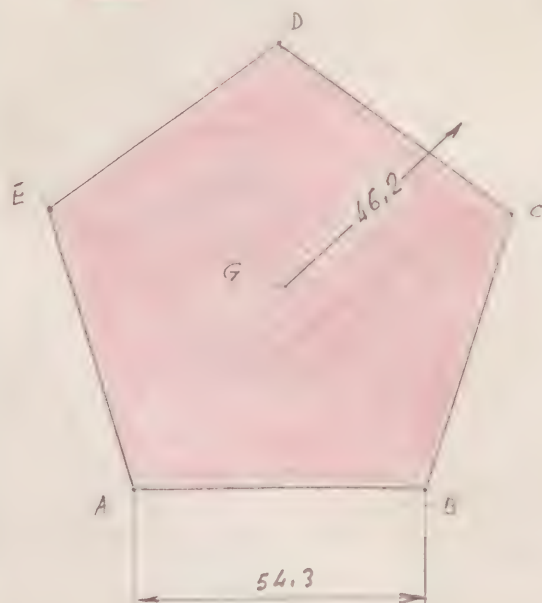


Figura 1

PIEZA N° 1 12 (11)

Fig. 1



PIEZA N° 2      REFUERZO NORMAL INTERIOR      12 unidades

Es un pentágono regular convexo, cuyo lado  $l_5$  se deduce del pentágono ABCDE de la figura 1 (pentágono FGHIT de la figura 2).

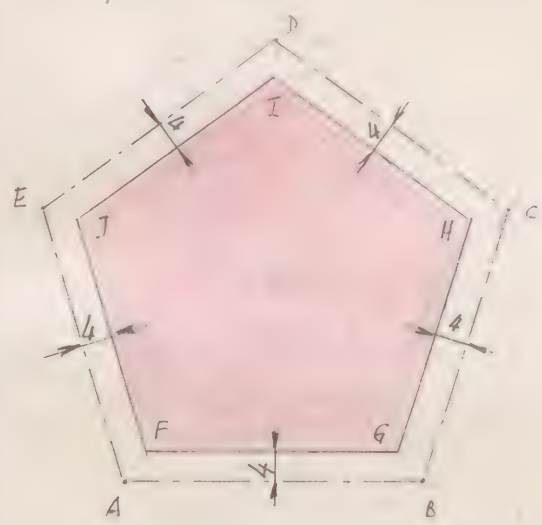


Fig. 2

PIEZA N° 2      12 (u)

Figura 2

PIEZA N° 3      REFUERZO TRANSVERSAL INTERIOR      36 unidades  
(simétricas 2x2)

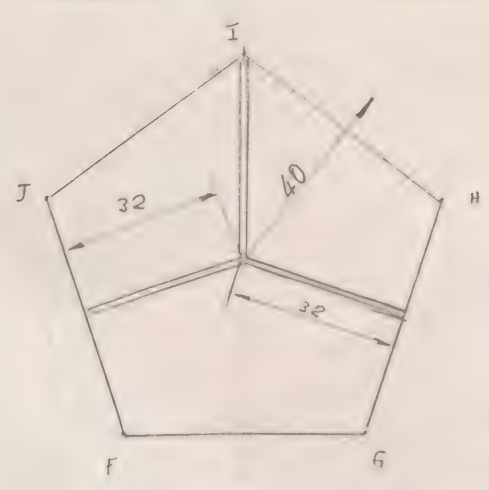
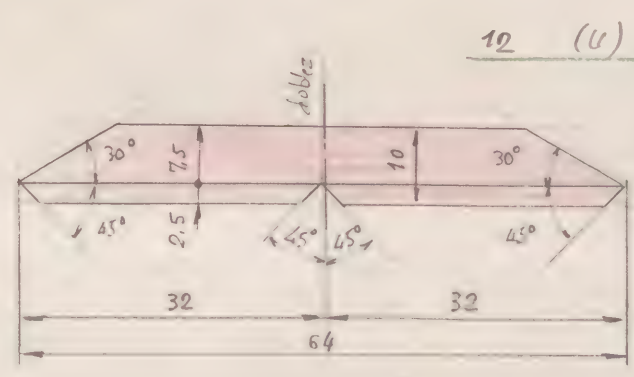
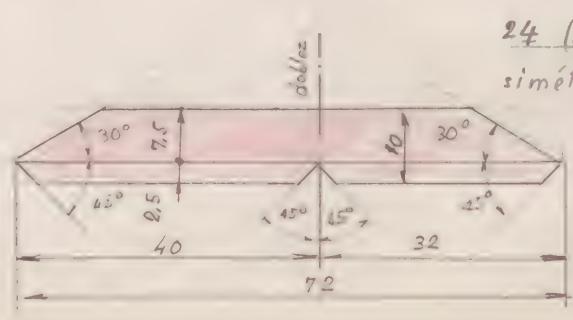


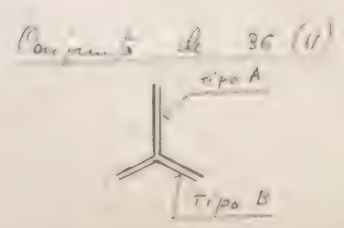
Fig. 3



12 (u) Tipo B



24 (u) Tipo A  
simétricas 2x2





PIEZA N° 4

UNIONES ARISTAS

30 unidades

La longitud es ligeramente inferior a la de la arista  $a_{12}$   
(ver fig. 1;  $a_{12} = 54.3 \text{ mm}$ )  $\therefore$  La tomamos igual 53 mm

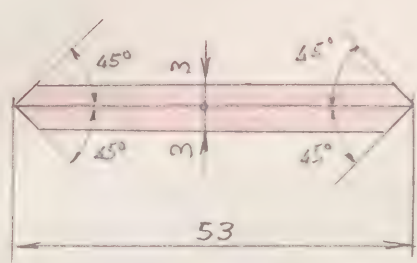


Figura 4

PIEZA N° 4

30 (u)

Fig. 4

PIEZA N° 5

FORRO COLOREADO

12 unidades

Es un pentágono regular convexo, cuyo lado  $l_5$  se deduce del pentágono ABCDE de la fig. 4 (pentágono FGHIJ de la fig. 5).

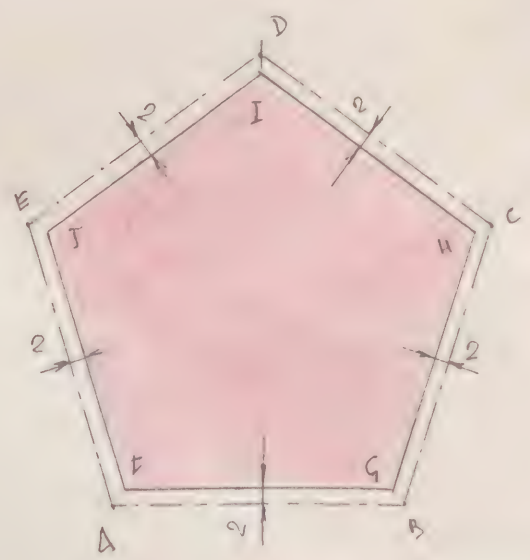


Figura 5

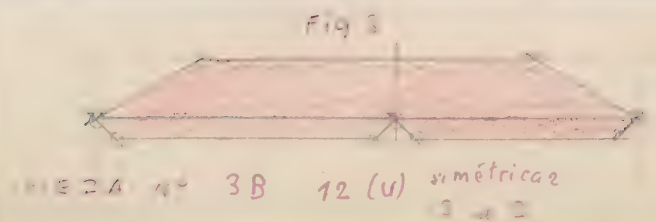
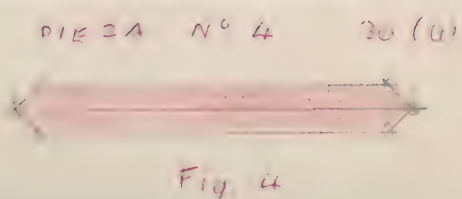
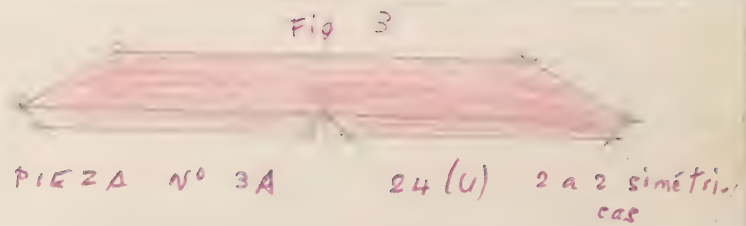
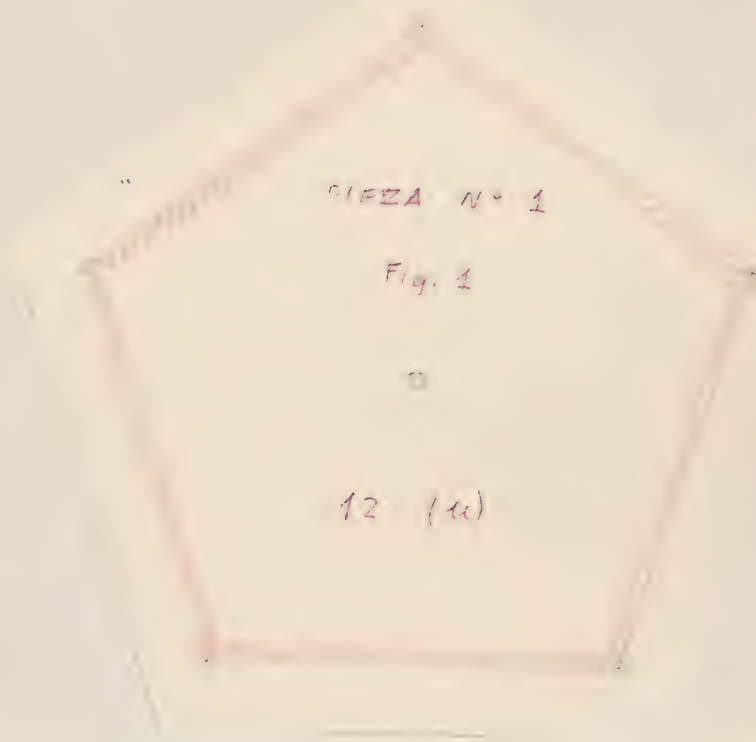
PIEZA N° 5

12 (u)

Fig. 5















DODECAEDRO REGULAR CONVEXO

Radio de la esfera circunscrita:

$$r' = 110 \text{ mm.}$$



Apuntes de matemáticas de poliedros

MODELO: 19866105

Modelo M-4.101

ENUNCIADO: " Construye el modelo corpóreo del dodecaedro regular convexo, representado en la lámina nº 4 del Apuntes S.E.

DATO: Radio " $r_{ec}^{12}$ " de la esfera circunscrita al dodecaedro regular pedido:

$$r_{ec}^{12} = 110 \text{ mm}$$

Las características del dodecaedro regular convexo son las siguientes:

Número de caras pentagonales	$C_5 = 12$
Número de vértices	$V = 20$
Número de aristas	$V = 30$
Número de caras en cada vértice:	$3 P_5$

El modelo corpóreo que se estudia es de caras macizas

Para la construcción de este poliedro, se precisará las siguientes piezas:

PIEZA N° 1 CARAS SUPERFICIALES 12 unidades

Son pentágonos regulares convexos, cuyo lado " $l_5$ " es igual



entonces  $a_{12}$  "del diagrama pasado".

El valor se obtiene despejando  $a_{12}$  de la fórmula n° del ejercicio G.E., o sea:

$$\Gamma_{ec}^{12} = \frac{\sqrt{15} + \sqrt{3}}{4} a_{12} \quad \text{de donde} \quad \boxed{a_{12}} = \Gamma_{ec}^{12} : \frac{\sqrt{15} + \sqrt{3}}{4} =$$

$$= \frac{\sqrt{15} - \sqrt{3}}{3} \times \Gamma_{ec}^{12} \approx 0,713644179 \dots \times 110 \approx 78,5085972 \approx \boxed{78,5 \text{ mm}}$$

El radio " $r_{c-5}$ " de la circunferencia circunscrita al pentágono regular convexo de una cara lateral, cuyo lado  $l_5 = a_{12}$ , será:  
(ver fórmula 11 del ejercicio G.P. 1.400-44)

$$\boxed{r_{c-5}} = \sqrt{\frac{5 + \sqrt{5}}{10}} l_5 = 0,850650808 \dots \times 78,5085972 \approx \boxed{66,8 \text{ mm}}$$

La forma y dimensiones de esta pieza n° 1, se representan en la figura 1

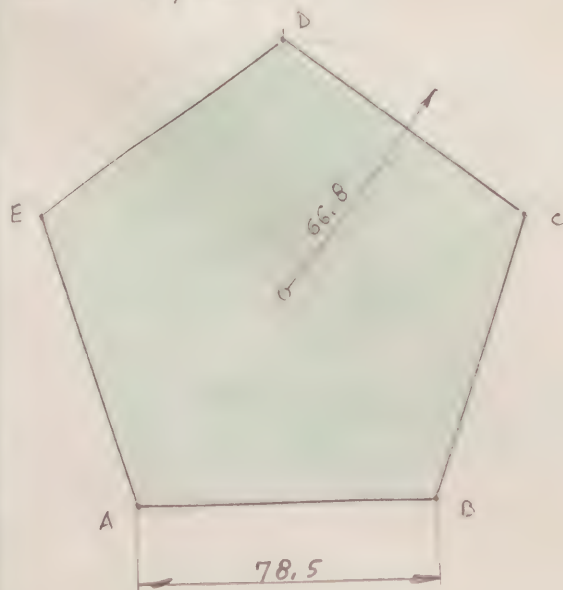


Figura 1

PIEZA N° 1 12 (u)

Figura 1





PIEZA N° 2 " REFUERZO NORMAL INTERIOR 12 unidades

La forma y dimensiones se detallan en la figura 2, 2 se deducen de las del pentágono ABCDEA de la figura 1

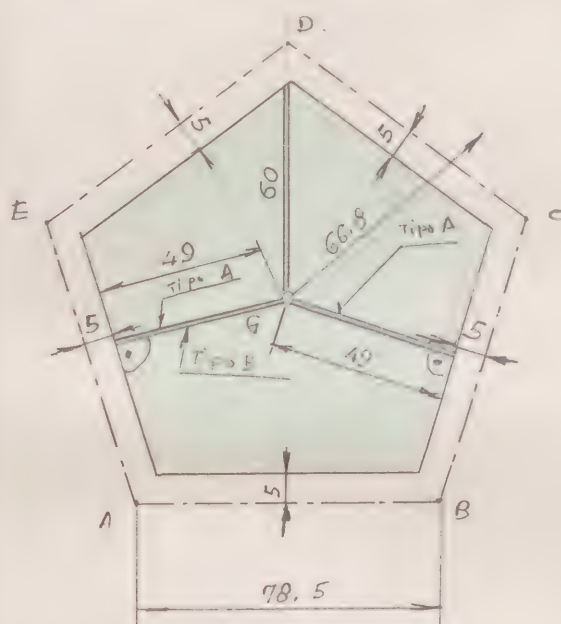


Figura 2

PIEZA N° 2 12 (u)

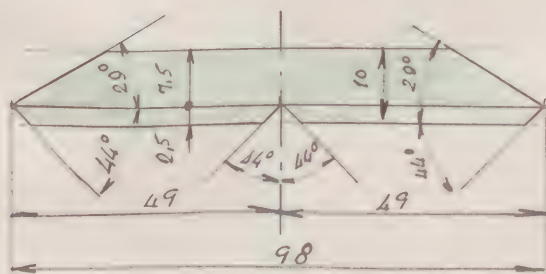
Figura 2

PIEZA N° 3	REFUERZO TRANSVERSAL INTERIOR	36 unidades
------------	-------------------------------	-------------

(12 tipo B y 24 tipo A)

(simétricas)

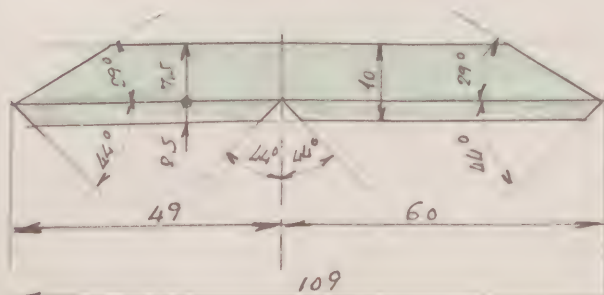
Figura 3



PIEZA N° 3 Tipo B

12 (u)

simétricas  
2 a 2



PIEZA N°3 Tipo A

24 (ii)

simétricas  
2 a 2



PIEZA N° 4 "UNIONES ARISTAS30 unidades

La longitud es ligeramente inferior a la de la arista  $a_{12}$  (ver fig. 1)  $a_{12} = 78.5 \text{ mm}$  - La tomamos igual a  $77 \text{ mm}$

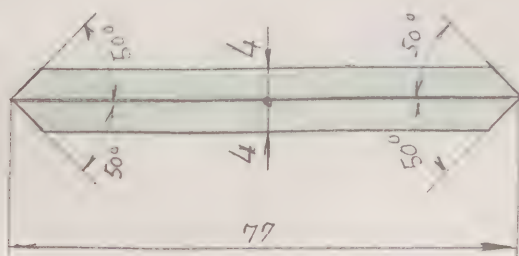
PIEZA N° 430 (u)

Figura 4

Figura 4

PIEZA N° 5FORRO COLOREADO12 unidades

La forma y dimensiones se representan en la figura 5, y se deducen de las del pentágono regular ABCDEA de la figura 1

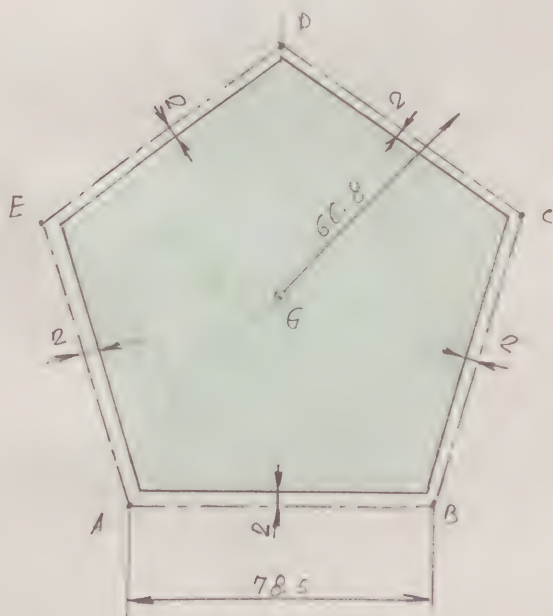
PIEZA N° 512 (u)

Figura 5

Figura 5





DODECAEDRO REGULAR CONVEXO

Radio de la esfera circunscrita:

$$r' = 110 \text{ m m}$$



ENUNCIADO: Construir el modelo corpóreo del dodecaedro regular convexo, representado en la lámina 5 del ejercicio E, E.

DATOS: Radio " $r_{ec}^{12}$ " de la esfera circunscrita al dodecaedro regular pedido

$$r_{ec}^{12} = 110 \text{ m m}$$

El modelo corpóreo que se estudia es de caras vaciadas, variante del modelo M-4,101, con las mismas dimensiones y características siguientes:

Número de caras pentagonales	$C_5 = 12$
Número de vértices	$V = 20$
Número de aristas	$A = 30$
Número de caras en cada vértice	$3 P_5$

Para la construcción de este modelo, se precisan las siguientes piezas:

PIEZA N° 1

CARAS SUPERFICIALES

12 unidades

son pentágonos regulares convexos, cuyo lado " $l_5$ " es igual a la arista  $a_{12}$  del dodecaedro pedido.



En orden se obtiene despejando  $a_{12}$  de la fórmula n° del ejercicio 110 E.E.

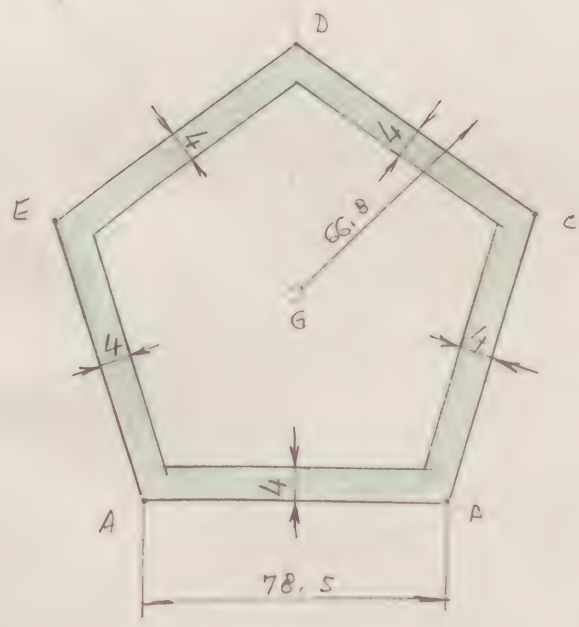
de donde  $a_{12} = r_{ec} \cdot \frac{\sqrt{15} + \sqrt{3}}{4}$

$= \frac{\sqrt{15} - \sqrt{3}}{3} \times r_{ec}^{12} = 0,713644179... \times 110 \approx 78,5085972 \approx 78,5 \text{ mm}$

El radio " $r_{c-5}$ " de la circunferencia circunscrita al pentágono regular convexo de una cara lateral, cuyo lado  $l_5 = a_{12}$ , será:  
(ver fórmula 11 del ejercicio G.P. 1,400-44)

$r_{c-5} = \frac{\sqrt{5 + \sqrt{5}}}{10} l_5 = 0,850650808... \times 78,5085972 \approx 66,8 \text{ mm.}$

La forma y dimensiones de esta pieza n° 1, se representa en la figura 1



PIEZA N° 1 12 (u)

Figura 1

Figura 1

PIEZA N° 2

UNIONES ARISTAS

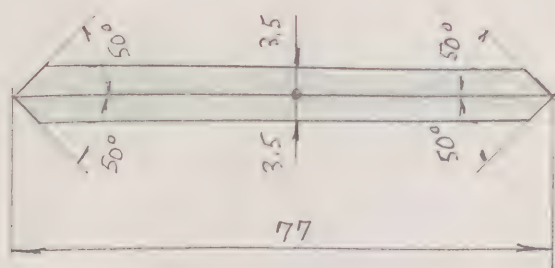
30 unidades

su longitud es ligeramente inferior a la de la arista  $a_{12}$  (ver





fig. 1)  $a_{12} = 78.5 \text{ mm}$  La longitud total es 77 mm.



PIEZA N° 2 30 (u)

Figura 2

Figura 2



DODECAEDRO REGULAR CONVEXO

Radio de la esfera circunscrita

$$r' = 76,1 \text{ mm}$$





ENUNCIADO: "Construir el modelo corpóreo del dodecaedro regular convexo, representado en la lámina n° 5 del ejercicio E. E."

DATOS: Radio " $r_{ec}^{12}$ " de la esfera circunscrita al dodecaedro regular pedido.

$$r_{ec}^{12} = 76,1 \text{ m. m.}$$

El modelo corpóreo que se estudia es de caras vaciadas, variante del modelo M-4.1, con sus mismas dimensiones y características siguientes:

Número de caras pentagonales	$C_5 = 12$
Número de vértices	$V = 20$
Número de aristas	$A = 30$
Número de caras de cada vértice	$3 P_5$

Para la construcción de este modelo, se precisan las siguientes piezas:

PIEZA N° 1

CARAS SUPERFICIALES

12 unidades

son pentágonos regulares convexos, cuyo lado  $l_5$  es igual



a la arista  $a_{12}$  del dodecaedro pedido.

El valor se obtiene despejando  $a_{12}$  de la fórmula n° del ejercicio G.E., o sea:

$$\begin{aligned} r_{ec}^{12} &= \frac{\sqrt{15} + \sqrt{3}}{4} a_{12} \quad \text{de donde:} \quad \boxed{a_{12}} = r_{ec}^{12} : \frac{\sqrt{15} + \sqrt{3}}{4} \\ &= r_{ec}^{12} \times \frac{\sqrt{15} - \sqrt{3}}{3} \approx 76,1 \times 0,713644179... \approx 0,54,30832202 \approx \\ &\approx \boxed{54,3 \text{ m m.}} \end{aligned}$$

El radio " $r_{c-5}$ " de la circunferencia circunscrita al pentágono de una cara del dodecaedro regular pedido, cuyo lado  $l_5 = a_{12}$ , será: (ver fórm. 11 del ejercicio G.P. 1.400-44)

$$\boxed{r_{c-5}} = \sqrt{\frac{5 + \sqrt{5}}{10}} l_5 = 0,850650808... \times 54,3 \approx 46,19741804 \approx \boxed{46,2 \text{ m m.}}$$

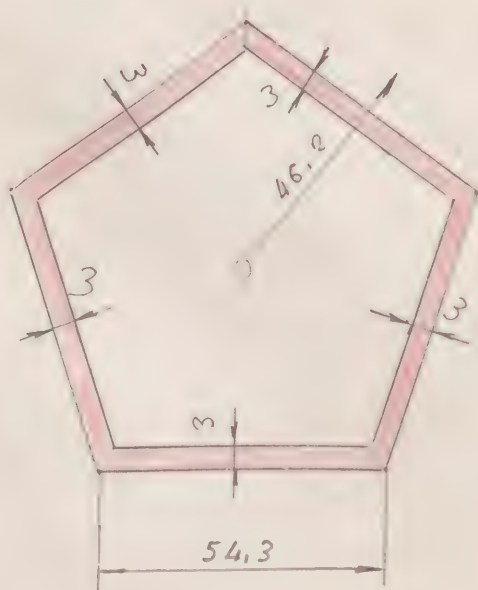


Figura 1

PIEZA N° 1

12 (u)

Figura 1



PIEZA N° 2

UNIONES ARISTAS

30 unidades

La longitud es ligeramente inferior a la de la arista  $a_{12}$  (ver fig. 1;  $a_{12} = 54.3 \text{ mm}$ ). - La tomamos igual a  $53 \text{ mm}$ .

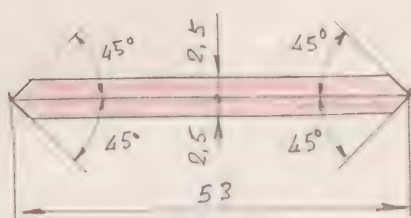


Figura 2

PIEZA N° 2

30 (U)

Fig. 2



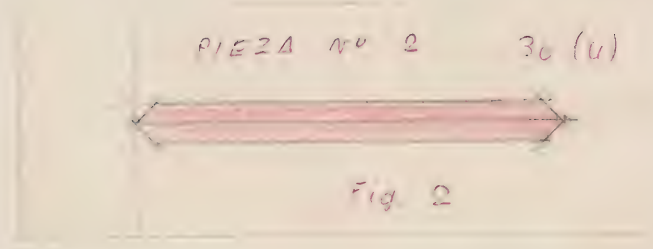




PIEZA N° 1

Fig. 1

12 (u)



PIEZA N° 2 36 (u)

Fig. 2









MODELO CORPÓREO DEL POLIEDRO CON-  
VEXO OBTENIDO DEL DODECAEDRO REGU-  
LAR CONVEXO AL CORTAR ÉSTE POR PLA-  
NOS QUE PASAN POR LOS EXTEMOS DE  
LAS TRES ARISTAS QUE CONCURREN EN  
CADA VÉRTICE DEL MISMO. \_\_\_\_\_

Radio de la esfera circunscrita al  
dodecaedro generador:

$$r' = 110 \text{ mm.}$$



ENUNCIADO: Construir el modelo corpóreo del poliedro cóncavo obtenido del dodecaedro regular convexo al cortar éste por planos que pasan por los extremos de las tres aristas que concurren en cada vértice del mismo.

Como consecuencia de la mencionada ley de generación del poliedro que se estudia, cada plano secante corta a cada una de las tres caras pentagonales del dodecaedro regular concurrentes en cada vértice del mismo, según rectas que son diagonales de dichas caras, que a su vez forman triángulos equiláteros (las tres diagonales son iguales)

El poliedro resultante es cóncavo, y está formado por 12 caras que son polígonos estrellados, y 60 caras que son triángulos equiláteros.

Las doce caras poligonales son pentágonos estrellados continuos, de 2ª especie (estudiados en el ejercicio G. P. 1400-62) y las 60 caras son triángulos equiláteros cuyo lado  $l_3$  es igual al lado  $l_5^{\text{II}}$  de la línea poligonal del contorno del pentágono estrellado y que a su vez es igual a la arista  $a_{12}^{30}$  del poliedro estudiado.

Los polígonos estrellados están situados en las caras pentagonales del dodecaedro generador e inscritos en los pentágonos regulares de dichas caras.

Para la construcción de este poliedro son necesarias las siguientes





En primer lugar:

Este poliedro es de caras macizas

Radio " $r_{ec}^{12}$ " = 110 mm de la esfera circunscrita al dodecaedro generada

PIEZA Nº 1      CARAS PENTAGONALES ESTRELLADAS      12 unidades

La forma y dimensiones se detallan en la figura 1, y el cálculo de sus longitudes se expone a continuación:

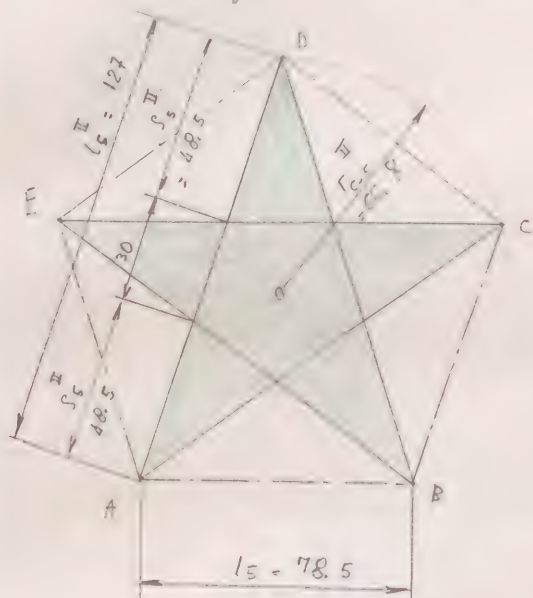


Figura 1

- 1) Arista " $a_{12}$ " del dodecaedro regular convexo generador (ver modelo M-4.101 h2)

$$a_{12} = l_5 = \frac{\sqrt{15} - \sqrt{3}}{3} \times r_{ec}^{12} \approx 0.713546179... \times 110 \approx 78.5085669 \approx 78.5 \text{ mm}$$

- 2) Radio " $r_{c.5}^{II}$ " de la circunferencia circunscrita al pentágono estrellado (ver ejercicio G.P. 1.400-62)

$$r_{c.5}^{II} = \sqrt{\frac{5 + \sqrt{5}}{10}} \times l_5 = 0.850650808... \times 78.5085669 \approx 66.77481666 \approx 66.8 \text{ mm}$$

- 3) Lado " $l_5^{II}$ " del pentágono estrellado (ver ejec. G.P. 1.400-62)

$$l_5^{II} = \frac{\sqrt{5} + 1}{2} \times l_5 \approx 1.618033989 \times 78.5085669 \approx 127.0170533... \approx 127 \text{ mm}$$

- 4) Lado " $s_5^{II}$ " de la línea poligonal de contorno (ver ejec. G.P. 1.400-62)

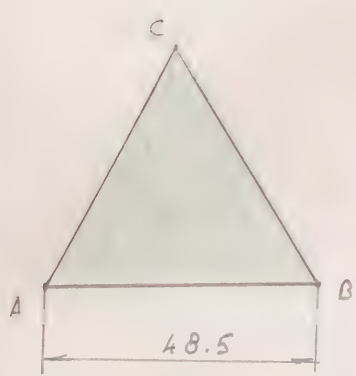
$$s_5^{II} = \frac{\sqrt{5} - 1}{2} l_5 = 0.618033989... \times 78.5085669 \approx 48.51619723 \approx 48.5 \text{ mm}$$





PIEZA N° 2      CARAS TRIANGULARES      60 unidades

son triángulos "equiláteros" de lado  $l_3 = l_5 = 48.5 \text{ mm}$  (ver fig. 1).  
Su forma y dimensiones se detallan en la figura 2.



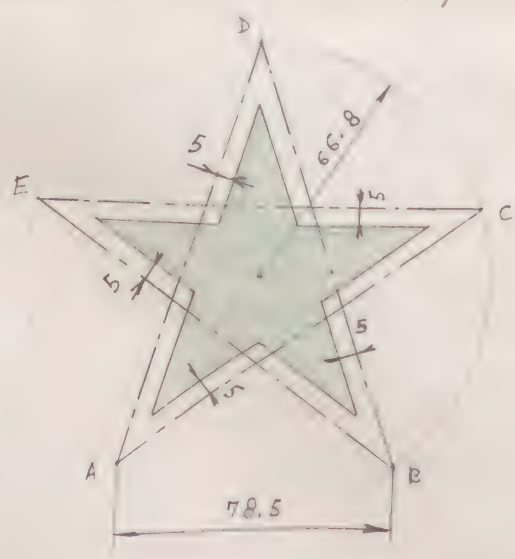
PIEZA N° 2      60 (u)

Figura 2

Figura 2.

PIEZA N° 3      REFUERZO NORMAL INTERIOR EN CARAS PENTAGÓ-  
NALES ESTRELLADAS      12 unidades

La forma y dimensiones se deducen de las del pentágono estre-  
llado ABCDE de la figura 1, y se detallan en la figura 3



PIEZA N° 3      12 (u)

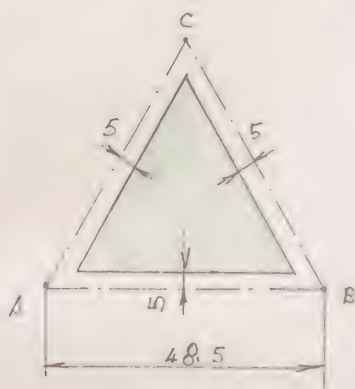
Figura 3

Figura 3



PIEZA N° 4      REFUERZO NORMAL INTERIOR EN CARAS TRIANGULARES      60 unidades

La forma y dimensiones se deducen de la del triángulo ABC de la figura 2 y se detallan en la figura 4



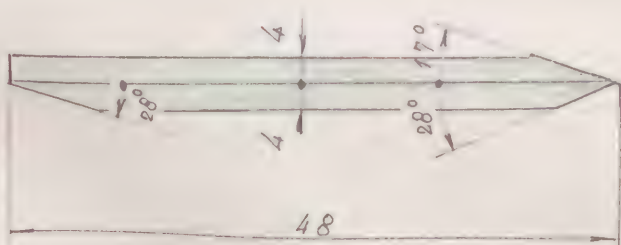
PIEZA N° 4      60 (u)

Figura 4

Figura 4

PIEZA N° 5      UNIONES ARISTAS      150 unidades  
(simétricas 2 a 2)

La forma y dimensiones se detallan en la figura 5



PIEZA N° 5      150 (u)

Figura 5

Figura 5

PIEZA N° 6      FORRO COLOREADO EN CARAS PENTAGONALES ESTRELLADAS      12 unidades

La forma y dimensiones se deducen de las del pentágono estrellado ABCDE de la figura 1, y se detallan en la figura 6





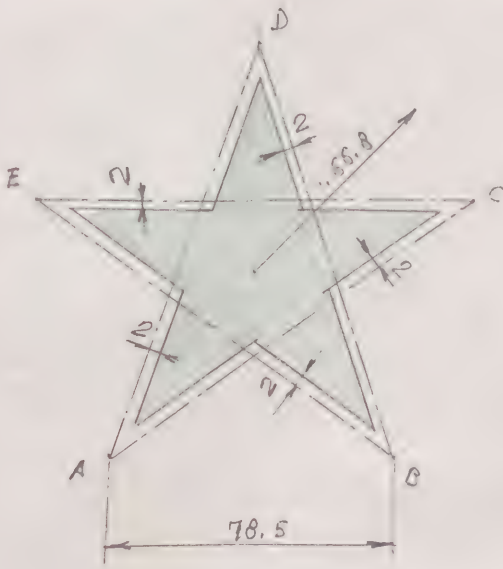


Figura 6

PIEZA N° 6

12 (u)

Figura 6

PIEZA N° 7

FORRO COLOREADO EN CARAS TRIANGULARES

60 unidades

La forma y dimensiones se deducen de las del triángulo ABC de figura 2, y se detallan en la figura 7

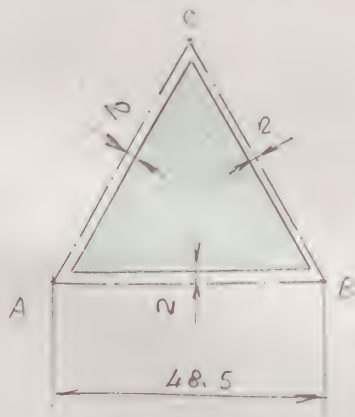


Figura 7

PIEZA N° 7

60 (u)

Figura 7



variante del modelo M-4.3

MODELO CORPÓREO DEL POLIEDRO CON-  
VEXO OBTENIDO DEL DODECAEDRO REGU-  
LAR CONVEXO AL CORTAR ÉSTE POR PLA-  
NOS QUE PASAN POR LOS EXTREMOS DE  
LAS TRES ARISTAS QUE CONCURREN EN  
CADA VÉRTICE DEL MISMO —————

Radio de la esfera circunscrita  
al dodecaedro generador:

$$r' = 110 \text{ m m}$$



Variante del modelo M-4.3

ENUNCIADO: Construir el modelo corpóreo del poliedro cóncavo obtenido del dodecaedro regular convexo al cortar éste por planos que pasan por los extremos de las tres aristas que concurren en cada vértice del mismo.

Este modelo tiene las mismas forma y dimensiones que la del modelo M-4.3, con la variante de tener las caras vacías en lugar de macizas.

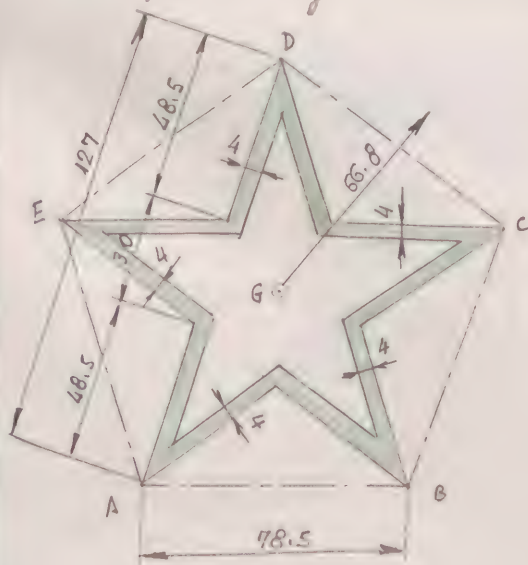
Para la construcción del mismo, se precisan las siguientes piezas:

PIEZA Nº 1

CARAS PENTAGONALES ESTRELLADAS

12 unidades

La forma y dimensiones se detallan en la figura 1



PIEZA Nº 1 12 (u)

Figura 1

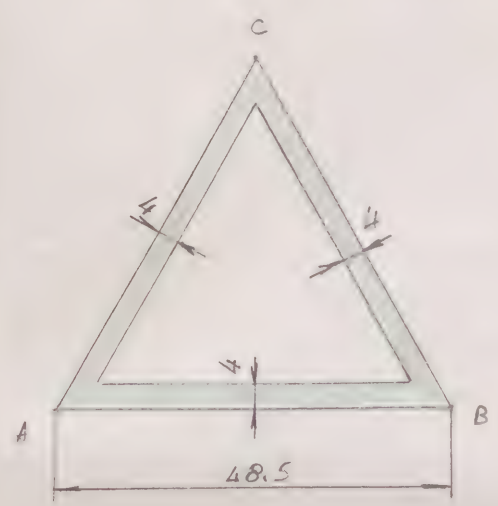
Figura 1





PIEZA N° 2      CARAS TRIANGULARES      60 Unidades

La forma y dimensiones se detallan en la figura 2

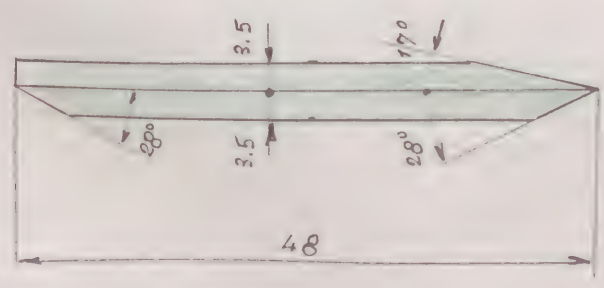


PIEZA N° 2      60 (u)

Figura 2

PIEZA N° 3      UNIONES ADISTAS      150 unidades

La forma y dimensiones se detallan en la figura 3



PIEZA N° 3      150 (u)

Figura 3

Figura 3



MODELO CORPÓREO DEL POLIEDRO CÓNCA-  
VO OBTENIDO AL CONSTRUIR SOBRE CADA  
CARA DE UN DODECAEDRO REGULAR CON-  
VEXO, UNA PIRÁMIDE ESTRELLADA PENTÁÉ-  
DRICA CUYAS ARISTAS LATERALES SON IGUA-  
LES A LAS DEL DODECAEDRO GENERADOR

Radio de la esfera que pasa por los vértices  
de las pirámides estrelladas pentaédricas:

$$r' = 110 \text{ m m.}$$





ENUNCIADO: Construir el modelo del poliedro cóncavo obtenido al construir sobre cada cara de un dodecaedro regular convexo, una pirámide cóncava, decaédrica, cuyas aristas exteriores son iguales a las del dodecaedro generador, y las interiores, iguales entre sí.

Se tiene como dato único el del radio " $r_{ec}^{20}$ " de la esfera que contiene a los vértices del poliedro, más alejados de su centro "O":

DATO Radio máximo " $r_{ec}^{20}$ " de la esfera circunscrita al poliedro pedido

$$r_{ec}^{20} = 110 \text{ mm}$$

#### 1) PROPIEDADES

De acuerdo con la definición, dada en el enunciado, del poliedro estudiado, éste se compone de doce pirámides iguales, construidas sobre las caras planas de un dodecaedro regular convexo.

Estas pirámides tienen por base un pentágono estrellado de 2ª especie, inscrito en el pentágono regular convexo de cada cara del dodecaedro y de una altura tal que verifique que las aristas exteriores de las caras laterales sean de igual longitud que las de las aristas  $d_{12}$  del mencionado dodecaedro regular.

Estas pirámides, estrelladas pentaédricas son rectas, por lo que



su altura pasa por el centro "O" de la base.

En la figura 1, representamos una de dichas pirámide, estrelladas pentaédrica, proyectada ortogonalmente sobre su base.

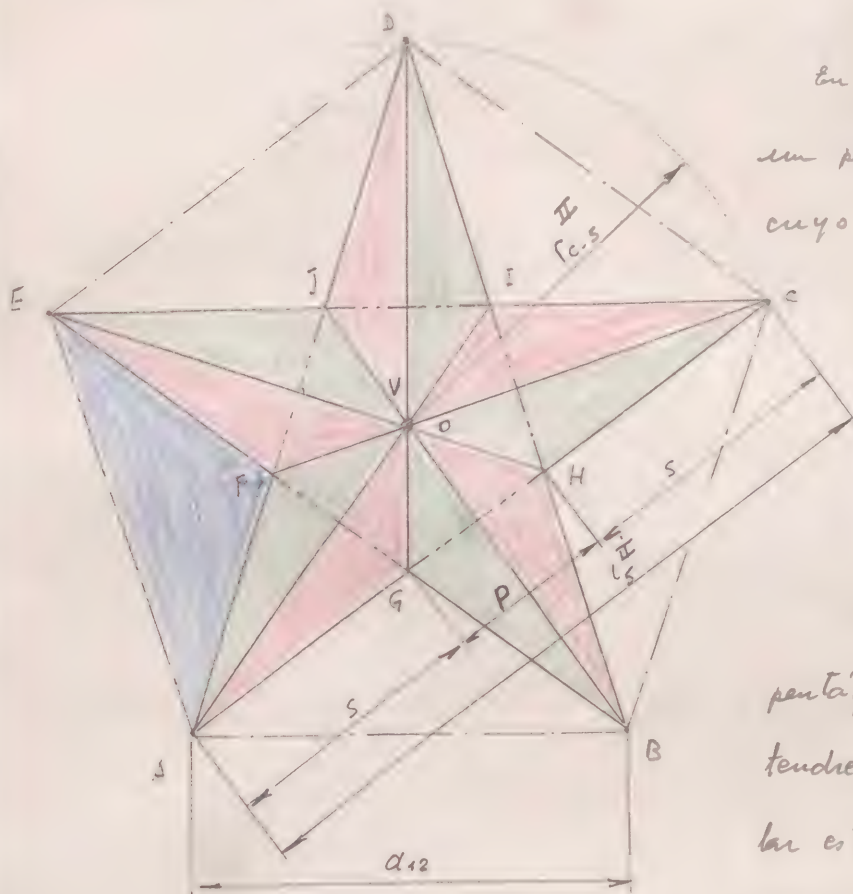


Figura 1

En esta figura, ABCDE es un pentágono regular convexo cuyo lado  $l_5$  es igual a la arista  $a_{12}$  del dodecaedro regular generador, por lo que resulta:

$$l_5 = a_{12} = AB$$

Uniendo los vértices del pentágono de dos en dos, obtenemos el pentágono regular estrellado ACEBDA, continuo de segunda especie.

(ver ejercicio G.P. 1.400-43)

En el estudio de este pentágono regular estrellado, realizado en el ejercicio G.P. 1.400-43, se han deducido las siguientes fórmulas:

"<sup>II</sup>"  
 $r_{C-S} =$  radio de la circunferencia circunscrita al pentágono regular de lado  $a_{12}$

Fórmula (1)

$$r_{C-S}^{II} = \sqrt{\frac{5 + \sqrt{5}}{10}} a_{12}$$

" $l_5^{II}$ " = Lado del pentágono estrellado en función de  $a_{12}$





Fórmula (2)

$$l_5^{\text{II}} = \frac{\sqrt{5} + 1}{2} a_{12}$$

"s" = Lado de la línea poligonal del contorno del pentágono es.  
trillado

Fórmula (3)

$$s = \frac{\sqrt{5} - 1}{2} a_{12}$$

"p" = Segmento central del lado  $l_5^{\text{II}}$ , después de dedu-  
cidos los dos segmentos "s" del contorno

Fórmula (4)

$$p = \frac{3 \cdot \sqrt{5}}{2} a_{12}$$

En el estudio del dodecaedro regular convexo (lámin. 4), se han  
deducido las siguientes fórmulas:

" $r_{oc}^{12}$ " = Radio de la esfera inscrita al dodecaedro  
generador

Fórmula (5)

$$r_{oc}^{12} = \frac{\sqrt{15} + \sqrt{3}}{4} a_{12}$$

" $r_{oi}^{12}$ " = Radio de la esfera inscrita al dodecaedro  
generador





Fórmula (6)

$$r_{oi}^{12} = \sqrt{\frac{25 + 11\sqrt{5}}{40}} a_{12}$$

Basándonos en las fórmulas anteriores, deducimos las siguientes para el modelo estudiado:

"h" = Altura de la pirámide estrellada sobre las caras del dodecaedro generador.

Sea (fig. 1) "V" el vértice de la pirámide y "O" el centro de la cara pentagonal ("O" es proyección ortogonal de "V" sobre la cara). Uniendo "V" con "A" se nos formará en el espacio, un triángulo VAO, rectángulo en O, siendo VO, la altura de la pirámide. Así pues se verificará:

$$\overline{VO} = \sqrt{\overline{VA}^2 - \overline{OA}^2} \quad \text{en la que } \overline{VO} = h; \quad \overline{OA} = r_{c-5}^{\text{II}} \quad (\text{fórm. 1})$$

y  $\overline{VA}$  = arista lateral de la pirámide =  $a_{12}$  (según enunciado)

$$h = \sqrt{a_{12}^2 - (r_{c-5}^{\text{II}})^2} = \sqrt{a_{12}^2 - \left[ \sqrt{\frac{5+\sqrt{5}}{10}} a_{12} \right]^2} = \sqrt{1 - \frac{5+\sqrt{5}}{10}} a_{12} =$$

$$= \sqrt{\frac{5-\sqrt{5}}{10}} a_{12} = h$$

Fórmula (7)

" $r_{ec}^{20}$ " = Radio máximo de la esfera circunscrita al poliedro pedido



En la suma de los segmentos  $r_{ei}^{12}$  (ver fórmula 6) }  
 de la altura "h" de la pirámide entrellada (ver fórmula 7)  
 Así pues tendremos:

$$\begin{aligned} r_{ec}^{90} &= r_{ei}^{12} + h = \sqrt{\frac{25 + 11\sqrt{5}}{40}} a_{12} + \sqrt{\frac{5 - \sqrt{5}}{10}} a_{12} = \\ &= \left[ \sqrt{\frac{25 + 11\sqrt{5}}{40}} + \sqrt{\frac{5 - \sqrt{5}}{10}} \right] a_{12} = \sqrt{\left[ \sqrt{\frac{25 + 11\sqrt{5}}{40}} + \sqrt{\frac{5 - \sqrt{5}}{10}} \right]^2} a_{12} = \\ &= \sqrt{\frac{25 + 11\sqrt{5}}{40} + \frac{5 - \sqrt{5}}{10} + 2 \times \sqrt{\frac{25 + 11\sqrt{5}}{40} \times \frac{5 - \sqrt{5}}{10}}} a_{12} = \\ &= \sqrt{\frac{25 + 11\sqrt{5} + 20 - 4\sqrt{5}}{40} + 2 \times \sqrt{\frac{(25 + 11\sqrt{5})(5 - \sqrt{5})}{400}}} a_{12} = \\ &= \sqrt{\frac{45 + 7\sqrt{5}}{40} + 2 \sqrt{\frac{125 + 55\sqrt{5} - 25\sqrt{5} - 55}{400}}} a_{12} = \\ &= \sqrt{\frac{45 + 7\sqrt{5}}{40} + 2 \sqrt{\frac{70 + 30\sqrt{5}}{400}}} a_{12} = \sqrt{\frac{45 + 7\sqrt{5}}{40} + 2 \sqrt{\frac{7 + 3\sqrt{5}}{40}}} a_{12} = \\ &= \sqrt{\frac{45 + 7\sqrt{5}}{40} + \frac{\sqrt{7 + 3\sqrt{5}}}{\sqrt{10}}} a_{12} = \sqrt{\frac{45 + 7\sqrt{5}}{40} + \frac{\sqrt{\frac{9}{2}} + \sqrt{\frac{5}{2}}}{\sqrt{10}}} a_{12} = \\ &= \sqrt{\frac{45 + 7\sqrt{5}}{40} + \frac{3 + \sqrt{5}}{\sqrt{20}}} a_{12} = \sqrt{\frac{45 + 7\sqrt{5}}{40} + \frac{3 + \sqrt{5}}{\sqrt{20}}} a_{12} = \end{aligned}$$





$$= \sqrt{\frac{45 + 7\sqrt{5}}{40} + \frac{(3 + \sqrt{5})\sqrt{20}}{20}} \quad d_{12} = \sqrt{\frac{45 + 7\sqrt{5}}{40} + \frac{(3 + \sqrt{5}) \times (2\sqrt{5})}{20}} \quad d_{12} =$$

$$= \sqrt{\frac{45 + 7\sqrt{5}}{40} + \frac{6\sqrt{5} + 10}{20}} \quad d_{12} = \sqrt{\frac{45 + 7\sqrt{5} + 12\sqrt{5} + 20}{40}} \quad d_{12}$$

y finalmente:

Fórmula (8)

$$r_{oc}^{20} = \sqrt{\frac{65 + 19\sqrt{5}}{40}} \quad d_{12}$$

De la figura 1 se deduce que el segmento  $\overline{OF}$  es el radio de la circunferencia circunscrita al pentágono regular convexo FGHIF de lado "p", por lo que será:

$$\overline{OF} = \sqrt{\frac{5 + \sqrt{5}}{10}} \cdot p \quad (\text{ver fórmula 1}) \quad \text{siendo } p = \frac{3 - \sqrt{5}}{2} \cdot d_{12}$$

(ver fórmula 4), por lo que tendremos:

$$\boxed{\overline{OF}} = \sqrt{\frac{5 + \sqrt{5}}{10}} \times \frac{3 - \sqrt{5}}{2} \cdot d_{12} = \sqrt{\frac{(5 + \sqrt{5})(3 - \sqrt{5})^2}{40}} \cdot d_{12} = \text{fórmula 8)}$$

$$= \sqrt{\frac{(5 + \sqrt{5})(9 + 5 - 6\sqrt{5})}{40}} \cdot d_{12} = \sqrt{\frac{2 \times (5 + \sqrt{5}) \times (7 - 3\sqrt{5})}{40}} \cdot d_{12} =$$

$$\approx \sqrt{\frac{35 + 7\sqrt{5} - 15\sqrt{5} - 15}{20}} \cdot d_{12} = \sqrt{\frac{20 - 8\sqrt{5}}{20}} \cdot d_{12} = \boxed{\sqrt{\frac{5 - 2\sqrt{5}}{5}} \cdot d_{12}}$$

Este valor nos sirve para calcular la longitud de la arista.



$\overline{VF}$ , hipotenusa del triángulo rectángulo  $VOF$  (fig. 1) de catetos  $\overline{VO} = h_v$  y  $\overline{OF}$ , calculados en las fórmulas (7) y (8) respectivamente. Así pues tendremos:

$$\begin{aligned} \boxed{\overline{VF}} &= \sqrt{\overline{VO}^2 + \overline{OF}^2} = \sqrt{\left[\left(\frac{5-\sqrt{5}}{10}\right) d_{12}\right]^2 + \left[\left(\frac{5-2\sqrt{5}}{5}\right) d_{12}\right]^2} = \\ &= \sqrt{\frac{5-\sqrt{5}}{10} + \frac{5-2\sqrt{5}}{5}} d_{12} = \sqrt{\frac{5-\sqrt{5} + 10-4\sqrt{5}}{10}} d_{12} = \sqrt{\frac{15-5\sqrt{5}}{10}} d_{12} = \\ &= \sqrt{\frac{3-\sqrt{5}}{2}} d_{12} = \frac{\sqrt{3-\sqrt{5}}}{\sqrt{2}} d_{12} = \frac{\sqrt{\frac{5}{2}} - \sqrt{\frac{1}{2}}}{\sqrt{2}} d_{12} = \left[\sqrt{\frac{5}{4}} - \sqrt{\frac{1}{4}}\right] d_{12} = \\ &= \left[\frac{\sqrt{5}}{2} - \frac{1}{2}\right] d_{12} = \boxed{\frac{\sqrt{5}-1}{2} d_{12}} = S \quad (\text{ver fórmula 3}) \end{aligned}$$

El cálculo anterior nos demuestra que el triángulo VFA en el espacio, es isósceles, por tener iguales los lados  $\underline{AF} = \underline{VF} = \underline{S}$  y también igual al triángulo EFA que también tiene  $\underline{EF} = \underline{FA} = \underline{S}$  y el lado  $\underline{EA} = \underline{VA} = \underline{d_{12}}$ . Como el triángulo EFA es a su vez una cara del poliedro estudiado, llegamos a la conclusión que este posee las siguientes propiedades:

1º  $\mathcal{P}_4$  cóncavo

2º Tiene  $15 \times 10 = 150$  caras triangulares

3º Tiene  $\frac{150 \times 3}{2} = 225$  aristas

4º Todas sus caras son iguales de forma de triángulo isósceles.

Adrián

Marzo 1979





Las fórmulas (6) y (7) nos permiten calcular las longitudes de los lados del triángulo isósceles de una cara, pero como están en función de la arista  $a_{12}$  del dodecaedro generador, vamos a transformarlas en función del radio máximo " $r_{ec}^{20}$ " dato del ejercicio y radio máximo de la esfera circunscrita al poliedro pedido.

Iguualmente transformaremos las fórmulas (6) y (8), correspondientes al dodecaedro generador.

Para ello, despejamos  $a_{12}$  de la fórmula (8)

$$r_{ec}^{20} = \sqrt{\frac{65 + 19\sqrt{5}}{40}} a_{12} \quad \text{y de aquí:}$$

$$\begin{aligned} a_{12} &= \frac{1}{\sqrt{\frac{65 + 19\sqrt{5}}{40}}} r_{ec}^{20} = \sqrt{\frac{40}{65 + 19\sqrt{5}}} r_{ec}^{20} = \\ &= \sqrt{\frac{40 \times (65 - 19\sqrt{5})}{65^2 - (19\sqrt{5})^2}} r_{ec}^{20} = \sqrt{\frac{40 \times (65 - 19\sqrt{5})}{-2420}} r_{ec}^{20} = \sqrt{\frac{2 \times (65 - 19\sqrt{5})}{-121}} r_{ec}^{20} = \\ &= \frac{\sqrt{2 \times (65 - 19\sqrt{5})}}{11} r_{ec}^{20} \quad \text{de donde se obtiene finalmente:} \end{aligned}$$

$$a_{12} = \text{Arista del dodecaedro generador.}$$

Fórmula (9)

$$a_{12} = \frac{\sqrt{2 \times (65 - 19\sqrt{5})}}{11} r_{ec}^{20}$$





Substituyendo el valor de " $a_{12}$ ", fórmula (9), en la fórmula (3):

$$\begin{aligned}
 S &= \frac{\sqrt{5}-1}{2} a_{12} = \frac{\sqrt{5}-1}{2} \times \frac{\sqrt{2 \times (65-19\sqrt{5})}}{11} r_{ec}^{20} = \frac{\sqrt{2 \times (65-19\sqrt{5})} (\sqrt{5}-1)^2}{22} r_{ec}^{20} = \\
 &= \frac{\sqrt{2 \times (65-19\sqrt{5})} (5+1-2\sqrt{5})}{22} r_{ec}^{20} = \frac{\sqrt{4 \times (65-19\sqrt{5})} (3-\sqrt{5})}{22} r_{ec}^{20} = \\
 &= \frac{\sqrt{(65-19\sqrt{5})} (3-\sqrt{5})}{11} r_{ec}^{20} = \frac{\sqrt{195-57\sqrt{5}-65\sqrt{5}+95}}{11} r_{ec}^{20} = \\
 &= \frac{\sqrt{2 \times (145-61\sqrt{5})}}{11} r_{ec}^{20} \quad \text{de donde se obtiene finalmente}
 \end{aligned}$$

"S" = Lado de la línea poligonal del contorno del pentágono estrechado, o arista del poliedro estudiado.

Fórmula (10)

$$S = \frac{\sqrt{2 \times (145-61\sqrt{5})}}{11} r_{ec}^{20}$$

Substituyendo el valor de " $a_{12}$ ", fórmula (9), en la fórmula (1):

$$\begin{aligned}
 r_{c-5}^{II} &= \sqrt{\frac{5+\sqrt{5}}{10}} a_{12} = \sqrt{\frac{5+\sqrt{5}}{10}} \times \frac{\sqrt{2 \times (65-19\sqrt{5})}}{11} r_{ec}^{20} = \\
 &= \sqrt{\frac{5+\sqrt{5}}{10}} \times \frac{\sqrt{2 \times (65-19\sqrt{5})}}{11^2} r_{ec}^{20} = \sqrt{\frac{(5+\sqrt{5})(65-19\sqrt{5})}{5 \times 11^2}} r_{ec}^{20} = \\
 &= \sqrt{\frac{325+65\sqrt{5}-95\sqrt{5}-95}{5 \times 11^2}} r_{ec}^{20} = \sqrt{\frac{230-30\sqrt{5}}{5 \times 11^2}} r_{ec}^{20} = \sqrt{\frac{2 \times (23-3\sqrt{5})}{11^2}} r_{ec}^{20} =
 \end{aligned}$$



$$= \frac{\sqrt{2} \times \sqrt{23-3\sqrt{5}}}{11} r_{ec}^{20} = \text{y siendo } \left\{ \begin{array}{l} 23^2 = \frac{529}{(3\sqrt{5})^2 = \frac{45}{484} = 22^2} \end{array} \right\} =$$

$$= \frac{\sqrt{2} \times \left[ \sqrt{\frac{23+22}{2}} - \sqrt{\frac{23-22}{2}} \right]}{11} r_{ec}^{20} = \frac{\sqrt{2} \times \left[ \sqrt{\frac{45}{2}} - \sqrt{\frac{1}{2}} \right]}{11} r_{ec}^{20} =$$

$$= \frac{\sqrt{45} - 1}{11} r_{ec}^{20} = \frac{3\sqrt{5} - 1}{11} r_{ec}^{20} \text{ de donde se obtiene finalmente:}$$

"  $r_{C-5}$  " • Radio de la circunferencia circunscrita a una cara pentagonal del dodecaedro generador

Fórmula (11)

$$r_{C-5} = \frac{3\sqrt{5} - 1}{11} r_{ec}^{20}$$

Substituyendo el valor de " $\alpha_{12}$ ", fórmula (9), en la fórmula (6)

$$r_{oi}^{12} = \sqrt{\frac{25 + 11\sqrt{5}}{40}} \alpha_{12} = \sqrt{\frac{25 + 11\sqrt{5}}{40}} \times \frac{\sqrt{2 \times (65 - 19\sqrt{5})}}{11} r_{ec}^{20} =$$

$$= \sqrt{\frac{(25 + 11\sqrt{5})(65 - 19\sqrt{5})}{20 \times 11^2}} r_{ec}^{20} = \sqrt{\frac{1625 + 715\sqrt{5} - 475\sqrt{5} - 1045}{20 \times 11^2}} r_{ec}^{20} =$$

$$= \sqrt{\frac{580 + 240\sqrt{5}}{20 \times 11^2}} r_{ec}^{20} = \sqrt{\frac{29 + 12\sqrt{5}}{11^2}} r_{ec}^{20} = \frac{\sqrt{29 + 12\sqrt{5}}}{11} r_{ec}^{20} =$$

$$= \text{y siendo } \left\{ \begin{array}{l} 29^2 = \frac{841}{(12\sqrt{5})^2 = \frac{720}{121} = 11^2} \end{array} \right\} = \frac{\sqrt{\frac{29+11}{2}} + \sqrt{\frac{29-11}{2}}}{11} r_{ec}^{20} =$$

$$= \frac{\sqrt{\frac{40}{2}} + \sqrt{\frac{18}{2}}}{11} r_{ec}^{20} = \frac{\sqrt{20} + \sqrt{9}}{11} r_{ec}^{20} = \frac{2\sqrt{5} + 3}{11} r_{ec}^{20} \text{ de donde se obtiene finalmente:}$$

(Cálculos)

Marzo 1979





$r_{ei}^{12}$  = Radio de la esfera inscrita al dodecaedro generado

Fórmula (12)

$$r_{ei}^{12} = \frac{2\sqrt{5} + 3}{11} r_{ec}^{20}$$

Las fórmulas (9), (10), (11) y (12) nos permitirán calcular las magnitudes necesarias para la construcción de este poliedro cóncavo, siendo el dato del prisma  $r_{ec}^{20} = 110 \text{ mm}$ .

Los valores son los siguientes:

En la fórmula (9)

$$r_{12} = \frac{\sqrt{2}(65 - 19\sqrt{5})}{11} r_{ec}^{20} \approx 0,610036016... \times 110 \approx 67,10396179 \approx$$

$$\approx 67,1 \text{ mm}$$

En la fórmula (10)

$$r_5 = \frac{\sqrt{2} \times (145 - 61\sqrt{5})}{11} r_{ec}^{20} \approx 0,377022993 \times 110 \approx 41,47252922... \approx$$

$$\approx 41,5 \text{ mm}$$

En la fórmula (11)

$$r_{c-5}^{II} = \frac{3\sqrt{5} - 1}{11} r_{ec}^{20} \approx 0,518927630 \times 110 \approx 57,08203931 \approx$$

$$\approx 57,1 \text{ mm}$$



en la fórmula (12)

$$\boxed{\Gamma_{ei}^{12}} = \frac{2\sqrt{5}+3}{11} \Gamma_{ec}^{20} \approx 0.679285087 \times 110 \approx 74,721359954... \approx$$

$$\approx 74,7 \text{ mm}$$

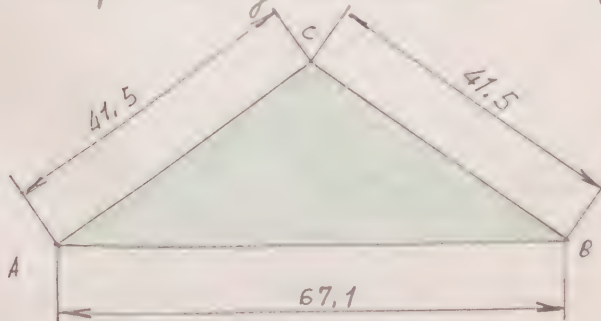
## 2) CONSTRUCCIÓN

Para la construcción de este poliedro se precisan las siguientes piezas:

PIEZA N° 1      CADAS SUPERFICIALES      150 unidades

Son triángulos isóceles cuya base es igual a " $a_n = 67,1 \text{ mm}$ " ver fórmula (9), y las longitudes de sus lados iguales " $s = 41,5 \text{ mm}$ " ver fórmula (10).

La forma y dimensiones se detallan en la figura 1



PIEZA N° 1      180 (u)

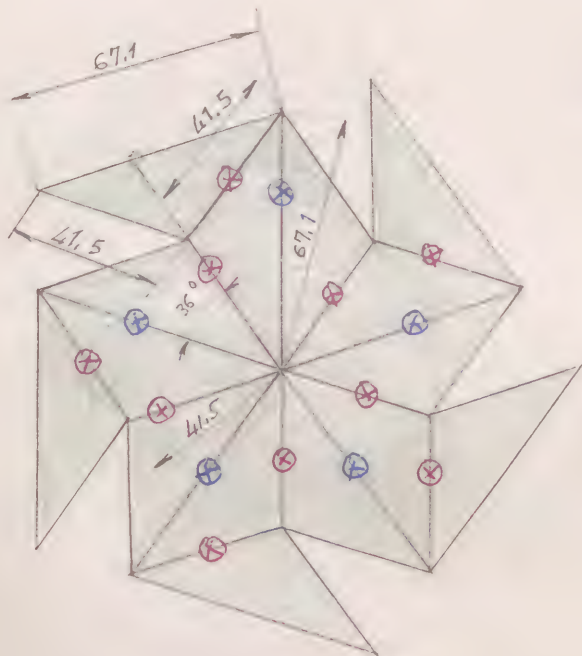
Figura 1

Figura 1

Puede simplificarse la construcción, formando previamente las doce pirámides estrelladas pentadécicas, y acoplándolas a continuación por las aristas del dodecaedro regular convexo generador.



El desarrollo lateral de estas pirámides estrelladas se obtiene por el acoplamiento de quince de ellas en la forma que se indica en la figura 2.



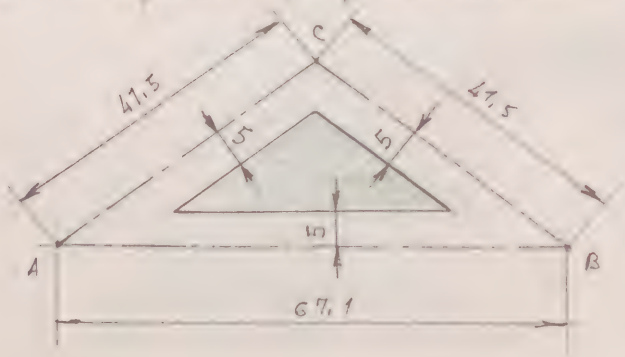
- ⊗ Doble hacia arriba del papel
- ⊗ Doble hacia abajo del papel

Figura 2

PIEZA N° 2      REFUERZO NORMAL CARAS SUPERFICIALES

180 unidades

La forma y dimensiones se deducen del triángulo ABC de la figura 1, y se detallan en la figura 3



PIEZA N° 2      180 (u)

Figura 3

Figura 3





PIEZA N° 3      UNIONES ARISTAS EN LADOS IGUALES CARAS SU-  
PERFICIALES      180 unidades

La forma y dimensiones se detallan en la figura 4

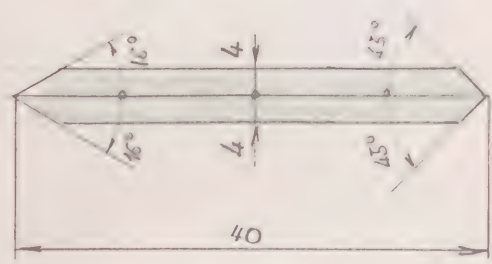


Figura 4

PIEZA N° 3      180 (u)

Figura 4

PIEZA N° 4      UNIONES ARISTAS EN LADOS DESIGUALES CARAS SU-  
PERFICIALES      90 (u)

La forma y dimensiones se detallan en la figura 5

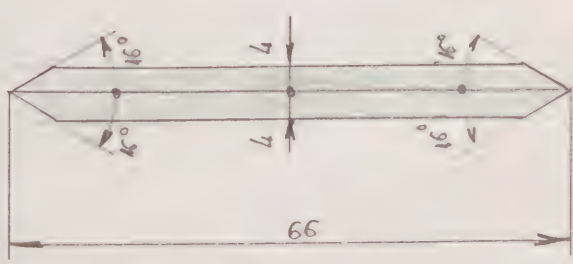


Figura 5

PIEZA N° 4      90 (u)

Figura 5

PIEZA N° 5      FORDO COLOREADO      180 unidades

La forma y dimensiones se deducen de las del triángulo ABC de la figura 1, y se detallan en la figura 6

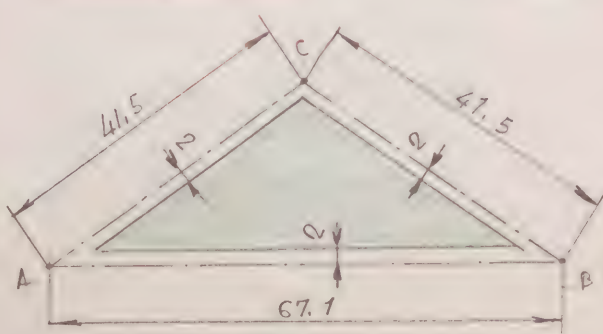


Figura 6

PIEZA N° 5      180 (u)

Figura 6



MODEL M-4.5





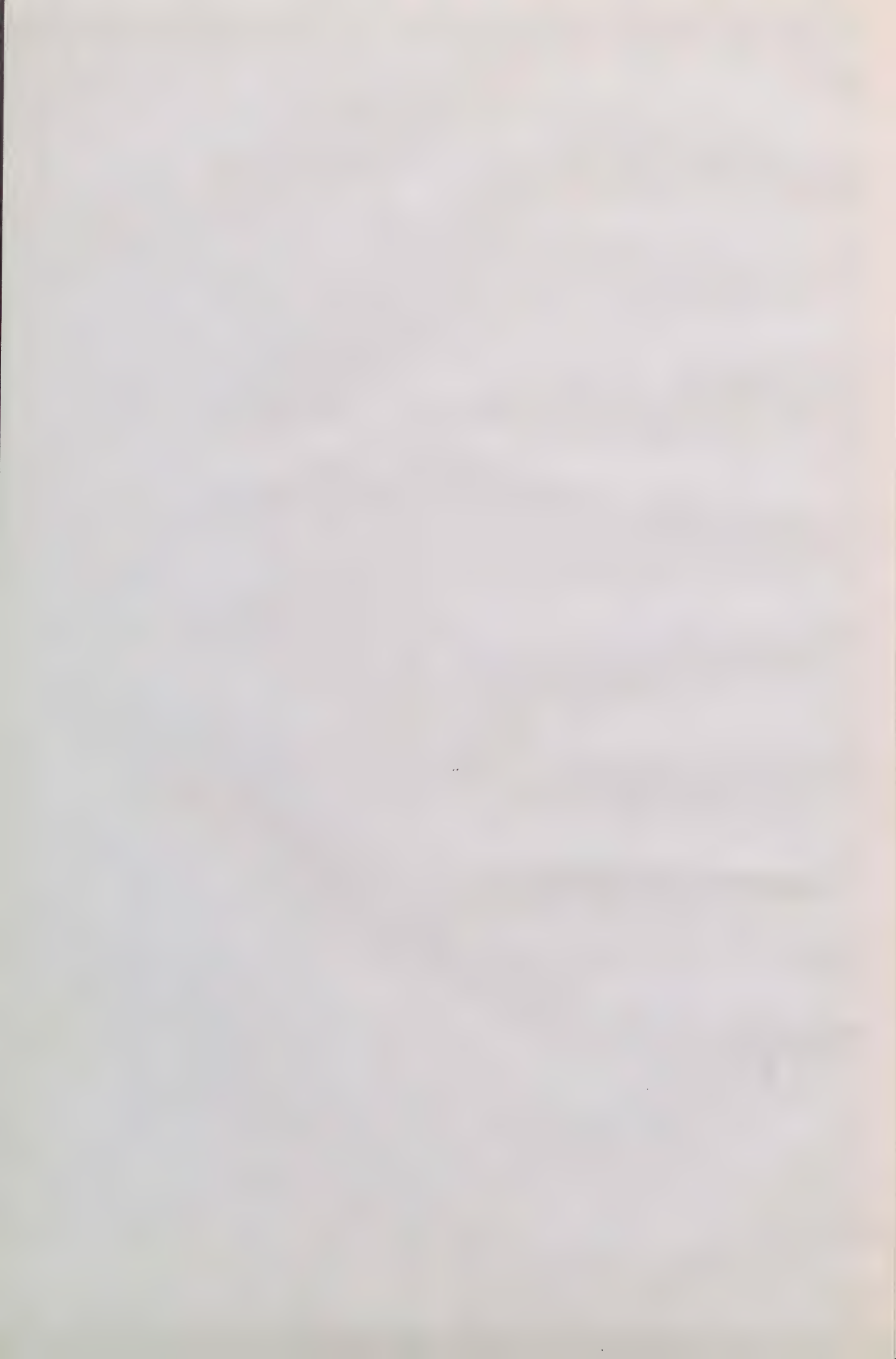


Variante del modelo M-4.5

POLIEDRO CÓNCAVO DE IGUALES CARACTERÍSTICAS QUE LAS DEL MODELO M-4.5, PERO CON SUS DOBLECES EN SENTIDO CONTRARIO, EXCEPTO EN LAS ARISTAS DEL DODECAEDRO GENERADOR

Radio de la esfera que pasa por los vértices de las pirámides estrelladas pentatédricas.

$$r' = 110 \text{ mm}$$



ENUNCIADO: Construir el modelo corpóreo cóncavo, obtenido al construir sobre cada cara de un dodecaedro regular convexo, una pirámide cóncava, dodecaédrica, de igual desarrollo a la del modelo M-4.5, pero en la que los dobleces de sus aristas son de sentido contrario, excepto en las aristas del dodecaedro generador.

Este poliedro puede considerarse como una variante de forma al estudiado en el modelo M-4.5 pues tanto el número de sus caras triangulares (150 u.) y sus dimensiones son iguales a las del mencionado modelo M-4.5. Tan sólo varía en los ángulos de los diedros formados por dos caras adyacentes, ya que al invertir la ejecución de los dobleces respectivos, resultan diferentes (los diedros cóncavos se transforman en convexos y viceversa).

De lo expuesto se deduce la validez del estudio de las dimensiones de este poliedro, realizado en el del mencionado modelo M-4.5.

Así pues, para la construcción de este modelo se necesitarán las siguientes piezas:

PIEZA N°1

CARAS SUPERFICIALES

(150 unidades)

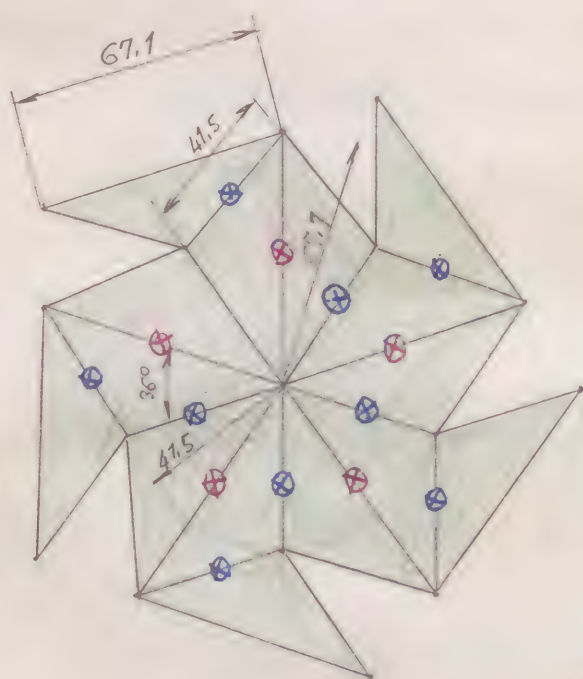




De igual forma y dimensiones que las de la pieza n° 1, figura 1, del modelo M-4.5.

Puede simplificarse la construcción, formando previamente las doce pirámides estrelladas pentagónicas, y acoplándolas a continuación por las aristas del dodecaedro regular con vexo generados.

El desarrollo lateral de estas doce pirámides estrelladas, se obtiene por el acoplamiento de quince caras en cada una ellas, en la forma que se indica en la figura 1.



⊗ Doble hacia arriba del papel

⊗ Doble hacia abajo del papel

Figura 1

PIEZA N° 2      REFUERZO NORMAL CARAS SUPERFICIALES

180 unidades

De igual forma y dimensiones que las de la pieza n° 2 figura 3, del modelo M-4.5





PIEZA N° 3      UNIONES ARISTAS EN LADOS IGUALES      CARAS  
SUPERFICIALES      180 unidades

De igual forma y dimensiones que las de la pieza n° 3,  
 figura 4, del modelo M-4.5

PIEZA N° 4      UNIONES ARISTAS EN LADOS DESIGUALES      CARAS  
SUPERFICIALES      90 unidades

De igual forma y dimensiones que las de la pieza n° 4,  
 figura 5, del modelo M-4.5

PIEZA N° 5      FORRO COLOREADO      180 unidades

De igual forma y dimensiones que las de la pieza n° 5,  
 figura 6, del modelo M-4.5



MODELO

M - 4.6







OBJETIVO

MODELO CORPÓREO COMPUESTO DE

LOS SIGUIENTES POLIEDROS: A)

DODECAEDRO REGULAR CONVEXO ;

B) EXAEDRO REGULAR CONVEXO

INSCRITO EN A); C) TETRAEDRO

REGULAR CONVEXO INSCRITO EN

A) Y B). \_\_\_\_\_

Radio de la esfera circunscrita común:

$$r' = 110 \text{ mm}$$



ENUNCIADO: Construir el modelo corpóreo compuesto de los siguientes poliedros: A) Dodecaedro regular convexo; B) Ecaedro regular convexo inscrito en A.; C) Tetraedro regular convexo, inscrito en A y B.

DATO:

$r_{ec}^{12}$  = Radio de la esfera circunscrita al dodecaedro

$$r_{ec}^{12} = 110 \text{ mm}$$

Los poliedros componentes tienen las siguientes características constructivas:

- 1) Dodecaedro regular convexo, de caras vaciadas
- 2) Ecaedro regular convexo, de caras vaciadas
- 3) Tetraedro regular convexo, de caras macizas

Para la construcción de los mismos, se precisan las siguientes piezas:

A) DODECAEDRO REGULAR CONVEXO DE CARAS VACIADAS

De igual forma y dimensiones que las del modelo M-4.102



PIEZA N° 1 CARAS SUPERFICIALES12 unidades

Igual a la pieza n° 1 del modelo M-4.102

PIEZA N° 2 UNIONES ARISTAS30 unidades

Igual a la pieza n° 2 del modelo M-4.102

B) EXAEDRO REGULAR CONVEXO DE CARAS VACIAS

De igual forma y dimensiones que las del modelo M-2.102

PIEZA N° 3 CARAS SUPERFICIALES6 unidades

Igual a la pieza n° 1 del modelo M-2.102

PIEZA N° 4 UNIONES ARISTAS12 unidades

Igual a la pieza n° 2 del modelo M-2.102

C) TETRAEDRO REGULAR CONVEXO DE CARAS MACIZAS

De igual forma y dimensiones que las del modelo M-1.101

PIEZA N° 5 CARAS SUPERFICIALES4 unidades

Igual a la pieza n° 1 del modelo M-1.101

PIEZA N° 6 REFUERZO NORMAL INTERIOR4 unidades

Igual a la pieza n° 2 del modelo M-1.101





PIEZA N° 7      REFUERZO TRANSVERSAL INTERIOR      12 unidades

Igual a la pieza n° 3 del modelo M-1.101

PIEZA N° 8      UNIONES ARISTAS      6 unidades

Igual a la pieza n° 4 del modelo M-1.101

PIEZA N° 9      FORRO COLOREADO DE LAS CARAS SUPERFICIALES

4 unidades

Igual a la pieza n° 5 del modelo M-1.101



ENUNCIADO: Construir el modelo corpóreo compuesto de los siguientes poliedros: A) Dodecaedro regular convexo; B) Octaedro regular convexo, y C) Componentes del modelo M-19.2 (un octaedro regular convexo y dos tetraedros regulares convexos).

Los poliedros componentes de este modelo, tienen las siguientes características constructivas:

- A) Dodecaedro regular convexo, de caras vaciadas.
- B) Octaedro regular convexo, de caras vaciadas.
- C) Componentes del modelo M-19.2:
  - c1) Octaedro regular convexo, de caras macizas.
  - c2) Dos tetraedros regulares convexos, de caras vaciadas.

Los poliedros B) y C2), están inscritos en el A), siendo el radio de sus esferas circunscritas iguales ( $r_{oc}^4 = r_{oc}^6 = r_{ec}^{12}$ )

Para la construcción de los mismos, se precisan las siguientes piezas:

DATO:  $r_{ec}^4 = r_{ec}^6 = r_{ec}^{12} = 110 \text{ mm}$

A) DODECAEDRO REGULAR CONVEXO DE CARAS VACIADAS

De igual forma y dimensiones que las del modelo M-4.102

PIEZA N° 1      CARAS SUPERFICIALES      12 unidades

Igual a la pieza n° 1 del modelo M-4.102

Alvarez

Marzo 1979





PIEZA N° 2      UNIONES      ARISTAS      30 unidades

Igual a la pieza n° 2 del modelo M-4.102

B)      EXAEDRO REGULAR CONVEXO DE CARAS VACIADAS

De igual forma y dimensiones que las del modelo M-2.102

PIEZA N° 3      CARAS SUPERFICIALES      4 unidades

Igual a la pieza n° 3 del modelo M-2.102

PIEZA N° 4      UNIONES      ARISTAS      12 unidades

Igual a la pieza n° 4 del modelo M-2.102

c)      COMPONENTES DEL MODELO M-19.2

c1)      OCTAEDRO REGULAR CONVEXO DE CARAS MACIZAS, SÓ-  
LIDO COMUN DE LOS DOS TETRAEDROS REGULARES CON-  
VEXOS CONJUGADOS POR SUS ARISTAS.

De igual forma y dimensiones que las del modelo M-19.2

PIEZA N° 5      CARAS SUPERFICIALES      8 unidades

Igual a la pieza n° 5 del modelo M-19.2



PIEZA N° 6      REFUERZO NORMAL INTERIOR DE LAS CARAS  
SUPERFICIALES      8 unidades

Igual a la pieza n° 2 del modelo M-19.2

PIEZA N° 7      REFUERZO TRANSVERSAL DE LAS CARAS SUPER-  
FICIALES      16 unidades

Igual a la pieza n° 3 del modelo M-19.2

PIEZA N° 8      UNIONES ADISTAS      12 unidades

Igual a la pieza n° 4 del modelo M-19.2

PIEZA N° 9      FORRO COLOREADO      8 unidades

Igual a la pieza n° 5 del modelo M-19.2

c2) TETRAEDRO REGULAR CONVEXO DE CARAS VACIADAS,  
EN EL CUAL ESTÁ UBICADO EL OCTAEDRO C1

De igual forma y dimensiones que las del modelo M-1.102

PIEZA N° 10      CARAS SUPERFICIALES      4 unidades

Igual a la pieza n° 1 del modelo M-1.102



PIEZA N° 11      UNIONES ARISTAS      6 unidades

Igual a la pieza n° 2 del modelo M-1.102

C3) TETRAEDRO REGULAR CONVEXO DE CARAS VACIADAS,  
CONJUGADO POR SUS ARISTAS CON EL TETRAEDRO G2, Y FOR-  
MADO POR CUATRO TETRAEDROS REGULARES DE CARAS VA-  
CIADAS, Y ARISTA  $a_4 = a_8$

PIEZA N° 12      DESARROLLO DE LAS TRES CARAS LATERALES EN  
CADA VÉRTICE      4 unidades

Igual a la pieza n° 5 (fig. 3) del modelo M-19.1

PIEZA N° 13      UNIONES ARISTAS      12 unidades

Igual a la pieza n° 6 (fig. 4) del modelo M-19.1





MODELO CORPÓREO COMPUESTO DE  
LOS SIGUIENTES POLIEDROS: A) DO-  
DECAEDRO REGULAR CONVEXO, Y B)  
TETRAEDRO REGULAR CONVEXO INS-  
CRITO EN EL DODECAEDRO A).

Radio de la esfera circunscrita,

$$r' = 76.1 \text{ mm}$$



ENUNCIADO: Construir el modelo corpóreo compuesto de los siguientes poliedros: A) Dodecaedro regular convexo y B) Tetraedro regular convexo, inscrito en el dodecaedro A.

Uniendo, de forma adecuada, cada vértice de un dodecaedro regular convexo, con otros tres del mismo, los segmentos rectilíneos obtenidos, son aristas de un tetraedro regular convexo, que estará inscrito en el dodecaedro. Los centros del dodecaedro y, tetraedro regulares, son coincidentes, y la esfera circunscrita a uno de ellos es también coincidente con la del otro.

Esta propiedad es la que se pone de manifiesto en este modelo M-4.9

Por el proceso expuesto anteriormente, en todo dodecaedro regular convexo pueden inscribirse hasta 10 tetraedros distintos, los cuales son conjugados por sus aristas, dos a dos.

Las características constructivas de los dos poliedros que forman este modelo, son las siguientes:

- 1) Dodecaedro regular convexo, de caras vaciadas.
- 2) Tetraedro regular convexo, de caras macizas

DATO: Radio " $r_{ec}^{12}$ " de la esfera circunscrita común:

$$r_{ec}^4 = r_{ec}^{12} = 76.1 \text{ mm}$$





Para la construcción de este modelo, se precisan las siguientes piezas:

A) DODECAEDRO REGULAR CONVEXO DE CARAS VACIADAS

De igual forma y dimensiones que las del modelo M-4.2

PIEZA N° 1 CARAS SUPERFICIALES 12 unidades

Igual a la pieza n° 1 (fig. 1) del modelo M-4.2

PIEZA N° 2 UNIONES ARISTAS 30 unidades

Igual a la pieza n° 2 (fig. 2) del modelo M-4.2

B) TETRAEDRO REGULAR CONVEXO DE CARAS MACIZAS

De igual forma y dimensiones que las del modelo M-1.1

PIEZA N° 3 CARAS SUPERFICIALES 4 unidades

Igual a la pieza n° 1 (fig. 1) del modelo M-1.1

PIEZA N° 4 REFUERZO NORMAL INTERIOR 4 unidades

Igual a la pieza n° 2 (fig. 2) del modelo M-1.1



PIEZA N° 5      REFUERZO TRANSVERSAL INTERIOR      12 unidades

Igual a la pieza n° 3 (fig. 3) del modelo M-1.1

PIEZA N° 6      UNIONES A DISTAS      6 unidades

Igual a la pieza n° 4 (fig. 4) del modelo M-1.1

PIEZA N° 7      FORRO COLOREADO      4 unidades

Igual a la pieza n° 5 (fig. 5) del modelo M-1.1



# INTRODUCCIÓN

MODELO CORPÓREO COMPUESTO DE  
 LOS SIGUIENTES POLIEDROS: A) DO-  
 DECAEDRO REGULAR CONVEXO, Y B)  
 EXAEDRO REGULAR CONVEXO, INS-  
 CRITO EN EL DODECAEDRO A).

Radio de la esfera circunscrita:

$$r' = 76.1 \text{ m.m.}$$





ENUNCIADO: Construir el modelo corpóreo compuesto de los siguientes poliedros: A) Dodecaedro regular convexo y B) Escaedro regular convexo, inscrito en el dodecaedro A.

Uniendo, de forma adecuada, tres vértices de un dodecaedro regular convexo, con otros tres del mismo, de forma que los seis segmentos rectilíneos que los unen sean diagonales de las caras de dicho dodecaedro, se puede obtener un escaedro regular convexo, cuyas aristas sean las seis diagonales mencionadas, y el escaedro estará inscrito en el dodecaedro. Los centros del dodecaedro y escaedro regulares, son coincidentes, y la esfera circunscrita a uno de ellos, es también coincidente con la del otro.

Esta propiedad es la que se pone de manifiesto en este modelo M-4,10

Por el proceso expuesto anteriormente, en todo dodecaedro regular convexo pueden obtenerse hasta cinco escaedros distintos, inscritos en el mencionado dodecaedro

Las características constructivas de los dos poliedros que forman este modelo, son las siguientes:

- 1) Dodecaedro regular convexo, de caras vaciadas, 2
- 2) Escaedro regular convexo, de caras macizas.



DATO :  $r_{ec}^{12}$  = Radio de la esfera circunscrita común:

$$r_{ec}^6 = r_{ec}^{12} = 76.1 \text{ m m}$$

Para la construcción de este modelo, se precisan las siguientes piezas:

A) DODECAEDRO REGULAR CONVEXO DE CARAS VACIADAS

De igual forma y dimensiones que las del modelo M-4.2

PIEZA N° 1      CARAS SUPERFICIALES      12 unidades

Igual a la pieza n° 1 (fig. 1) del modelo M-4.2

PIEZA N° 2      UNIONES ARISTAS      30 unidades

Igual a la pieza n° 2 (fig. 2) del modelo M-4.2

B) EXAEDRO REGULAR CONVEXO DE CARAS MACIZAS

De igual forma y dimensiones que las del modelo M-2.1

PIEZA N° 3      CARAS SUPERFICIALES      6 unidades

Igual a la pieza n° 1 (fig. 1) del modelo M-2.1

PIEZA N° 4      REFUERZO NORMAL INTERIOR      6 unidades

Igual a la pieza n° 2 (fig. 2) del modelo M-2.1





PIEZA N° 5      REFUERZO TRANSVERSAL INTERIOR      24 unidades

Igual a la pieza n°3 (fig. 3) del modelo M-2.1

PIEZA N°6      UNIONES ARISTAS      12 unidades

Igual a la pieza n°4 (fig. 4) del modelo M-2.1

PIEZA N°7      FORRO COLOREADO      6 unidades

Igual a la pieza n°5 (fig. 5) del modelo M-2.1



# EXERCICIO

MODELO CORPÓREO COMPUESTO DE

LOS SIGUIENTES POLIEDROS: A) DO-

DECAEDRO REGULAR CONVEXO, Y

B) DOS TETRAEDROS REGULARES CON-

VEXOS, COMPONENTES DEL MODELO

M-12.1, INSCRITOS EN A). —

Radio de la esfera circunscrita

$$r' = 110 \text{ mm.}$$



ENUNCIADO:

Construir el modelo corpóreo compuesto de los siguientes poliedros: A) Dodecaedro regular convexo y B) Dos tetraedros regulares convexos, componentes del modelo M-12.1, inscritos en A.

En el estudio del modelo M-4.10, vimos que el exaedro regular convexo es inscriptible en el dodecaedro regular convexo.

Por otra parte, en el modelo M-1.4, también vimos que el tetraedro regular convexo, (y su conjugado por sus aristas), son o son inscriptibles en el exaedro regular convexo. Como consecuencia de lo expuesto, se deduce que dos tetraedros regulares convexos, conjugados por sus aristas, pueden ser inscritos en el dodecaedro regular convexo

Esta propiedad es la que se pone de manifiesto en el presente modelo M-4.11.

Las características constructivas de los tres poliedros que forman este modelo, son las siguientes:

- 1) Dodecaedro regular convexo, de caras vaciadas, y
- 2) Dos tetraedros regulares convexos, conjugados por sus aristas, de caras macizas





DATO:  $r_{ec}^{12}$  = " Radio de la esfera circunscrita común.

$$r_{ec}^{12} = r_{ec}^4 = 110 \text{ mm}$$

Para la construcción de este modelo, se precisan las siguientes piezas:

A) DODECAEDRO REGULAR CONVEXO DE CARAS VACIADAS

De igual forma y dimensiones que las del modelo M-4,102

PIEZA N° 1      CARAS SUPERFICIALES      12 unidades

Igual a la pieza n° 1, (fig. 1) del modelo M-4,102

PIEZA N° 2      UNIONES ARISTAS      30 unidades

Igual a la pieza n° 2 (fig. 2) del modelo M-4,102

B) DOS TETRAEDROS REGULARES CONVEXOS, CONJUGADOS POR SUS ARISTAS, DE CARAS MACIZAS

De igual forma y dimensiones que las del modelo M-12,1

PIEZA N° 3      CARAS SUPERFICIALES      4 unidades

Igual a la pieza n° 3 (fig. 1) del modelo M-12,1



PIEZA N° 4      REFUERZO NORMAL DE LAS CARAS SUPERFICIALES

4 unidades

Igual a la pieza n° 2 (fig. 2) del modelo M-12.1

PIEZA N° 5      REFUERZO TRANSVERSAL DE LAS CARAS SUPERFICIALES

12 unidades

Igual a la pieza n° 3 (fig. 3) del modelo M-12.1

PIEZA N° 6      UNIONES ARISTAS

6 unidades

Igual a la pieza n° 4 (fig. 4) del modelo M-12.1

PIEZA N° 7      FORRO COLOREADO EN ZONAS VISTAS DE LAS CARAS LATERALES Y PIRÁMIDES APARENTES

24 unidades

Igual a la pieza n° 5 (fig. 5) del modelo M-12.1

PIEZA N° 8      CARAS LATERALES DE LAS PIRÁMIDES APARENTES

12 unidades

Igual a la pieza n° 6 (fig. 6) del modelo M-12.1





PIEZA N° 9 REFUERZO NORMAL DE LAS CARAS LATERALES  
DE LAS PIRÁMIDES APARENTES 12 unidades

Igual a la pieza n° 7 (fig. 7) del modelo M-12.1

PIEZA N° 10 REFUERZO TRANSVERSAL DE LAS CARAS LATERALES  
DE LAS PIRÁMIDES APARENTES 24 unidades

Igual a la pieza n° 8 (fig. 8) del modelo M-12.1

PIEZA N° 11 UNIONES ARISTAS DE LAS CARAS LATERALES DE  
LAS PIRÁMIDES APARENTES 24 unidades

Igual a la pieza n° 9 (fig. 9) del modelo M-12.1



# EN INVUESTO

MODELO CORPÓREO DEL POLIEDRO CONVEXO

DE CARAS MACIZAS OBTENIDO AL CONSTRUIR

SOBRE CADA CARA DE UN DODECAEDRO RE-

GULAR CONVEXO, UNA PIRÁMIDE RECTA CU-

YA BASE ES DICHA CARA Y SUS CARAS LA-

TERALES SON TRIÁNGULOS EQUILÁTEROS. -

Radio de la esfera que pasa por los vértices de  
las pirámides rectas pentagonales

$$r' = 110 \text{ mm}$$



ENUNCIADO: Construir el modelo corpóreo del poliedro cóncavo obtenido al construir sobre cada cara de un dodecaedro regular convexo, una pirámide recta cuya base es dicha cara y sus caras laterales son triángulos equiláteros.

Se tiene como dato único el del radio " $r_{cc}^{20}$ " de la esfera que contiene a los vértices de las pirámides rectas, o esfera circunscrita al poliedro.

DATO: Radio máximo " $r_{cc}^{20}$ " de la esfera circunscrita al poliedro pedido:

$$r_{cc}^{20} = 110 \text{ m m}$$

### 1) PROPIEDADES

De acuerdo con la definición de la generación del poliedro estudiado, dada en el enunciado, vamos a enunciar las propiedades más importantes del mismo, algunas de las cuales son básicas para el cálculo de sus dimensiones.

p1) El poliedro se compone de doce pirámides rectas pentagonales cuya base es un pentágono regular, cara del dodecaedro generador y sus caras laterales son triángulos equiláteros; estas pirámides tienen las aristas de sus bases, comunes





do a do.

P2) El número de caras  $C$  es de  $12 \times 5 = 60$  (u)

El número de vértices  $V$  es de: 12 en los vértices de las pirámides, 2

en total 32 vértices

20 en los vértices del dodecaedro generador.

Total 32 (u)

El número de aristas  $A$  es de:

en las caras laterales de las pirámides  $= 5 \times 12 = 60$

en las bases de las mismas  $= \frac{5 \times 12}{2} = 30$

Total 90 (u)

en resumen este poliedro tiene:  $C = 60$  caras

$V = 32$  vértices

$A = 60 + 30 = 90$  aristas

verificándose el Teorema de Euler

$$C + V = A + 2$$

$$60 + 32 = 90 + 2$$

P3) El radio  $r_{ec}^{20}$  de la esfera circunscrita, es igual a la suma del radio  $r_{ei}^{12}$  de la esfera inscrita al dodecaedro generador de arista  $a_{12}$  y de la altura  $h_5$  de la pirámide pentagonal recta.

$$r_{ec}^{20} = r_{ei}^{12} + h_5 \quad (1)$$

P4) La altura  $h_5$  de la pirámide pentagonal recta, es un cateto de un triángulo rectángulo, que tiene por hipotenusa la arista  $a_{12}$  (igual al lado de las caras triangulares).



lados equiláteros), y por otro cateto el radio  $r_{c-5}$  de la circunferencia circunscrita al pentágono regular de las caras del dodecaedro generador, por lo que será:

$$h_5 = \sqrt{(a_{12})^2 - (r_{c-5})^2} \quad (2)$$

P5) Todas las caras de este poliedro son iguales, en forma de triángulos equiláteros de lado  $l_3$  igual a la arista  $a_{12}$  del dodecaedro generador.

Teniendo en cuenta las propiedades anteriores, vamos a hacer uso de ellas para aplicarlas al cálculo analítico de las magnitudes lineales, necesarias para la construcción del poliedro estudiado.

Como fórmulas previas, deducidas en otros ejercicios, recordamos las siguientes:

1<sup>a</sup> " $r_{c-5}$ " = Radio de la circunferencia circunscrita al pentágono regular de lado  $a_{12}$  (arista del dodecaedro generador).

$$r_{c-5} = \sqrt{\frac{5 + \sqrt{5}}{10}} a_{12} \quad (3)$$

Ver ejercicio G.P. 1.400-64

2<sup>a</sup> " $r_{ei}$ " = Radio de la esfera inscrita al dodecaedro generador





$$\boxed{r_{ei}^{12} = \sqrt{\frac{25 + 11\sqrt{5}}{40}} a_{12}} \quad (4)$$

Por ejercicio G.E. (?) Lámina 4

Calculemos a continuación las siguientes magnitudes

3: " $h_5$ " = Altura de la pirámide pentagonal recta

Se obtiene sustituyendo en la fórmula (2) el valor de  $r_{c-5}$  de la fórmula (3)

$$\begin{aligned} \boxed{h_5} &= \sqrt{(a_{12})^2 - (r_{c-5})^2} = \sqrt{(a_{12})^2 - \left[ \sqrt{\frac{5 + \sqrt{5}}{10}} a_{12} \right]^2} = \sqrt{(a_{12})^2 - \frac{5 + \sqrt{5}}{10} (a_{12})^2} = \\ &= \sqrt{1 - \frac{5 + \sqrt{5}}{10}} \times a_{12} = \boxed{\sqrt{\frac{5 - \sqrt{5}}{10}} a_{12}} \quad (5) \end{aligned}$$

4: " $r_{ec}^{20}$ " = Radio de la esfera circunscrita al poliedro estudiado que pasa por los vértices de las pirámides rectas pentagonales

Se obtiene sustituyendo en la fórmula (1) los valores de las (4) y (5).

$$\begin{aligned} r_{ec}^{20} &= r_{ei}^{12} + h_5 = \sqrt{\frac{25 + 11\sqrt{5}}{40}} a_{12} + \sqrt{\frac{5 - \sqrt{5}}{10}} a_{12} = \\ &= \left[ \sqrt{\frac{25 + 11\sqrt{5}}{40}} + \sqrt{\frac{5 - \sqrt{5}}{10}} \right] a_{12} = \sqrt{\left[ \sqrt{\frac{25 + 11\sqrt{5}}{40}} + \sqrt{\frac{5 - \sqrt{5}}{10}} \right]^2} \times a_{12} = \end{aligned}$$



$$= \sqrt{\frac{25 + 11\sqrt{5}}{40} + \frac{5 - \sqrt{5}}{10} + 2 \times \sqrt{\frac{25 + 11\sqrt{5}}{40} \times \frac{5 - \sqrt{5}}{10}}} \quad a_{12} =$$

$$= \sqrt{\frac{25 + 11\sqrt{5} + 20 - 4\sqrt{5}}{40} + 2 \times \sqrt{\frac{(25 + 11\sqrt{5})(5 - \sqrt{5})}{400}}} \quad a_{12} =$$

$$= \sqrt{\frac{45 + 7\sqrt{5}}{40} + 2 \sqrt{\frac{125 + 55\sqrt{5} - 35\sqrt{5} - 55}{400}}} \quad a_{12} =$$

$$= \sqrt{\frac{45 + 7\sqrt{5}}{40} + 2 \sqrt{\frac{70 + 30\sqrt{5}}{400}}} \quad a_{12} = \sqrt{\frac{45 + 7\sqrt{5}}{40} + 2 \times \sqrt{\frac{7 + 3\sqrt{5}}{40}}} \quad a_{12} =$$

$$= \sqrt{\frac{45 + 7\sqrt{5}}{40} + \frac{\sqrt{7 + 3\sqrt{5}}}{\sqrt{10}}} \quad a_{12} = \left( \text{y siendo } 7^2 - (3\sqrt{5})^2 = 49 - 45 = 4 = 2^2 \right)$$

$$= \sqrt{\frac{45 + 7\sqrt{5}}{40} + \frac{\sqrt{\frac{9}{2}} + \sqrt{\frac{5}{2}}}{\sqrt{10}}} \quad a_{12} = \sqrt{\frac{45 + 7\sqrt{5}}{40} + \frac{\frac{3 + \sqrt{5}}{\sqrt{2}}}{\sqrt{10}}} \quad a_{12} =$$

$$= \sqrt{\frac{45 + 7\sqrt{5}}{40} + \frac{3 + \sqrt{5}}{\sqrt{20}}} \quad a_{12} = \sqrt{\frac{45 + 7\sqrt{5}}{40} + \frac{(3 + \sqrt{5})(2\sqrt{5})}{20}} \quad a_{12} =$$

$$= \sqrt{\frac{45 + 7\sqrt{5}}{40} + \frac{6\sqrt{5} + 10}{20}} \quad a_{12} = \sqrt{\frac{45 + 7\sqrt{5} + 12\sqrt{5} + 20}{40}} \quad a_{12} =$$

$$= \sqrt{\frac{65 + 19\sqrt{5}}{40}} \quad a_{12} = \text{de donde se obtiene finalmente:}$$

$$\boxed{r_{oc}^{20} = \sqrt{\frac{65 + 19\sqrt{5}}{40}} \quad a_{12}} \quad (c)$$

Esta fórmula nos permite calcular la arista del poliedro estudiado, en función del radio de su esfera circunscrita.

Alvar

junio 1979





Hasiendo el dato de este modelo el radio  $r_{ec}^{20} = 110 \text{ mm}$  de la esfera circunscrita al mismo, que contiene los vértices de las pirámides rectas pentagonales, cuyas caras laterales son triángulos equiláteros de arista " $a_{12}$ ", vamos a deducir de la fórmula (6) el valor de " $a_{12}$ " en función de  $r_{ec}^{20}$ ; para ello, despejando " $a_{12}$ ", tendremos:

$$\begin{aligned}
 a_{12} &= 1 : \sqrt{\frac{65 + 19\sqrt{5}}{40}} r_{ec}^{20} = \sqrt{1 : \frac{65 + 19\sqrt{5}}{40}} r_{ec}^{20} = \\
 &= \sqrt{\frac{40}{65 + 19\sqrt{5}}} r_{ec}^{20} = \sqrt{\frac{40 \times (65 - 19\sqrt{5})}{65^2 - (19\sqrt{5})^2}} r_{ec}^{20} = \sqrt{\frac{40 \times (65 - 19\sqrt{5})}{4225 - 1805}} r_{ec}^{20} = \\
 &= \sqrt{\frac{40 \times (65 - 19\sqrt{5})}{2420}} r_{ec}^{20} = \sqrt{\frac{2 \times (65 - 19\sqrt{5})}{121}} r_{ec}^{20} = \sqrt{\frac{130 - 38\sqrt{5}}{11^2}} r_{ec}^{20} = \\
 &= \frac{\sqrt{130 - 38\sqrt{5}}}{11} r_{ec}^{20}
 \end{aligned}$$

de donde se obtiene finalmente:

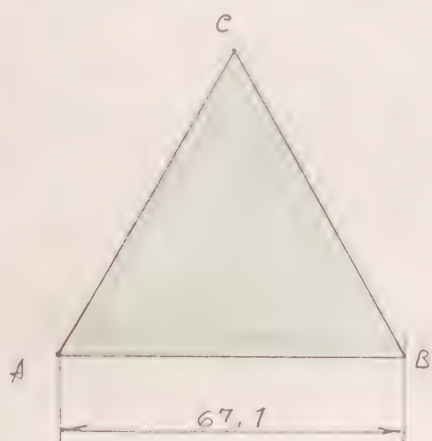
$$a_{12} = \frac{\sqrt{130 - 38\sqrt{5}}}{11} r_{ec}^{20} \quad (7)$$

Aplicando la fórmula (7), podemos construir el poliedro estudiado en este ejercicio, ya que nos representa caras laterales son triángulos equiláteros iguales cuyo lado  $l_3$  es conocido por ser  $l_3 = a_{12}$ .





Por consiguiente, dicho modelo se obtendrá acoplado convenientemente las sesenta caras triangulares, cuyas dimensiones se detallan en la figura 1. - La longitud de su lado, será pues



$$l_3 = AB = BC = CA = a_{12} = \frac{\sqrt{130 - 38\sqrt{5}}}{11} r_{ec}^{20} \approx$$

$$\approx 0,610036016 \times 110 \approx 67,10396178 =$$

$$\approx 67,1 \text{ mm}$$

Figura 1

Puede simplificarse la construcción, formando previamente las doce pirámides pentagonales, cuyo desarrollo se detalla en la figura 2, y acoplándolas posteriormente por las aristas de sus bases.

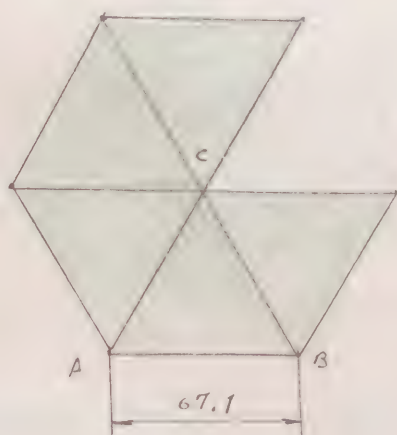


Figura 2

La construcción de este poliedro, partiendo de una sola cara repetida 66 veces (fig. 1) o de la construcción previa de sus doce pirámides pentagonales (fig. 2), presenta dificultades en el acoplamiento de las aristas correspondientes al dodecaedro regular convexo, por ser cóncavo el diedro formado en dichas aristas por dos caras adyacentes, que son a su vez de caras cóncavas.

Esta dificultad desaparece si construimos previamente el poliedro con sus caras vaciadas y formamos posteriormente con



caras macizas triangulares cada una de ellas. Así pues, procederemos a su construcción, mediante el acoplamiento de las siguientes piezas:

PIEZA N° 1      DESARROLLO LATERAL DE LAS DOCE PIRÁMI-  
DES RECTAS PENTA GONALES      12 unidades

Están compuesta cada una de ellas de cinco triángulos equi-  
lateros iguales. Su forma y dimensiones se detallan  
en la figura 3

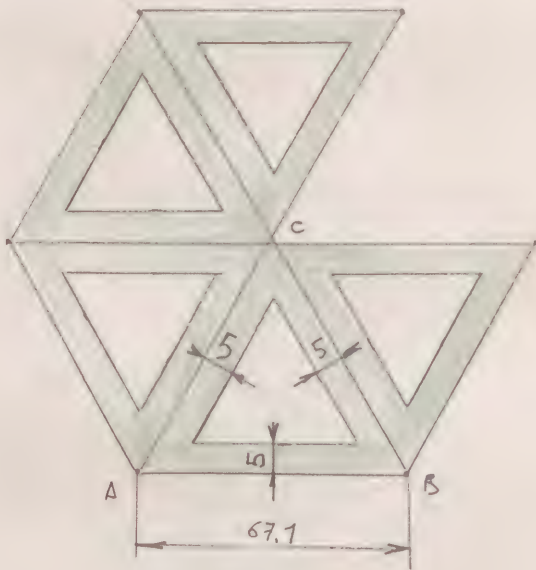


Figura 3

PIEZA N° 1      12 (u)

Figura 3

PIEZA N° 2      UNIONES AGISTAS      90 unidades

La forma y dimensiones se detallan en la figura 4

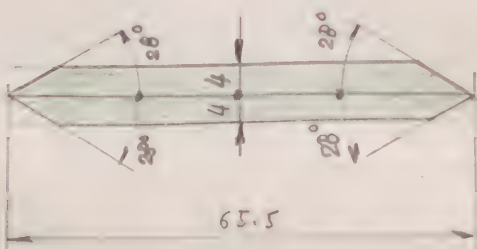


Figura 4

PIEZA N° 2      90 (u)

Figura 4





PIEZA N° 3

FORRO MACIZO DE LAS CARAS LATERALES

60 unidades

Los triángulos equiláteros.. Su forma y dimensiones se representan en la figura 5.

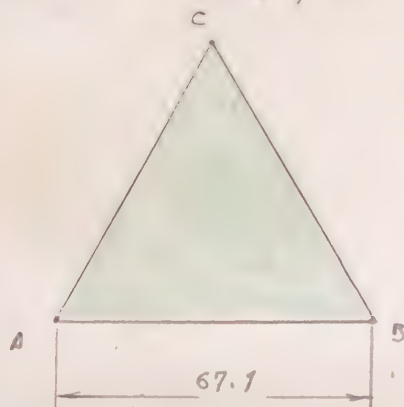


Figura 5

PIEZA N° 3

60 (u)

Figura 5

PIEZA N° 4

REFUERZO CARAS LATERALES

60 unidades

La forma y dimensiones se representan en la figura 6, y se deducen de las del triángulo ABC de la figura 5

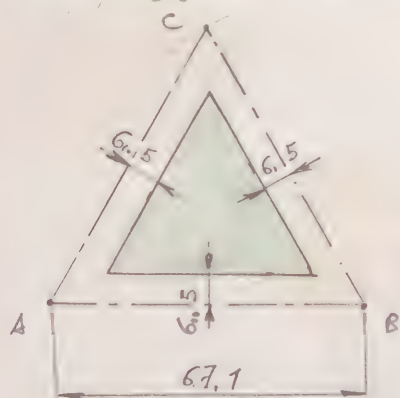


Figura 6

PIEZA N° 4

60 (u)

Figura 6

PIEZA N° 5

FORRO COLOREADO EN CARAS LATERALES

60 unidades

La forma y dimensiones se representan en la figura 7, y se deducen de las del triángulo ABC, de la figura 5.



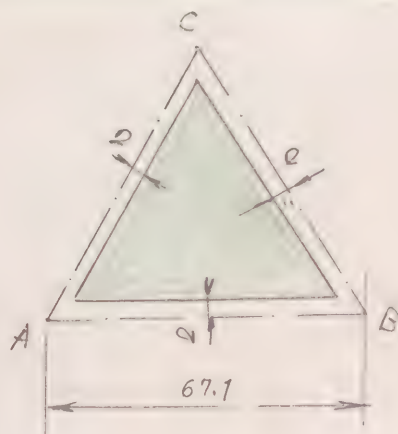


Figura 7

PIEZA N° 5

60 (u)

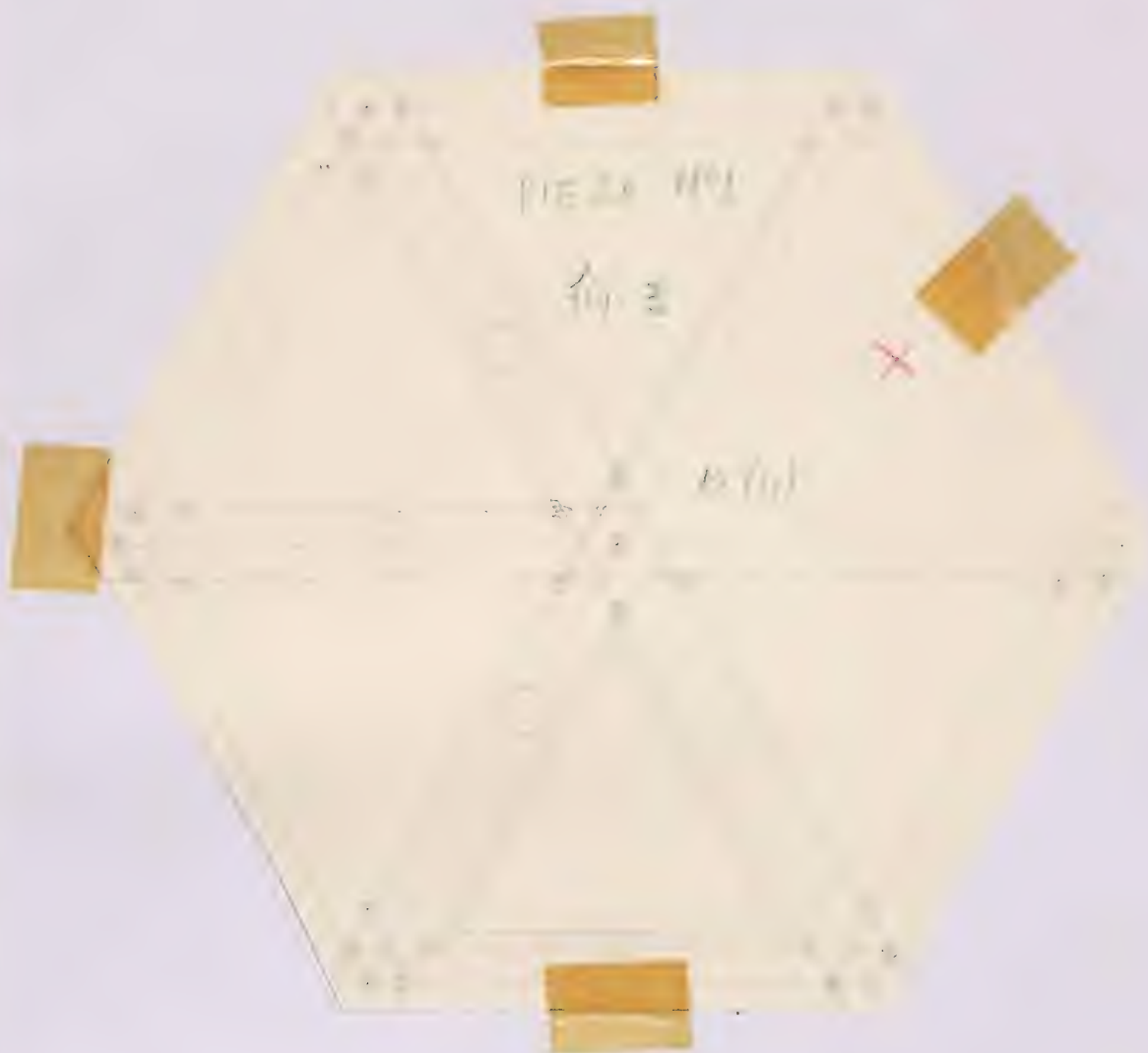
Figura 7

Cellulose

junio 1979



MODELO M-4.12







# DESCRIPCIÓN

MODELO CORPÓREO EN EL QUE SE PONE  
DE MANIFIESTO QUE EL POLIEDRO CÓNCAVO  
DEL MODELO M-4,12 ES INSCRIPTIBLE EN  
EL ICOSAEDRO REGULAR CONVEXO.- ESTE MO-  
DELO SE COMPONE DE LOS SIGUIENTES POLIE-  
DROS: A) ICOSAEDRO REGULAR CONVEXO  
DE CARAS VACIADAS, Y B) POLIEDRO CÓN-  
CAVO DE CARAS MACIZAS, MODELO M-4,12

Radio de la esfera circunscrita al  
icosaedro exterior:

$$r' = 110 \text{ mm}$$



ENUNCIADO: Construir el modelo corpóreo en el que se pone de manifiesto que el poliedro cóncavo estudiado en el modelo M-4.12 es inscriptible en el icosaedro regular convexo que resulta al unir los vértices de las pirámides rectas pentagonales construidas sobre las caras de un dodecaedro regular convexo.

En efecto: Del estudio del modelo M-4.12, se deduce que los vértices de las pirámides rectas pentagonales, construidas sobre las caras de un dodecaedro regular convexo, de caras laterales iguales y de forma de triángulos equiláteros, están equidistantes del centro del dodecaedro, por ser constante la suma  $r_{ec}^{20} = r_{ei}^{12} + h_5$  [ver propiedad P3) y fórmula (1) del ejercicio M-4.12]. Y como al mismo tiempo las proyecciones de los vértices de las pirámides, sobre las caras del dodecaedro generador son coincidentes con los centros de las caras pentagonales, el poliedro resultante al unir dichos vértices será el conjugado del dodecaedro regular convexo, es decir, un icosaedro regular.

Se tiene como dato único para la construcción de este modelo, el radio " $r_{ec}^{20}$ " de la esfera circunscrita al poliedro cóncavo dado estudiado en el modelo M-4.12

$$r_{ec}^{20} = 110 \text{ m m}$$





Así pues, tendremos:

- a) Que el poliedro cóncavo interior será igual al estudiado en el modelo M-4.12
- b) Que el icosaedro regular exterior en el cual está inscrito el anterior poliedro, es igual al estudiado en el modelo M-5.102.

Para la construcción de este modelo se precisan las siguientes piezas:

A) POLIEDRO CÓNCAVO INTERIOR

PIEZA N°1      DESARROLLO LATERAL DE LAS DOCE PIRÁMIDES RECTAS PENTAGONALES      12 unidades

Igual a la pieza n°1 (fig. 3) del modelo M-4.12

PIEZA N°2      UNIONES ARISTAS      90 unidades

Igual a la pieza n°2 (fig. 4) del modelo M-4.12

PIEZA N°3      PORRO MACIZO DE LAS CARAS LATERALES      60 unidades



Igual a la pieza n° 3 (fig. 4) del modelo M-4,12

PIEZA N° 4      REFUERZO CARAS LATERALES      60 unidades

Igual a la pieza n° 4 (fig. 6) del modelo M-4,12

PIEZA N° 5      FORRO COLOREADO EN CARAS LATERALES      60 unidades

Igual a la pieza n° 5 (fig. 7) del modelo M-4,12

B)      ICOSAEDRO REGULAR CONVEXO EXTERIOR

PIEZA N° 6      CARAS SUPERFICIALES      20 unidades

Igual a la pieza n° 1 (fig. 1) del modelo M-5,102

PIEZA N° 7      UNIONES ARISTAS      20 unidades

Igual a la pieza n° 2 (fig. 2) del modelo M-5,102

NOTA.- Para conseguir una correcta construcción de este modelo, aconsejamos construir previamente el poliedro cóncavo interior, de caras macizas, y posteriormente el icosaedro exterior, cuya arista es ligeramente superior a la teórica, por acumulación de los gomo. (longitud teórica de la arista  $a_{20}$  del icosaedro,  $a_{20} = 115,7 \text{ mm}$ )

Calvar

Junio 1979



ros del papel y de los del pegamento. Es conveniente, pues, obtener la longitud de la arista del icosaedro regular, como promedio de varias mediciones directas sobre el mencionado poliedro cóncavo interior, previamente contenido. Naturalmente habrá de incrementarse en igual proporción la longitud de las uniones de las aristas en la pieza n° 7 de este modelo.

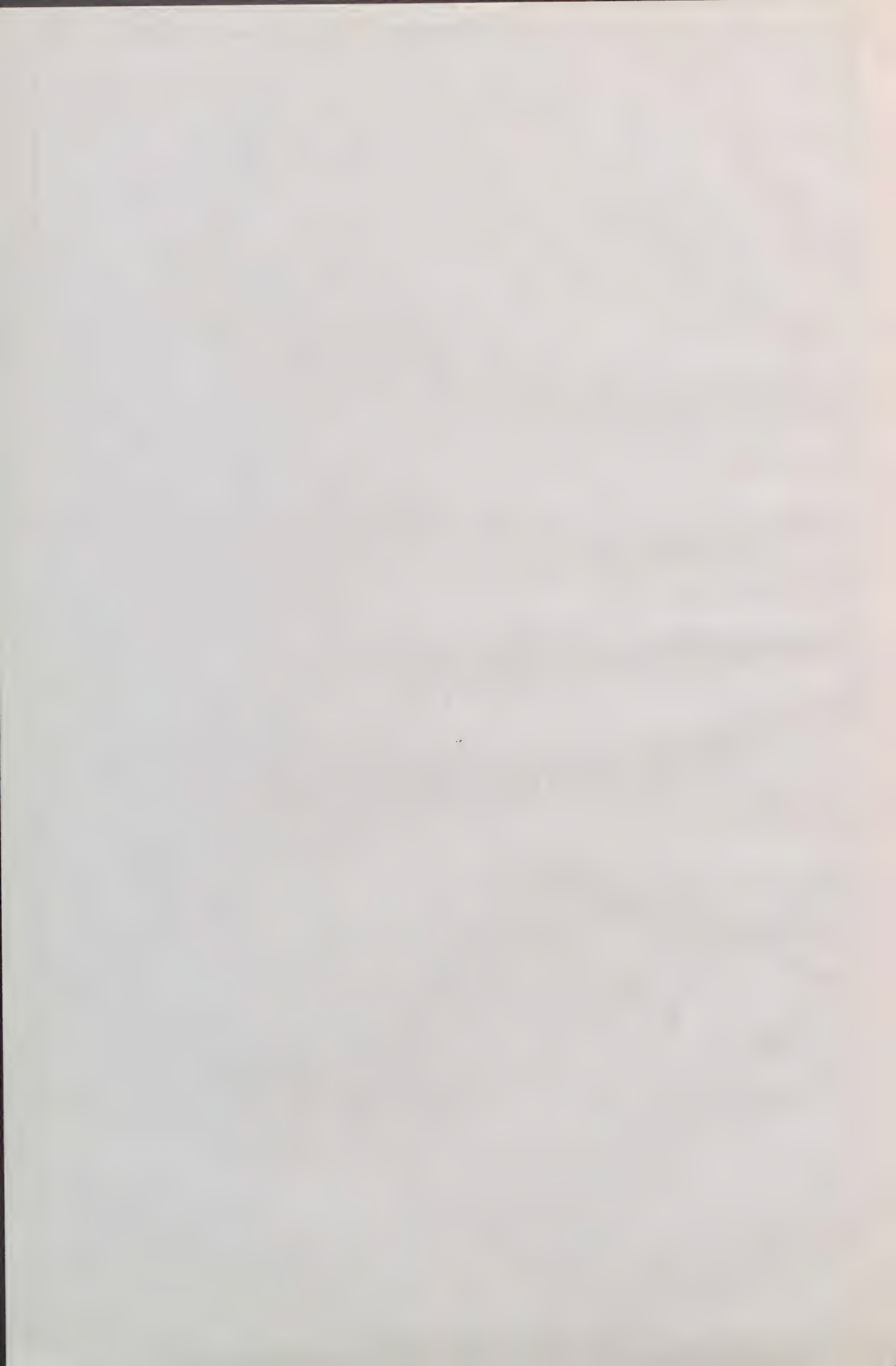




VARIANTE DEL POLIEDRO CÓNCAVO ESTUDIADO EN EL MODELO M-4,12 DE IGUAL FORMA Y DIMENSIONES, Y CONSTITUIDO: A) EL POLIEDRO M-4,12 CON SUS CARAS VACIADAS Y B) EL DODECAEDRO REGULAR CONVEXO GENERADOR, DE CARAS MACIZAS.

Radio de la esfera que pasa por los vértices de las pirámides rectas pentagonales

$$r' = 110 \text{ mm.}$$



ENUNCIADO: Construir el poliedro cóncavo, variante del estudiado en el modelo M-4.12, de igual forma y dimensiones, compuesto de: A) El poliedro M-4.12, con sus caras vaciadas, y B) El dodecaedro regular convexo generador de caras macizas.

DATO: Se tiene como dato inicial para la construcción de este modelo, el radio " $r_{oc}^{20}$ " de la esfera circunscrita al poliedro cóncavo estudiado en el modelo M-4.12

$$r_{oc}^{20} = 110 \text{ mm}$$

En el estudio de dicho modelo, dedujimos la fórmula

$$(1) \quad a_{12} = \frac{\sqrt{130 - 38\sqrt{5}}}{11} r_{oc}^{20}$$

que nos permite calcular la longitud de la arista del poliedro estudiado, que en el caso que nos ocupa es:

$$a_{12} = \frac{\sqrt{130 - 38\sqrt{5}}}{11} r_{oc}^{20} = \frac{\sqrt{130 - 38\sqrt{5}}}{11} \times 110 \approx 0,610036016 \times 110 \approx$$

$$\approx 67,10396178 \approx 67,1 \text{ mm}$$

A) DODECAEDRO REGULAR CONVEXO, GENERADOR DE CARAS MACIZAS.





Para la construcción de este poliedro se precisan las siguientes piezas:

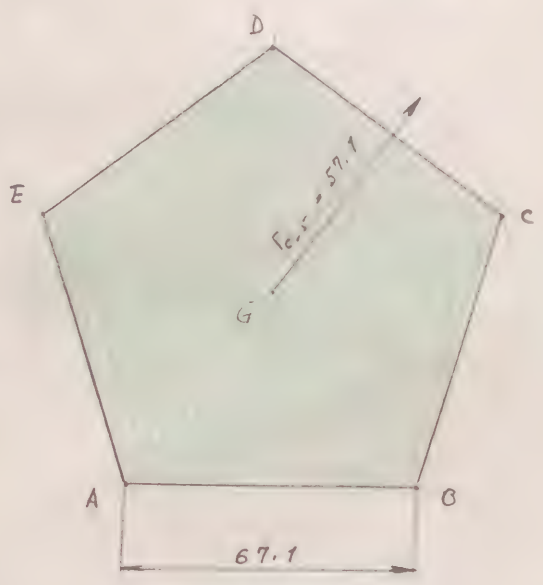
PIEZA N° 1      CARAS SUPERFICIALES      12 unidades

Son pentágonos regulares, cuya forma y dimensiones se detallan en la figura 1.

El radio " $r_{c-5}$ " de la circunferencia circunscrita al pentágono regular de lado  $a_{12}$ , será: (ver ejercicio G.P. 1,400-44)

$$r_{c-5} = \sqrt{\frac{5+\sqrt{5}}{10}} a_{12} = \sqrt{\frac{5+\sqrt{5}}{10}} \times \frac{\sqrt{130-38\sqrt{5}}}{11} \times r_{c-20} \approx 0,85060808 \times$$

$$\times 0,610036016 \times 110 \approx 57,07917267 \approx 57,1 \text{ mm}$$



PIEZA N° 1      12 (u)

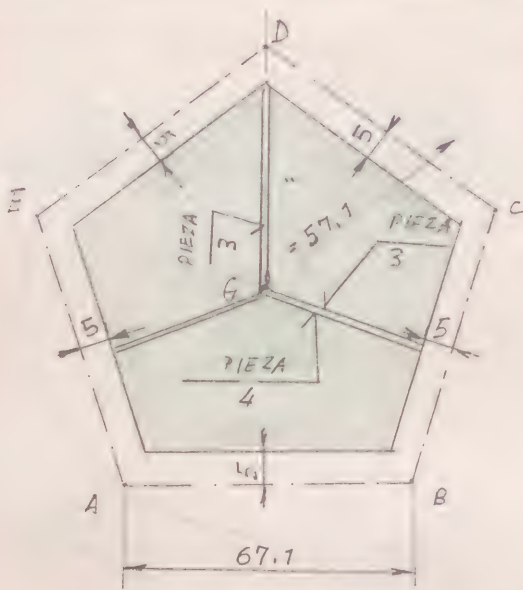
Figura 1

Figura 1

PIEZA N° 2      REFUERZO NORMAL INTERIOR      12 unidades

La forma y dimensiones se deducen de las del pentágono regular ABCDEA de la figura 1, y se detallan en la figura 2





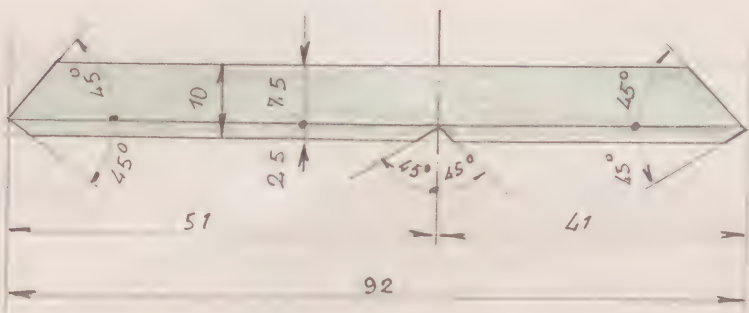
PIEZA N° 2      12 (u)

Figura 2

PIEZA N° 3      REFUERZO TRANSVERSAL INTERIOR

24 unidades      (simétricas dos a dos)

La colocación se detalla en la figura 2 y su forma y dimensiones en la figura 3.



PIEZA N° 3      24 (u)

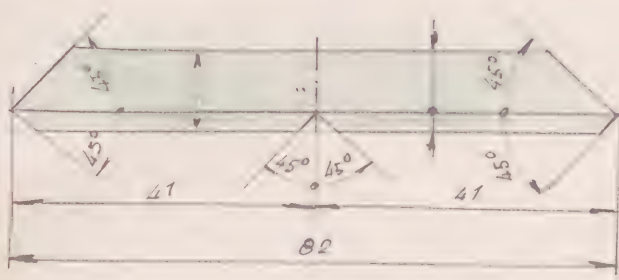
Figura 3

PIEZA N° 4      REFUERZO TRANSVERSAL INTERIOR      12 unidades

La colocación se detalla en la figura 2, y su forma y dimensiones en la figura 4.







PIEZA N° 4 12 (u)

Figura 4

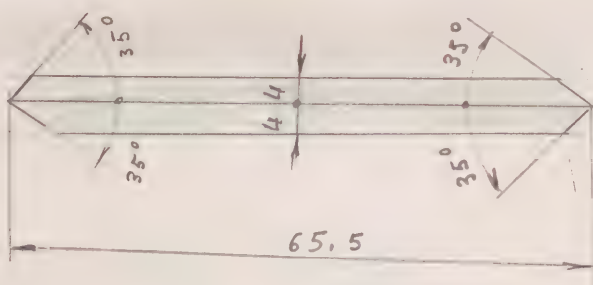
Figura 4

PIEZA N° 5

UNIONES ARISTAS

30 unidades

La forma y dimensiones se detallan en la figura n° 5



PIEZA N° 5 30 (u)

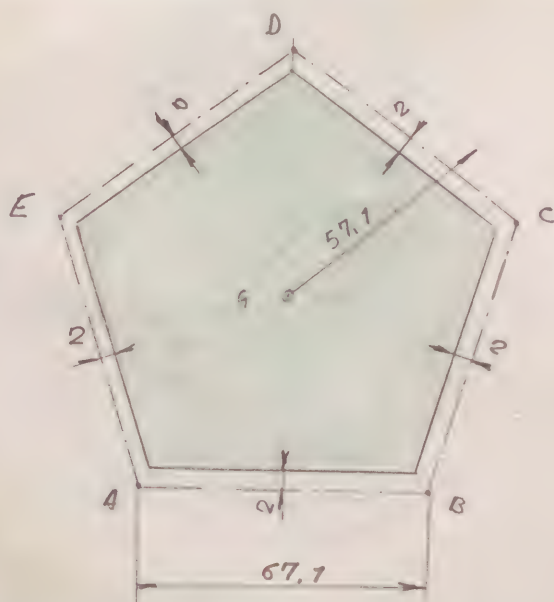
Figura 5

Figura 5

PIEZA N° 6

FORRO COLOREADO

12 unidades



La forma y dimensiones se deducen de las del pentágono regular ABCDEA de la figura 1, y se detallan en la figura 6

PIEZA N° 6 12 (u)

Figura 6

Figura 6



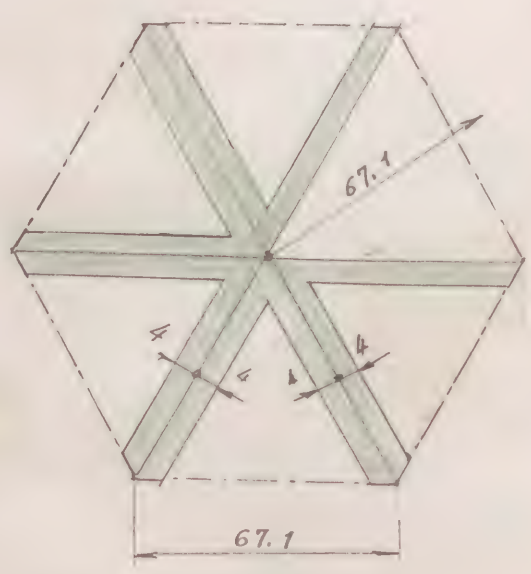


B) POLIEDRO CÓNCAVO DE CARAS VACIADAS, IGUAL AL DEL  
MODELO M-4.12

Para la construcción de este poliedro se precisan las siguientes piezas:

PIEZA N° 7      DESARROLLO LATERAL DE LAS DOCE PIRÁMIDES REC-  
TAS PENTAGONALES      12 unidades

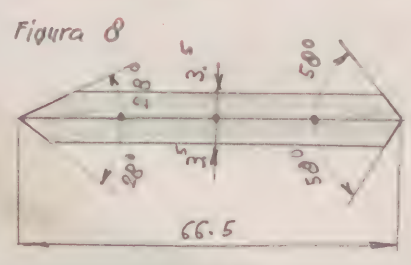
Están compuestas cada una de ellas de cinco triángulos equi-  
láteros iguales. Su forma y dimensiones se detallan en la fi-  
gura 7, en la que se ha suprimido los lados del perímetro de  
su base.



PIEZA N° 7      12 (u)

Figura 7

PIEZA N° 8      UNIONES ARISTAS      60 unidades



La forma y dimensiones en la fig. 8

PIEZA N° 8      60 (u)

Figura 8

No. 100	Date	Page
<p>THE STATE OF NEW YORK</p>		
<p>IN SENATE</p>		
<p>January 1, 1900</p>		
<p>REPORT</p>		
<p>OF THE</p>		
<p>COMMISSIONERS OF THE LAND OFFICE</p>		
<p>FOR THE YEAR 1899</p>		
<p>ALBANY:</p>		
<p>1900</p>		
<p>PRINTED BY THE STATE PRINTING OFFICE</p>		
<p>ALBANY</p>		
<p>1900</p>		
<p>1900</p>		
<p>1900</p>		
<p>1900</p>		
<p>1900</p>		
<p>1900</p>		
<p>1900</p>		
<p>1900</p>		
<p>1900</p>		
<p>1900</p>		



PIEZA N° 7

Fig. 7

12 (u)

Patrones

12 (u)

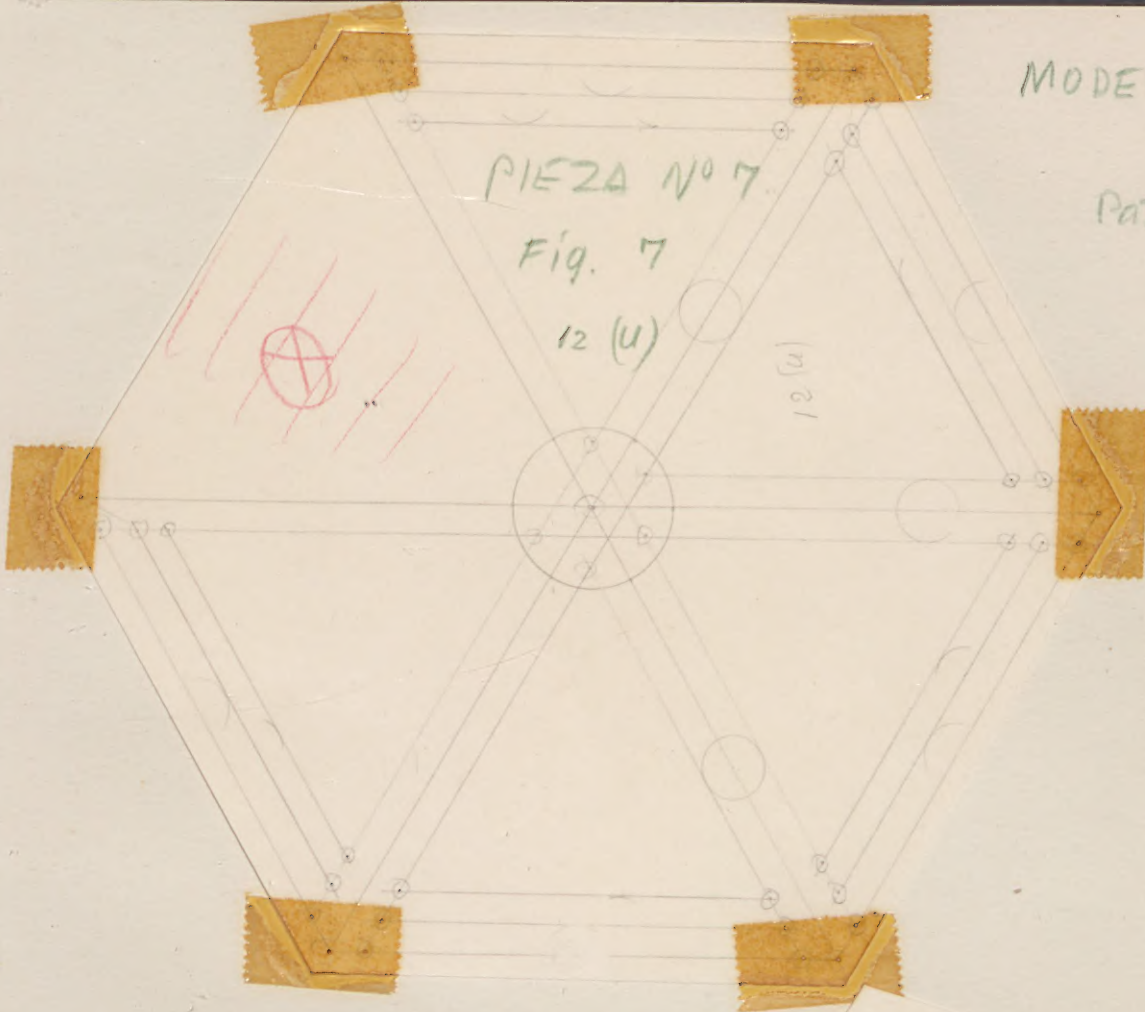


Figura 1

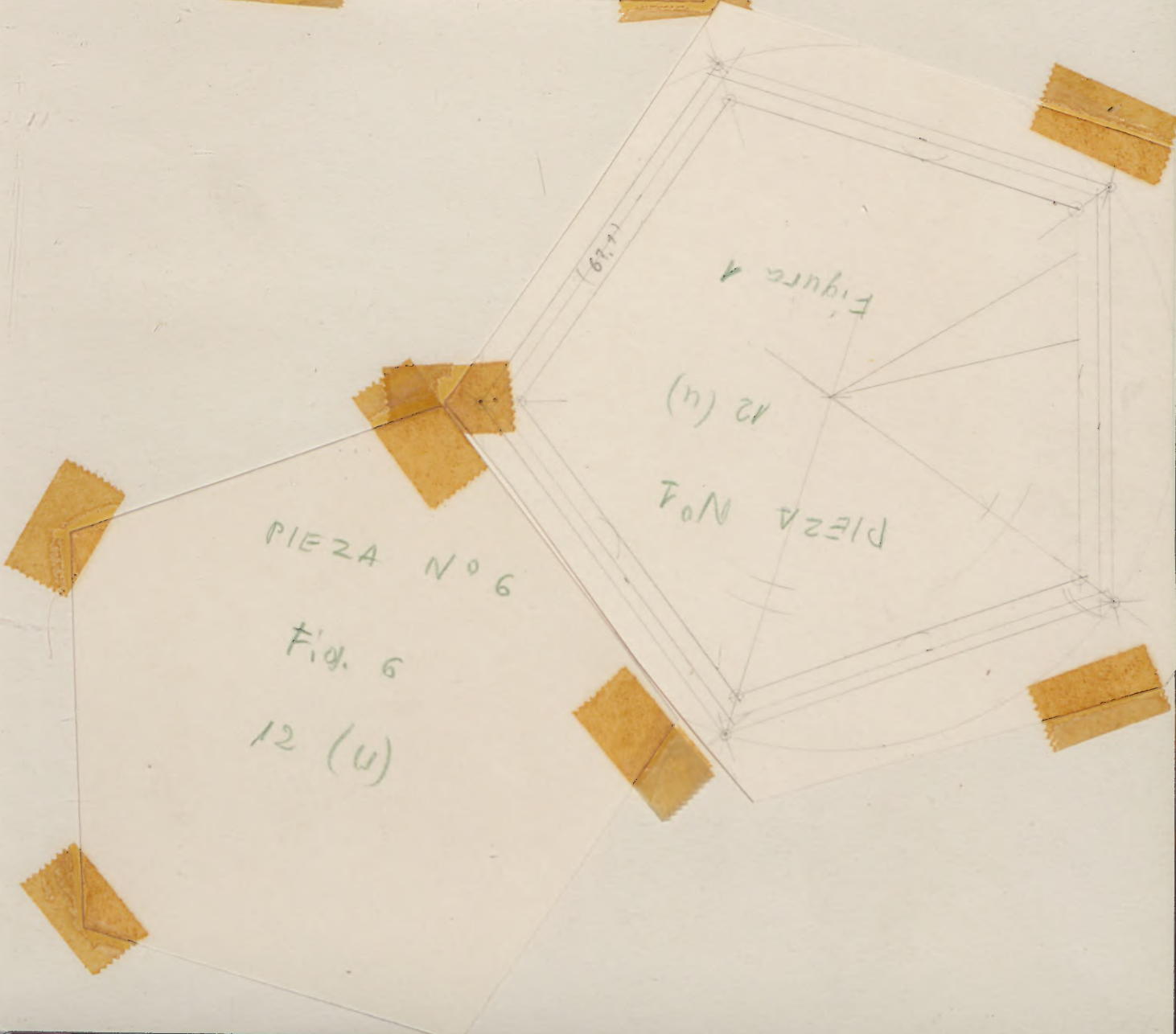
12 (u)

PIEZA N° 1

PIEZA N° 6

Fig. 6

12 (u)







colorchecker classic



calibrite